

การเปลี่ยนแปลงไปยังวิธีคปปเปลอร์โดยใช้ชอกกี้ไดโอด

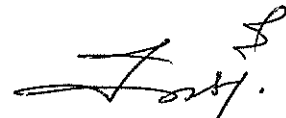
โดย

1. นางสาวจิตติมา ดีสวน รหัสประจำตัว B5115112
2. นางสาวศิริพร จุยหมื่นไวย รหัสประจำตัว B5119691
3. นางสาวกรรณิกา ขามโนนวัด รหัสประจำตัว B5123025

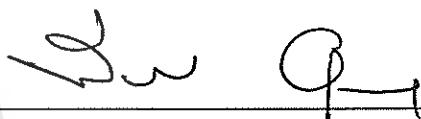
รายงานนี้เป็นส่วนหนึ่งของการศึกษาวิชา 427499 โครงการวิศวกรรมโทรคมนาคม
หลักสูตรวิศวกรรมศาสตรบัณฑิต สาขาวิศวกรรมโทรคมนาคม หลักสูตรปรับปรุง พ.ศ.2546
สำนักวิชาชีวิศวกรรมศาสตร์ มหาวิทยาลัยเทคโนโลยีสุรนารี
ประจำภาคการศึกษาที่ 3 ปีการศึกษา 2554

การเปลี่ยนแปลงคัปเปเลอร์ไอบริดจ์โดยใช้ชอกก์ไดโอด

คณะกรรมการสอบโครงการ



(ผู้ช่วยศาสตราจารย์ ดร.มนต์พิพัฒ์ อุทารสกุล)
กรรมการ/อาจารย์ที่ปรึกษาโครงการ



(ผู้ช่วยศาสตราจารย์ ดร.พีระพงษ์ อุทารสกุล)
กรรมการ



(อาจารย์ ดร. สมศักดิ์ วนิชอนันต์ชัย)
กรรมการ

มหาวิทยาลัยเทคโนโลยีสุรนารี อนุมัติให้นับรายงานโครงการฉบับนี้ เป็นส่วนหนึ่งของ
การศึกษาระดับปริญญาตรี สาขาวิชาวิศวกรรมโทรคมนาคม รายวิชา 427499 โครงการวิศวกรรม
โทรคมนาคม ประจำปีการศึกษา 2554

โครงการ

การเปลี่ยนเฟสของไอบริดจ์คัปเปลอร์โดยใช้ตัวอกกี้ไดโอด

โดย

1. นางสาวจิตติมา ดีสวน รหัส B5115112
2. นางสาวศิริพร จุยหมื่นไวย รหัส B5119691
3. นางสาวกรรณิกา ขามโนนวัด รหัส B5123025

อาจารย์ที่ปรึกษา

ผู้ช่วยศาสตราจารย์ ดร.มนต์พิพิญกา อุทารสกุล

สาขาวิชา

วิศวกรรมโทรคมนาคม

ภาคการศึกษาที่

3/2554

บทคัดย่อ

ปัจจุบันเทคโนโลยีการสื่อสารแบบไร้สายได้รับความนิยมเป็นอย่างมากและมีการพัฒนาไปอย่างรวดเร็ว อย่างเช่นสายอากาศเก่งที่จะประกอบด้วยโครงข่ายก่อรูปสามเหลี่ยม (Butler matrix) ซึ่งมีตัวไอบริดจ์คัปเปลอร์เป็นองค์ประกอบหลัก แต่เนื่องจากตัวไอบริดจ์คัปเปลอร์ส่วนใหญ่นั้นมีความต่างเฟสที่ 90 องศา หากต้องการตัวไอบริดจ์ตัวคัปเปลอร์ที่มีความต่างเฟสค่าอื่นๆ ต้องทำการออกแบบตัวไอบริดจ์คัปเปลอร์ใหม่ซึ่งการออกแบบนั้นทำได้ยากและใช้เวลานาน โครงการเรื่องนี้ จึงต้องการจะนำเสนอการออกแบบและสร้างตัวไอบริดจ์คัปเปลอร์ที่สามารถเปลี่ยนเฟสได้โดยจะออกแบบวงจรสลับสาย (switch line) ต่อเข้ากับวงจรไอบริดจ์คัปเปลอร์ 90 องศา ซึ่งจะใช้ตัวอกกี้ไดโอดเป็นตัวสลับสายเพื่อให้ได้ความต่างเฟสตามที่ต้องการ โดยจะออกแบบที่ย่านความถี่ 2.4 GHz

กิตติกรรมประกาศ

โครงการฉบับนี้สำเร็จอุ่ล่วงไปได้ด้วยดี เนื่องจากได้รับความกรุณาจากท่านอาจารย์ที่ปรึกษาโครงการ ผู้ช่วยศาสตราจารย์ ดร.มนต์พิพัฒา อุทารสกุล ผู้ที่เป็นเจ้าของความคิดริเริ่มการออกแบบและสร้างวงจรสลับสาย ที่ต่อเข้ากับวงจรไฮบริดจ์คัปเพลอร์แบบ 90 องศา เพื่อให้ได้เฟสตามที่เราต้องการ โดยใช้ไดโอดเป็นตัวสลับสาย ท่านได้ให้ความช่วยเหลือเกี่ยวกับแนวคิดการออกแบบผลงาน และดูแลเอาใจใส่ติดตามผลงานอย่างใกล้ชิด ซึ่งแนะนำกันพร่อง ตลอดจนช่วยฝึกฝนและการสนับสนุนคณะผู้จัดทำโครงการ ให้มีความสามารถในการทำโครงการจนสำเร็จ

ขอขอบพระคุณอาจารย์และบุคลากรสาขาวิศวกรรมโทรคมนาคมทุกท่าน ที่ให้ความช่วยเหลือแก่คณะผู้จัดทำโครงการมาโดยตลอด พี่นักศึกษาปริญญาโทและเอกวิศวกรรม โทรคมนาคมทุกท่านที่เคยแนะนำและให้ความรู้ที่เป็นประโยชน์ รวมถึงการสอนใช้โปรแกรม CST MICROWAVE STUDIO โดยเฉพาะนางสาวปาลีรัตน์ วงศ์จำปา และนางสาวอรัญญา แก้วกัรด นักศึกษาปริญญาโทวิศวกรรมโทรคมนาคมทุกคนที่เคยเป็นกำลังใจมาให้โดยตลอด

คณะผู้จัดทำโครงการได้ขอขอบพระคุณทุกๆ ท่านที่ได้กล่าวไว้ ณ ที่นี่ สำหรับส่วนคือของโครงการนี้นี้ ขออุทิศให้แด่อาจารย์ทุกท่านที่ได้ประสิทธิ์ประสาทวิชาความรู้มาให้แก่คณะผู้จัดทำโครงการทำให้การทำโครงการนี้นี้ผ่านไปได้ด้วยดี

ผู้จัดทำ

นางสาวจิตติมา ดีสวน

นางสาวศริพร จุยหมื่นໄวย

นางสาวกรรณิกา ขาม โนนวัด

สารบัญ

| เรื่อง | หน้า |
|--|------|
| บทคัดย่อ | ก |
| กิตติกรรมประกาศ | ข |
| สารบัญ | ค |
| บทที่ 1 บทนำ | |
| 1.1 ความเป็นมา | 1 |
| 1.2 วัตถุประสงค์ | 2 |
| 1.3 ขอบการดำเนินงานทดลอง | 2 |
| 1.4 ขั้นตอนการดำเนินงาน | 2 |
| บทที่ 2 ทฤษฎีพื้นฐานที่เกี่ยวข้อง | |
| 2.1 โครงสร้างของสายอากาศไมโครสตริป | 3 |
| 2.1.1 แผ่นตัวนำสายอากาศ | 4 |
| 2.1.2 ชั้นวัสดุฐานรอง | 4 |
| 2.1.3 ระนาบกราวด์ (ground plane) | 5 |
| 2.1.4 สายนำสัญญาณ (transmission line) | 5 |
| 2.1.5 ค่าอิมพีเดนซ์คุณลักษณะและ ไคลิเล็กตริกสัมพัทธ์ ของสายนำสัญญาณแบบ ไมโครสตริป | 5 |
| 2.1.6 ค่าความยาวคลื่นบนสตริป ค่าคงที่การแพร์กระจาย และความเร็วไฟส์ | 7 |
| 2.1.7 การสังเคราะห์หาความกว้างต่อความหนา W/h | 8 |
| 2.1.8 พลกระทบจากความหนาของสตริป | 9 |
| 2.1.9 การสูญเสียเนื่องจากการแพร์กระจายออกของคลื่น | 10 |
| 2.2 โครงสร้างพื้นฐานของสายนำสัญญาณแบบ ไมโครสตริป | 11 |
| 2.3 การออกแบบ ไมโครสตริปไลน์ | 12 |
| 2.4 วงจรบรรจุชิปไลน์ ไฮบริดิกคัปเพลอร์ | 13 |
| 2.5 พารามิเตอร์การส่งผ่าน | 17 |

สารบัญ (ต่อ)

| เรื่อง | หน้า |
|---|------|
| 2.6 ไอดิโอด | 20 |
| 2.6.1 ไอดิโอดในทางอุคณฑ์ (ideal diode) | 20 |
| 2.6.2 คุณลักษณะของไอดิโอด | 21 |
| บทที่ 3 การจำลองแบบนコンพิวเตอร์โปรแกรม CST MICROWAVE STUDIO | |
| 3.1 บทนำ | 22 |
| 3.2 CST MICROWAVE STUDIO | 22 |
| 3.2.1 การเริ่มสร้างแบบจำลอง | 22 |
| 3.2.2 การสร้างวัสดุ Material | 23 |
| 3.2.3 Load from Material Library | 23 |
| 3.2.4 การสร้างองค์ประกอบ Components | 24 |
| 3.2.5 การกำหนดหน่วย Units | 25 |
| 3.2.6 การกำหนดความถี่ Frequency | 25 |
| 3.2.7 การกำหนดขอบเขต Boundary Conditions | 26 |
| 3.2.8 การป้อนพลังงาน โดยการกำหนดพอร์ต | 28 |
| 3.2.9 การกำหนด Field Monitors | 30 |
| 3.2.10 การประมวลผล | 30 |
| 3.2.11 การสร้างรูปทรงพื้นฐาน (Basic Shape Creation) | 31 |
| 3.2.12 เครื่องมือที่ใช้ในการเลือกขอบหรือผิววัสดุ | 43 |
| 3.2.13 การลบคำและการเชื่อมขอบ | 43 |
| 3.2.14 วิธีการทำงานของบูลีน (Boolean Operations) | 45 |
| 3.3 หลักการออกแบบ | 47 |
| 3.3.1 ไขบริจั้กปเปลอร์ 90 องศาด้านแบบ | 48 |
| 3.3.2 ไขบริจั้กปเปลอร์ 90 องศาที่ต้องเข้ากับวงจรสลับสาย | 55 |
| 3.4 ข้อสรุปท้ายบท | 60 |

สารบัญ (ต่อ)

| เรื่อง | หน้า |
|--|------|
| บทที่ 4 ผลการทดสอบอุปกรณ์ต้นแบบ | |
| 4.1 บทนำ | 61 |
| 4.2 การสร้างตัวไชบริดจ์คัปเปลอร์แบบ 90 องศาที่สามารถเลือกมุมไฟส่องอาทิตย์ | 61 |
| ได้หลายมุมโดยใช้ไดโอดเป็นตัวสวิทช์เลือกความยาวของเส้นไม้โครงติดปะ | |
| 4.3 ผลการทดสอบอุปกรณ์ต้นแบบด้วยเครื่องวิเคราะห์โครงข่าย | 63 |
| 4.3.1 เมื่อจ่ายไฟให้ไดโอดตัวที่ 1 และ 3 ทำงาน | 63 |
| 4.3.2 เมื่อจ่ายไฟให้ไดโอดตัวที่ 1 และ 4 ทำงาน | 69 |
| 4.3.3 เมื่อจ่ายไฟให้ไดโอดตัวที่ 2 และ 3 ทำงาน | 76 |
| 4.3.4 เมื่อจ่ายไฟให้ไดโอดตัวที่ 2 และ 4 ทำงาน | 83 |
| 4.4 ข้อสรุปท้ายบท | 90 |
| บทที่ 5 ข้อสรุปของโครงงาน | |
| 5.1 บทนำ | 91 |
| 5.2 ปัญหาที่พบและแนวทางในการแก้ไขปัญหา | 91 |
| 5.3 ข้อเสนอแนะ | 92 |
| 5.4 แนวทางในการพัฒนาต่อไป | 92 |
| 5.5 บทสรุปของโครงงาน | 92 |

สารบัญรูป

| เรื่อง | หน้า |
|---|------|
| รูปที่ 1.1 ตัวไฮบริดจ์คัปเปลลอร์แบบ 90 องศา (hybrid coupler 90°) | 1 |
| รูปที่ 2.1 โครงสร้างพื้นฐานของสายอากาศไม่ไฮบริด | 3 |
| รูปที่ 2.2 โครงสร้างทางกายภาพของสายนำสัญญาณแบบไม่ไฮบริด | 11 |
| รูปที่ 2.3 โครงสร้างของบранช์ไลน์ไฮบริดจ์คัปเปลลอร์ | 13 |
| รูปที่ 2.4 ทิศทางการไหลของสัญญาณในบранช์ไลน์ไฮบริดจ์คัปเปลลอร์ | 13 |
| รูปที่ 2.5 ลักษณะการวิเคราะห์บранช์ไฮบริดจ์คัปเปลลอร์ในโหมดคู่และโหมดคี่ | 14 |
| รูปที่ 2.6 การวิเคราะห์การแบ่งกำลังงานของบранช์ไฮบริดจ์คัปเปลลอร์ | 16 |
| รูปที่ 2.7 โครงข่ายแบบสองพอร์ตและค่าสัมประสิทธิ์การส่งผ่าน กับค่าสัมประสิทธิ์การสะท้อนกลับ | 17 |
| รูปที่ 2.8 แสดงข้อของไดโอด 2 ข้อ ซึ่งต่ออยู่กับการกึงตัวนำ | 20 |
| รูปที่ 2.9 การทำงานของไดโอดเมื่อต่อขัวแบบเตอร์ | 21 |
| รูปที่ 2.10 โครงสร้างของซอฟต์แวร์ไดโอด | 21 |
| รูปที่ 3.1 หน้าต่างของ Create a New Project | 22 |
| รูปที่ 3.2 หน้าต่างของ New Material Parameters | 23 |
| รูปที่ 3.3 หน้าต่างของ Load from Material Library | 24 |
| รูปที่ 3.4 การสร้าง Components | 24 |
| รูปที่ 3.5 หน้าต่างของ Specify Units | 25 |
| รูปที่ 3.6 หน้าต่างของ Frequency Range Settings | 25 |
| รูปที่ 3.7 หน้าต่างของ Boundary Conditions | 26 |
| รูปที่ 3.7 ๑ Electric | 26 |
| รูปที่ 3.7 ๒ Magnetic | 26 |
| รูปที่ 3.7 ๓ Open (PML) | 27 |
| รูปที่ 3.7 ๔ Open (add space) | 27 |
| รูปที่ 3.7 ๕ Periodic | 27 |

สารบัญรูป (ต่อ)

| เรื่อง | หน้า |
|--|------|
| รูปที่ 3.7 ชนิด Conducting Wall | 27 |
| รูปที่ 3.8 หน้าต่างของ Waveguide Port | 28 |
| รูปที่ 3.9 หน้าต่างของ Discrete Port | 29 |
| รูปที่ 3.10 รูปแบบของ Discrete Port | 30 |
| รูปที่ 3.10 รูปของหน้าต่าง Monitor | 30 |
| รูปที่ 3.11 หน้าต่างของ Solver Parameters | 31 |
| รูปที่ 3.12 การใช้คำสั่งในการสร้างรูปทรงสี่เหลี่ยม | 32 |
| รูปที่ 3.13 การใช้คำสั่งในการสร้างรูปทรงสี่เหลี่ยมโดยทางลัด | 32 |
| รูปที่ 3.14 หน้าต่างของการสร้างรูปทรงสี่เหลี่ยม | 33 |
| รูปที่ 3.15 รูปสี่เหลี่ยมที่ได้จากการสร้างในขั้นตอนที่ 1 | 33 |
| รูปที่ 3.16 รูปทรงของกล่องสี่เหลี่ยมที่ได้จากการสร้างในขั้นตอนที่ 2 | 34 |
| รูปที่ 3.17 แสดงรูปกล่องสี่เหลี่ยมและหน้าต่างที่ชื่อ Brick ซึ่งได้จากการสร้างในขั้นตอนที่ 3 | 34 |
| รูปที่ 3.18 กล่องสี่เหลี่ยมที่มีขนาดตามที่ได้กำหนด | 35 |
| รูปที่ 3.19 รูปร่างของทรงกลมและหน้าต่างในการกำหนดค่าพารามิเตอร์ของทรงกลม | 35 |
| รูปที่ 3.20 รูปทรงกลมที่ได้หลังจากการกำหนดค่าพารามิเตอร์เสร็จแล้ว | 36 |
| รูปที่ 3.21 หน้าต่างของการสร้างรูปทรงกระบอก | 36 |
| รูปที่ 3.22 รูปวงกลมที่ได้จากการสร้างรูปทรงกระบอกในขั้นตอนที่ 1 | 37 |
| รูปที่ 3.23 รูปร่างทรงกระบอกที่ได้จากการสร้างในขั้นตอนที่ 2 | 37 |
| รูปที่ 3.24 รูปร่างของทรงกระบอกที่มีวงกลมรัศมีต่างกัน 2 วง | 38 |
| รูปที่ 3.25 รูปร่างของทรงกระบอกที่มีวงกลมรัศมีต่างกัน 2 วง และหน้าต่างของการกำหนดค่าพารามิเตอร์ | 38 |
| รูปที่ 3.26 รูปทรงกระบอกที่มีวงกลมรัศมีต่างกัน 2 วง มีขนาดตามที่ได้กำหนด | 39 |

สารบัญรูป (ต่อ)

| เรื่อง | หน้า |
|---|------|
| รูปที่ 3.27 วงรีที่ได้จากขั้นตอนที่ 1 ของการสร้างรูปทรงกระบวนการที่มีลักษณะเป็นวงรี | 40 |
| รูปที่ 3.28 รูปร่างของทรงกระบวนการที่มีหน้าตัดเป็นวงรีที่ได้จากขั้นตอนที่ 2 นี้ | 40 |
| รูปที่ 3.29 รูปร่างของทรงกระบวนการที่มีหน้าตัดเป็นวงรีและหน้าต่าง | 41 |
| ในการกำหนดค่าพารามิเตอร์ | |
| รูปที่ 3.30 รูปทรงกระบวนการที่มีลักษณะเป็นวงรี | 41 |
| รูปที่ 3.31 รูปทรงกรวยที่มีขนาดตามที่ได้กำหนด | 42 |
| รูปที่ 3.32 รูปทรงบนโคน้ำที่มีขนาดตามที่ได้กำหนด | 43 |
| รูปที่ 3.33 แบบเครื่องมือที่ใช้ในการเลือกขอบหรือผิววัสดุ | 43 |
| รูปที่ 3.34 หน้าต่างในการกำหนดค่ารัศมีของการลับคม | 44 |
| รูปที่ 3.35 ขั้นตอนการลับคม | 44 |
| รูปที่ 3.36 หน้าต่างการกำหนดค่าของการเนื้อนคม | 45 |
| รูปที่ 3.37 ขั้นตอนการเหลือนคม | 45 |
| รูปที่ 3.38 วิธีการรวมวัสดุ | 46 |
| รูปที่ 3.39 วิธีการลบวัสดุออก | 46 |
| รูปที่ 3.40 วิธีการตัดเอาส่วนที่อยู่ร่วมกันของวัสดุ | 47 |
| รูปที่ 3.41 วิธีการแทรกวัสดุ | 47 |
| รูปที่ 3.42 ไอนริดจ์คัปเบลลอร์ 90 องศา | 48 |
| รูปที่ 3.43 ไอนริดจ์คัปเบลลอร์ 90 องศาด้านแบบที่ออกแบบเสร็จแล้ว | 52 |
| รูปที่ 3.44 กราฟแสดงค่าการสูญเสียที่เกิดจากการสะท้อนกลับของพารามิเตอร์ $S_{11}, S_{22}, S_{33}, S_{44}$ | 52 |
| รูปที่ 3.45 กราฟแสดงค่าการสั่งผ่านพลังงานของพารามิเตอร์ $S_{21}, S_{31}, S_{24}, S_{34}$ | 53 |
| รูปที่ 3.46 กราฟแสดงเพลสของพารามิเตอร์ | 54 |

สารบัญรูป(ต่อ)

| เรื่อง | หน้า |
|---|------|
| รูปที่ 3.47 ไอบริджคัปเบลอร์ 90 องศาที่ต่อเข้ากับวงรสลับสาย | 55 |
| รูปที่ 3.48 ไอบริджคัปเบลอร์ที่เลือกปรีบมเทียนเส้นที่ 1 และเส้นที่ 3 | 56 |
| รูปที่ 3.49 กราฟแสดงค่าพารามิเตอร์ของไอบริджคัปเบลอร์ ที่เลือกปรีบมเทียนเส้นที่ 1 และเส้นที่ 3 | 56 |
| รูปที่ 3.50 ไอบริджคัปเบลอร์ที่ที่เลือกปรีบมเทียนเส้นที่ 1 และเส้นที่ 4 | 57 |
| รูปที่ 3.51 กราฟแสดงค่าพารามิเตอร์ของไอบริджคัปเบลอร์ ที่เลือกปรีบมเทียนเส้นที่ 1 และเส้นที่ 4 | 57 |
| รูปที่ 3.52 ไอบริджคัปเบลอร์ที่เลือกปรีบมเทียนเส้นที่ 2 และเส้นที่ 3 | 58 |
| รูปที่ 3.53 กราฟแสดงค่าพารามิเตอร์ของไอบริджคัปเบลอร์ ที่เลือกปรีบมเทียนเส้นที่ 2 และเส้นที่ 3 | 58 |
| รูปที่ 3.54 ไอบริджคัปเบลอร์ที่เลือกปรีบมเทียนเส้นที่ 2 และเส้นที่ 4 | 59 |
| รูปที่ 3.55 กราฟแสดงค่าพารามิเตอร์ของไอบริджคัปเบลอร์ ที่เลือกปรีบมเทียนเส้นที่ 2 และเส้นที่ 4 | 59 |
| รูปที่ 4.1 ภาพตัวคัปเบลอร์แบบไอบริджที่ใช้ໄโคໂอดเป็นตัวสวิตซ์ เลือกความยาวของเส้นไม้โกรสดิป | 62 |
| รูปที่ 4.2 ภาพตัวคัปเบลอร์แบบไอบริджที่บัดกรีตัวໄโคໂอดและสายไฟลงในวงจรเสี้ยว | 62 |
| รูปที่ 4.3 ภาพตัวคัปเบลอร์แบบไอบริджเมื่อจ่ายไฟให้ໄโคໂอดตัวที่ 1 และ 3 ทำงาน | 63 |
| รูปที่ 4.4 กราฟแสดงค่าการส่งผ่านของพลังงานของพารามิเตอร์ S21 | 63 |
| รูปที่ 4.5 กราฟแสดงค่าการส่งผ่านของพลังงานของพารามิเตอร์ S41 | 64 |
| รูปที่ 4.6 กราฟแสดงค่าการส่งผ่านของพลังงานของพารามิเตอร์ S26 | 65 |
| รูปที่ 4.7 กราฟแสดงค่าการส่งผ่านของพลังงานของพารามิเตอร์ S46 | 66 |
| รูปที่ 4.8 กราฟแสดงค่ามุมเพลสของพารามิเตอร์ S21 | 67 |

สารบัญรูป(ต่อ)

| เรื่อง | หน้า |
|--|------|
| รูปที่ 4.9 กราฟแสดงค่ามุมเฟสของพารามิเตอร์ S41 | 67 |
| รูปที่ 4.10 กราฟแสดงค่ามุมเฟสของพารามิเตอร์ S26 | 68 |
| รูปที่ 4.11 กราฟแสดงค่ามุมเฟสของพารามิเตอร์ S46 | 68 |
| รูปที่ 4.12 ภาคตัวคัปเปลอร์แบบไชบริดจ์เมื่อจ่ายไฟให้ได้โอดตัวที่ 1 และ 4 ทำงาน | 69 |
| รูปที่ 4.13 กราฟแสดงค่าการส่งผ่านของพลังงานของพารามิเตอร์ S21 | 70 |
| รูปที่ 4.14 กราฟแสดงค่าการส่งผ่านของพลังงานของพารามิเตอร์ S51 | 71 |
| รูปที่ 4.15 กราฟแสดงค่าการส่งผ่านของพลังงานของพารามิเตอร์ S26 | 72 |
| รูปที่ 4.16 กราฟแสดงค่าการส่งผ่านของพลังงานของพารามิเตอร์ S56 | 73 |
| รูปที่ 4.17 กราฟแสดงค่ามุมเฟสของพารามิเตอร์ S21 | 74 |
| รูปที่ 4.18 กราฟแสดงค่ามุมเฟสของพารามิเตอร์ S51 | 74 |
| รูปที่ 4.19 กราฟแสดงค่ามุมเฟสของพารามิเตอร์ S26 | 75 |
| รูปที่ 4.20 กราฟแสดงค่ามุมเฟสของพารามิเตอร์ S56 | 75 |
| รูปที่ 4.21 ภาคตัวคัปเปลอร์แบบไชบริดจ์เมื่อจ่ายไฟให้ได้โอดตัวที่ 2 และ 3 ทำงาน | 76 |
| รูปที่ 4.22 กราฟแสดงค่าการส่งผ่านของพลังงานของพารามิเตอร์ S31 | 77 |
| รูปที่ 4.23 กราฟแสดงค่าการส่งผ่านของพลังงานของพารามิเตอร์ S41 | 78 |
| รูปที่ 4.24 กราฟแสดงค่าการส่งผ่านของพลังงานของพารามิเตอร์ S36 | 79 |
| รูปที่ 4.25 กราฟแสดงค่าการส่งผ่านของพลังงานของพารามิเตอร์ S46 | 80 |
| รูปที่ 4.26 กราฟแสดงค่ามุมเฟสของพารามิเตอร์ S31 | 81 |
| รูปที่ 4.27 กราฟแสดงค่ามุมเฟสของพารามิเตอร์ S41 | 81 |
| รูปที่ 4.28 กราฟแสดงค่ามุมเฟสของพารามิเตอร์ S36 | 82 |
| รูปที่ 4.29 กราฟแสดงค่ามุมเฟสของพารามิเตอร์ S46 | 82 |
| รูปที่ 4.30 ภาคตัวคัปเปลอร์แบบไชบริดจ์เมื่อจ่ายไฟให้ได้โอดตัวที่ 2 และ 4 ทำงาน | 83 |

สารบัญรูป(ต่อ)

| เรื่อง | หน้า |
|--|------|
| รูปที่ 4.31 กราฟแสดงค่าการส่งผ่านของพัลส์งานของพารามิเตอร์ S31 | 84 |
| รูปที่ 4.32 กราฟแสดงค่าการส่งผ่านของพัลส์งานของพารามิเตอร์ S51 | 85 |
| รูปที่ 4.33 กราฟแสดงค่าการส่งผ่านของพัลส์งานของพารามิเตอร์ S36 | 86 |
| รูปที่ 4.34 กราฟแสดงค่าการส่งผ่านของพัลส์งานของพารามิเตอร์ S56 | 87 |
| รูปที่ 4.35 กราฟแสดงค่ามุ่งเพลสของพารามิเตอร์ S31 | 88 |
| รูปที่ 4.36 กราฟแสดงค่ามุ่งเพลสของพารามิเตอร์ S51 | 88 |
| รูปที่ 4.37 กราฟแสดงค่ามุ่งเพลสของพารามิเตอร์ S36 | 89 |
| รูปที่ 4.38 กราฟแสดงค่ามุ่งเพลสของพารามิเตอร์ S56 | 89 |

สารบัญตาราง

| เรื่อง | หน้า |
|---|------|
| ตารางที่ 3.1 แสดงพารามิเตอร์ต่างๆของคัปเปลอร์ไอบริกซ์ 90 องศาด้วยโปรแกรม CST Microwave Studio | 54 |
| ตารางที่ 3.2 แสดงค่าพารามิเตอร์ต่างๆของไอบริกซ์คัปเปลอร์เมื่อจ่ายไฟให้ไดโอดตัวที่ 1 และ 3 ทำงาน | 57 |
| ตารางที่ 3.3 แสดงพารามิเตอร์ต่างๆของไอบริกซ์คัปเปลอร์เมื่อจ่ายไฟให้ไดโอดตัวที่ 1 และ 4 ทำงาน | 58 |
| ตารางที่ 3.4 แสดงพารามิเตอร์ต่างๆของไอบริกซ์คัปเปลอร์เมื่อจ่ายไฟให้ไดโอดตัวที่ 2 และ 3 ทำงาน | 59 |
| ตารางที่ 3.5 แสดงพารามิเตอร์ต่างๆของไอบริกซ์คัปเปลอร์เมื่อจ่ายไฟให้ไดโอดตัวที่ 2 และ 4 ทำงาน | 60 |
| ตารางที่ 4.1 แสดงพารามิเตอร์ต่างๆของไอบริกซ์คัปเปลอร์แบบ 90 องศาเมื่อจ่ายไฟให้ไดโอดตัวที่ 1 และ 3 ทำงาน | 69 |
| ตารางที่ 4.2 แสดงพารามิเตอร์ต่างๆของไอบริกซ์คัปเปลอร์แบบ 90 องศาเมื่อจ่ายไฟให้ไดโอดตัวที่ 1 และ 4 ทำงาน | 76 |
| ตารางที่ 4.3 แสดงพารามิเตอร์ต่างๆของไอบริกซ์คัปเปลอร์แบบ 90 องศาเมื่อจ่ายไฟให้ไดโอดตัวที่ 2 และ 3 ทำงาน | 83 |
| ตารางที่ 4.4 แสดงพารามิเตอร์ต่างๆของไอบริกซ์คัปเปลอร์แบบ 90 องศาเมื่อจ่ายไฟให้ไดโอดตัวที่ 2 และ 4 ทำงาน | 90 |
| ตารางที่ 5.1 ปัญหาและสาเหตุที่พบในขณะดำเนินงานและวิธีการแก้ไข | 92 |

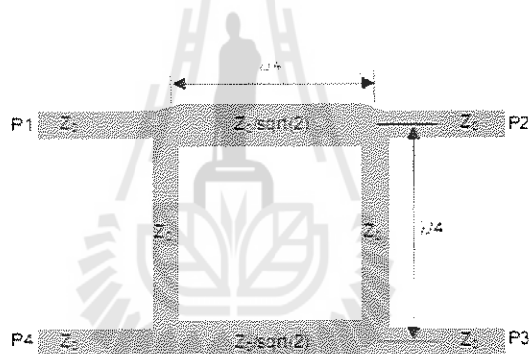
บทที่ 1

บทนำ

1.1 ความเป็นมา

การออกแบบและสร้างวงจรสลับสาย (switch line) ที่ต่อเข้ากับวงจรไฮบริดจ์คัปเพลอร์แบบ 90 องศา เพื่อให้ได้เฟสตามที่เราต้องการ ซึ่งวิธีนี้เป็นวิธีหนึ่งที่สามารถใช้แก้ไขปัญหาของบัตเตอร์เมตทริกซ์ (Butler matrix) จากเดิมที่ให้เฟสเป็นค่าที่ต่ำตัว โดยใช้ไดโอดเป็นตัวสลับสาย ซึ่งผลจากการสลับสายนี้จะทำให้สามารถเลือกสายนำสัญญาณที่มีความยาวตามที่ต้องการได้ ซึ่งจะทำให้เราได้เฟสตามที่เราต้องการ

โดยปกติแล้ว ตัวไฮบริดจ์คัปเพลอร์แบบ 90 องศา เป็นอุปกรณ์ที่ใช้เพื่อป้อนสัญญาณเข้าไปแล้วจะให้สัญญาณเอาท์พุตออกมานา 2 พอร์ต ซึ่งแต่ละพอร์ตมีสัญญาณต่างกัน 90 องศา ดังรูปที่ 1.1



รูปที่ 1.1 ตัวไฮบริดจ์คัปเพลอร์แบบ 90 องศา (hybrid coupler 90°)

จากการอ้างอิง รูปที่ 1 โดยการดำเนินการขั้นพื้นฐานของการแยกเส้นทางของการเชื่อมต่อ ถ้าหากพอร์ตมีค่าอิมพีเดนซ์เท่ากันและเมื่อใส่พลังงานเข้าไปที่พอร์ต P1 พลังงานจะถูกแบ่งแยกอย่างเท่าเทียมระหว่าง พอร์ต P2 และ พอร์ต P3 ซึ่งพลังงานที่ได้จะมีค่าเป็นครึ่งหนึ่งของพลังงานที่เข้ามาในพอร์ต P1 พลังงานที่ได้จากพอร์ต P2 และ พอร์ต P3 จะถูกหักกันอยู่ 90 องศา และจะไม่มีพลังงานออกไปที่ พอร์ตที่ P4 โดยที่ตัวไฮบริดจ์คัปเพลอร์แบบ 90 องศา จะใช้เป็นส่วนประกอบในการสร้างวงจรบัตเตอร์เมตทริกซ์ (Butler matrix) ซึ่งวงจรบัตเตอร์เมตทริกซ์จะให้ทิศทางของลำคลื่นและเฟสแตกต่างกัน ยกตัวอย่างเช่น สายอากาศต้นที่ 1 จะมีค่าเฟส $-45^\circ, 0^\circ, -135^\circ, -90^\circ$ จากพอร์ตที่ 1, 2, 3 และ 4 ตามลำดับ จะมีค่าทิศทางของลำคลื่นเป็น $138.6^\circ, 104.5^\circ, 75.5^\circ, 41.4^\circ$ จากพอร์ตที่ 1, 2, 3 และ 4 ตามลำดับ และมีเฟสที่มากจากแต่ละต้นเป็น $-135^\circ, -45^\circ, 45^\circ, 135^\circ$ จากพอร์ตที่ 1, 2, 3 และ 4 ตามลำดับเช่นกัน แต่ว่าวงจรบัตเตอร์เมตทริกซ์ มีข้อจำกัดก็คือเฟสที่ออกมามาเป็นค่าที่ต่ำตัว แต่ถ้า

หากว่าเราอยากรีดไฟฟ้าที่มีค่าที่เราต้องการ โดยส่วนใหญ่แล้วเราจะใช้วิธีการปรับเปลี่ยนวงจร ไอบริคจั๊บเปลอร์แบบ 90 องศา แต่วิธีดังกล่าวทำได้ยากและใช้เวลานาน ดังนั้น เราจึงต้องการนำเสนอความคิดที่จะใช้วงจรสลับสายคู่เข้ากับตัวไอบริคจั๊บเปลอร์แบบ 90 องศา เพื่อให้ไฟฟ้าตามที่เราต้องการ ซึ่งในการใช้วงจรสลับสายนี้ สามารถออกแบบและสร้างได้ง่ายกว่าการออกแบบวงจร ไอบริคจั๊บเปลอร์แบบ 90 องศา ใหม่

1.2 วัตถุประสงค์

สร้างวงจรสลับสาย (switch line) ซึ่งต่อเข้ากับไอบริคจั๊บเปลอร์แบบ 90 องศา เพื่อให้สามารถปรับเปลี่ยนมุมไฟฟ้าได้

1.3 ขอบเขตการดำเนินงาน

1. ศึกษาโปรแกรม CST Microwave Studio 5 เพื่อใช้ในการออกแบบวงจรสลับสาย (switch line) เพื่อต่อเข้ากับตัวไอบริคจั๊บเปลอร์แบบ 90 องศา
2. ศึกษาทฤษฎีไอบริคจั๊บเปลอร์แบบ 90 องศา และศึกษาการเลื่อนไฟฟ้า โดยใช้การสลับสาย
3. สร้างอุปกรณ์ต้นแบบและทำการทดสอบ

1.4 ขั้นตอนการดำเนินงาน

1. ศึกษาโปรแกรม CST Microwave Studio และทฤษฎีของวงจรสลับสายในช่วงความถี่ 2.4 GHz
2. ออกแบบวงจรสลับสายที่ทำงานในช่วงความถี่ 2.4 GHz และนำไปทดสอบโปรแกรม CST Microwave Studio เพื่อให้อยู่ในช่วงที่มีความถี่ 2.4 GHz
3. สร้างวงจรสลับสายความถี่ 2.4 GHz และทำการวัดค่าพารามิเตอร์ต่างๆ ที่สอดคล้องกัน ให้ได้ค่าพารามิเตอร์ต่างๆ ที่สอดคล้องกัน
4. สรุปผลการทดลอง เขียนรายงาน และนำเสนอโครงงาน

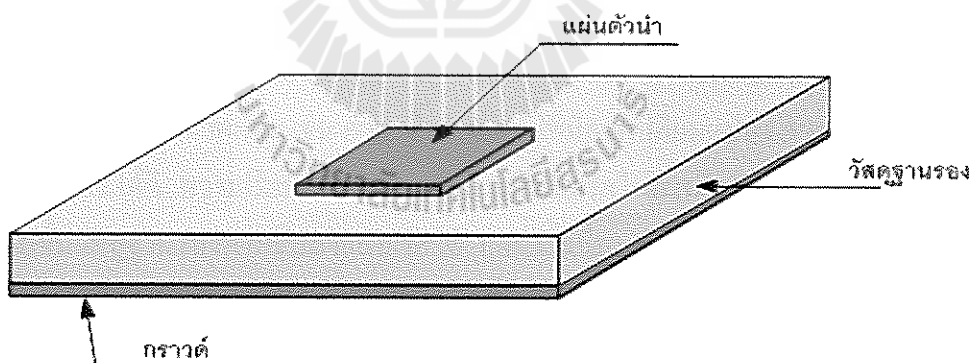
บทที่ 2

ทฤษฎีพื้นฐานที่เกี่ยวข้อง

ในบทนี้จะกล่าวถึงทฤษฎีที่เกี่ยวข้องการออกแบบและสร้างวงจรลับสาย (switch line) ที่ต่อเข้ากับวงจรไฮบริดคัปเพลอร์แบบ 90 องศา เพื่อให้ได้เฟสตามที่เราต้องการ ซึ่งวิธีนี้เป็นวิธีหนึ่งที่สามารถใช้แก่ไขปัญหาของบัตเตอร์เมทริกซ์ (Butler matrix) จากเดิมที่ให้เฟสเป็นค่าที่ต้องดู โดยใช้ไดโอดเป็นตัวลับสาย ซึ่งผลจากการลับสายนี้จะทำให้สามารถเลือกสายนำสัญญาณที่มีความยาวตามที่ต้องการได้ ซึ่งจะทำให้เราได้เฟสตามที่เราต้องการ

2.1 โครงสร้างของสายอากาศในโครงสร้าง

คุณสมบัติของสายอากาศในโครงสร้าง คือ ขนาดเล็ก น้ำหนักเบา ราคาถูก สามารถผลิตด้วยเทคโนโลยีวงจรพิมพ์ ซึ่งสามารถนำไปใช้งานร่วมกับวงจรอิเล็กทรอนิกส์ได้และสายอากาศในโครงสร้างสามารถใช้งานในย่านความถี่ในโครงเวฟไกด์ สักษณะโครงสร้างของสายอากาศในโครงสร้างประกอบด้วยองค์ประกอบพื้นฐาน คือ แผ่นตัวนำสายอากาศ ชั้นวัสดุฐานรอง ระนาบกราวด์ และสายนำสัญญาณ โครงสร้างสายอากาศในโครงสร้างสามารถแสดงได้ดังรูปที่ 2.1



รูปที่ 2.1 โครงสร้างพื้นฐานของสายอากาศในโครงสร้าง

ลักษณะโครงสร้างของสายอากาศในโครงสร้าง สามารถแสดงได้ดังรูปที่ 2.1 ประกอบด้วย

2.1.1 แผ่นตัวนำสายอากาศ

เป็นแผ่นโลหะเบนบาง ทำหน้าที่เป็นตัวแพร่พลังงาน และมีค่าความต้านทานต่ำ ทนต่อ สภาพแวดล้อม สามารถยึดติดกับผิวของชั้นวัสดุฐานรองได้เป็นอย่างดีโดยทั่วไปจากทองแดง ทองคำหรืออลูминีียม แผ่นตัวนำอาจมีรูปร่างต่าง ๆ เช่น สี่เหลี่ยมผืนผ้าสี่เหลี่ยมจัตุรัส วงกลม วงรี ฯลฯ วัสดุที่นำมาใช้ทำแผ่นตัวนำสายอากาศนี้ส่งผลต่อประสิทธิภาพของสายอากาศและความซับซ้อนในการผลิต นอกจากนี้แล้วขนาดและรูปร่างของแผ่นตัวนำสายอากาศยังเป็นปัจจัยต่อการกำหนดความถี่ใช้งาน รูปแบบการเผยแพร่พลังงานและอิมพีเดนซ์ขาเข้า ปัจจุบันแผ่นตัวนำสายอากาศที่ใช้ส่วนใหญ่เป็นแผ่นตัวนำรูปสี่เหลี่ยมและวงกลม เนื่องจากการออกแบบและการผลิตสามารถทำได้ง่าย

2.1.2 ชั้นวัสดุฐานรอง

ชนิดและขนาดของชั้นวัสดุฐานรองเป็นปัจจัยสำคัญในการออกแบบสายอากาศ และเป็นองค์ประกอบสำคัญที่กำหนดคุณสมบัติทางไฟฟ้าของสายอากาศในโครงสร้าง การเผยแพร่พลังงานของสายอากาศจะคล่องเมื่อค่าคงตัวไดอิเล็กตริกสัมพัทธ์ของวัสดุฐานรองเพิ่มมากขึ้น โดยที่ความหนาของชั้นวัสดุฐานรองมีค่าคงที่ การเผยแพร่พลังงานของสายอากาศจะเพิ่มขึ้นเมื่อความหนาของชั้นวัสดุฐานรองเพิ่มขึ้น และการเผยแพร่พลังงานนี้จะมีปริมาณลดลง เมื่อความหนาต่อความยาวคู่ลินีมีค่าประมาณ 0.05

การเลือกวัสดุเพื่อใช้เป็นวัสดุฐานรองนอกจากต้องคำนึงถึงสมบัติทางกล สมบัติทางเคมี ความคงทนต่อสภาพแวดล้อม เช่น ความชื้น อุณหภูมิที่มีการเปลี่ยนแปลง ความสามารถในการยึดติดกับผิวโลหะได้ดี ความเรียบของผิวซึ่งเพิ่มประสิทธิภาพในการยึดติดกับโลหะและสามารถผลิตเป็นชั้นวัสดุฐานรองสำหรับสายอากาศได้ นอกจากนี้สมบัติทางไฟฟ้ายังเป็นตัวแปรสำคัญในการเลือกวัสดุ โดยมีค่าปัจจัยที่ต้องคำนึงดังต่อไปนี้

- ค่าคงตัวไดอิเล็กตริกสัมพัทธ์ (dielectric constants: ϵ_r) วัสดุที่ใช้ควรเป็นวัสดุเนื้อเดียวเพื่อให้ค่าสภาพยอนของสารไดอิเล็กตริกมีค่าคงที่ ค่าคงตัวไดอิเล็กตริกบ่งบอกคุณสมบัติของการเป็นสารไดอิเล็กตริก โดยเทียบกับอากาศว่า ซึ่งค่าคงตัวไดอิเล็กตริกสัมพัทธ์ควรมีค่าต่ำ เนื่องจากค่าคงตัวไดอิเล็กตริกสัมพัทธ์ต่ำทำให้สายอากาศมีประสิทธิภาพที่ดี และทำให้การผลิตมีความผิดพลาดน้อย
- ค่า loss tangent ($\tan \delta$) คือ ค่าที่แสดงอัตราส่วนระหว่างกระแสการนำกับกระแสเดซิสเพลซเมนต์ โดยเมื่อนำสารไดอิเล็กตริกไปคั่นกลางระหว่างแผ่นโลหะคู่หนึ่งซึ่งทำหน้าที่เป็นตัวเก็บประจุ ซึ่งค่านี้แสดงให้รู้ว่าสารไดอิเล็กตริกนั้นมีการสูญเสีย เนื่องจากการนำกระแสมากน้อย

เพียงได้ โดยค่าที่นิ่วมีค่าที่ต่ำ เพื่อลดพลังงานการสูญเสียเนื่องจากการสูญเสียของໄดอิเล็กตริกทำให้ประสิทธิภาพของสายอากาศสูงขึ้น

- ค่าคงตัวของการนำความร้อน (thermal conductivity) แสดงให้รู้ว่าสารໄดอิเล็กตริกนั้นมีความสามารถในการระบายความร้อนได้ดีมากน้อยเพียงใด ซึ่งค่านี้ยิ่งสูงยิ่งดี

2.1.3 ระนาบกราวด์ (ground plane)

เป็นแผ่นโลหะขนาดใหญ่เมื่อเทียบกับแผ่นตัวนำสายอากาศ ซึ่งส่วนใหญ่ทำจากโลหะชนิดเดียวกันกับสายอากาศ โดยขนาดของระนาบกราวด์จะส่งผลกระทบต่อแบบรูปการแผ่กระจายคลื่น เนื่องจากคลื่นเลี้ยวบนที่บริเวณขอบของระนาบกราวน์ นอกจานี้ยังส่งผลต่อการวิเคราะห์คุณสมบัติของสายอากาศอีกด้วยเนื่องจากการวิเคราะห์สายอากาศส่วนใหญ่มีข้อสมมุติว่าแผ่ระนาบกราวด์มีขนาดใหญ่กว่าแผ่นตัวนำสายอากาศมากจนสามารถประมาณได้ว่าเป็นอนันต์ขนาดที่จำกัดของระนาบกราวด์จะมีผลต่อลำคลื่นหลัก (main lobe) น้อยมาก แต่จะทำให้เกิดลำคลื่นด้านหลังของแบบรูปการแผ่กระจายคลื่น

2.1.4 สายนำสัญญาณ (transmission line)

สายนำสัญญาณจะเป็นส่วนสำคัญในการนำสัญญาณเข้าสู่สายอากาศ สายนำสัญญาณที่ใช้กับสายอากาศแบบไมโครสตริปมีหลายแบบ ที่นิยมใช้คือแบบไมโครสตริปไลน์ (microstrip line) และแบบท่อน้ำคัลลีนระนาบร่วม (coplanar waveguide: CPW) สายนำสัญญาณดังกล่าวมีความสามารถจะใช้กับสายอากาศในไมโครสตริปแบบแผ่นปะ (patch antenna) หรือแบบช่องเปิด (slot antenna) ได้ แต่ต้องขึ้นอยู่กับโครงสร้างการจัดวาง เช่น สายอากาศแบบแผ่นปะจะนิยมใช้ในไมโครสตริปไลน์โดยจัดวางให้อยู่ในระนาบเดียวกัน ถ้าเป็นสายอากาศแบบช่องเปิดจะใช้ในไมโครสตริปไลน์หรือ CPW ได้ทั้งสองแบบ ถ้าใช้ในไมโครสตริปไลน์ช่องเปิดที่ทำหน้าที่เป็นสายอากาศจะถูกวางอยู่บนระนาบกราวด์ ส่วนไมโครสตริปไลน์จะอยู่ระนาบตรงกันข้าม แต่ถ้าใช้สายแบบ CPW สายอากาศช่องเปิดบนระนาบกราวด์จะอยู่ระนาบเดียวกันกับสายนำแบบ CPW [1]

2.1.5 ค่าอิมพีเดนซ์คุณลักษณะและໄดอิเล็กตริกสัมพัทธ์ ของสายนำสัญญาณแบบไมโครสตริป

การวิเคราะห์เพื่อหาค่าอิมพีเดนซ์คุณลักษณะ (characteristics impedance, Z_c) และค่าคงที่ໄดอิเล็กตริกสัมพัทธ์ (effective dielectric constant, ϵ_{eff}) สามารถหาได้จาก

$$Z_c = \frac{1}{c\sqrt{C_a C_d}} \quad (2-1 \text{ ก})$$

$$\varepsilon_{re} = \frac{C_d}{C_a} \quad (2-1 \text{ ข})$$

โดยที่ค่า C_d เป็นค่าค่าปานิชແຕนซ์ต่อความขาวของสตริปหนึ่งหน่วย ซึ่งมีขั้นของไดอิเล็กตริกอยู่ระหว่างแผ่นตัวนำทั้งสอง ส่วนค่า C_a เป็นค่าค่าปานิชແຕนซ์ต่อความขาวของสตริปหนึ่งหน่วยซึ่งมีอากาศอยู่ระหว่างแผ่นตัวนำสตริป นั่นคือ เป็นค่าค่าปานิชແຕนซ์ที่เกิดขึ้นระหว่างสตริปที่ค้านบนของชั้นไดอิเล็กตริกนั้นเองและค่า c เป็นค่าความเร็วของคลื่นในอากาศ (มีค่าประมาณ 3×10^8 เมตร/วินาที) ในที่นี้จะพิจารณาว่าความหนาของสตริปมีค่าใกล้เคียงศูนย์ (เข้าใกล้ 0) ดังนั้นจะได้ค่าอิมพິແດນซ์คุณลักษณะและค่าคงที่ไดอิเล็กตริกสัมพาร์ที่มีความผิดพลาดน้อยกว่า 1% ดังสมการที่ (2-2)

สำหรับอัตราส่วน $W/h \leq 1$ ว่า

$$Z_c = \frac{60}{\sqrt{\varepsilon_{re}}} \ln \left[\frac{8h}{w} + 0.25 \frac{w}{h} \right] \quad (2-2 \text{ ก})$$

$$\varepsilon_{re} = \frac{\varepsilon_r + 1}{2} + \frac{\varepsilon_r - 1}{2} \left\{ \left[1 + 12 \frac{h}{w} \right]^{-0.5} + 0.04 \left[1 - \frac{w}{h} \right]^2 \right\} \quad (2-2 \text{ ข})$$

สำหรับค่าอัตราส่วน $W/h \geq 1$ จะได้ว่า

$$Z_c = \frac{120\pi}{\sqrt{\varepsilon_{re}}} \left\{ \frac{w}{h} + 1.393 + 0.667 \ln \left[\frac{w}{h} + 1.444 \right] \right\}^{-1} \quad (2-3 \text{ ก})$$

$$\varepsilon_{re} = \frac{\varepsilon_r + 1}{2} + \frac{\varepsilon_r - 1}{2} \left[1 + 12 \frac{h}{w} \right]^{-0.5} \quad (2-3 \text{ ข})$$

วิธีการที่มีความเที่ยงตรงในการคำนวณที่สูงกว่า ดังสมการที่ (2-4)

$$\varepsilon_{re} = \frac{\varepsilon_r + 1}{2} + \frac{\varepsilon_r - 1}{2} \left[1 + \frac{10}{u} \right]^{-ab} \quad (2-4 \text{ ข})$$

โดย n คือ ค่าอัตราส่วนของ W/h และค่า a กับ b มีค่าเป็น

$$a = 1 + \frac{1}{49} \ln \left[\frac{u^4 + (u/52)^2}{u^4 + 0.432} \right] + \frac{1}{18.7} \ln \left[1 + (u/18.1)^3 \right]$$

และ

$$b = 0.564 \left[\frac{\varepsilon_r - 0.9}{\varepsilon_r + 3} \right]^{0.053}$$

ในส่วนของค่าอินพีเดนซ์คุณลักษณะสามารถหาได้จาก

$$Z_c = \frac{60}{\sqrt{\varepsilon_{re}}} \ln \left[\frac{F}{u} + \sqrt{1 + \left(\frac{2}{u} \right)^2} \right] \quad (2-4 \text{ ต})$$

โดย F มีค่าเป็น

$$F = 6 + (2\pi - 6) \exp \left[- \left(\frac{30.666}{u} \right)^{0.7528} \right]$$

จากสมการที่ (2-4) นี้ ค่า $\varepsilon_r \leq 128$ และค่า n มีค่าระหว่าง 0.01 ถึง 100 ($\varepsilon_r \leq 128$ และ $0.01 \leq u \leq 100$) จะทำให้ผลของการคำนวณของค่าคงที่ไดอิเล็กตริกสัมพัทธ์มีความ ผิดพลาด น้อยกว่า 0.2 %

สำหรับค่า $Z_c \sqrt{\varepsilon_{re}}$ จะมีความผิดพลาดน้อยกว่า 0.01 % ถ้าค่า $u \leq 1$ และจะมีความ ผิดพลาดน้อยกว่า 0.03 % หากว่าค่า $u \leq 1000$ [4]

2.1.6 ค่าความยาวคลื่นบนสตอริป ค่าคงที่การแพร่กระจาย และค่าความเร็วไฟฟ้า

เมื่อทราบค่า ไดอิเล็กตริกสัมพัทธ์จะทำให้สามารถคำนวณหาค่าความยาวคลื่นบนสตอริป (λ_s) และค่าคงที่การแพร่กระจาย ขึ้นได้แก่ ค่าคงที่ของการแพร่ (propagation constant, β) และค่า ความเร็วไฟฟ้า (phase velocity, v_p) ดังนี้

$$\lambda_s = \frac{\lambda_0}{\sqrt{\varepsilon_{re}}} \quad (2-5 \text{ ต})$$

เมื่อ λ_s เป็นค่าความยาวคลื่นในอากาศซึ่งเป็นส่วนกลับของความถี่ (f) และหากต้องการทราบค่าความยาวคลื่นบนสตริปในหน่วยของมิลลิเมตร จะได้ว่า

$$\lambda_s = \frac{300}{f(GHz)\sqrt{\epsilon_r}} \quad (2-5 \text{ ข})$$

สำหรับค่าคงที่ของการแพร่ และค่าความเร็วไฟฟ้า สามารถหาได้จาก

$$\beta = \frac{2\pi}{\lambda_s} \quad (2-5 \text{ ค})$$

$$v_p = \frac{\omega}{\beta} = \frac{c}{\sqrt{\epsilon_r}} \quad (2-5 \text{ ง})$$

เมื่อ c คือค่าความเร็วของคลื่นในอากาศ (3×10^8 เมตร/วินาที)

2.1.7 การสังเคราะห์หาความกว้างต่อความหนา W/h

ในการคำนวณหาความกว้างต่อความหนา W/h ของสายนำสัญญาณแบบไมโครสตริปเมื่อ ทราบค่าอิมพีเดนซ์คุณลักษณะ Z_c และค่าโดยอิเล็กทริกประสิทธิผล ϵ_r สามารถแสดงได้ดังนี้ สำหรับที่ $W/h \leq 2$ พิจารณาได้เป็น

$$\frac{W}{h} = \frac{8e^A}{e^{2A} - 2} \quad (2-6)$$

และสำหรับที่ $W/h \geq 2$ พิจารณาได้เป็น

$$\frac{W}{h} = \frac{2}{\pi} \left\{ (B - 1) - \ln(2B - 1) + \frac{\epsilon_r - 1}{2\epsilon_r} \left[\ln(B - 1) + 0.39 - \frac{0.61}{\epsilon_r} \right] \right\} \quad (2-7)$$

เมื่อ

$$A = \frac{Z_c}{60} \left\{ \frac{\epsilon_r + 1}{2} \right\}^{0.5} = \frac{\epsilon_r - 1}{\epsilon_r + 1} \left\{ 0.23 + \frac{0.11}{\epsilon_r} \right\} \quad (2-8)$$

และ

$$B = \frac{60\pi^2}{Z_c \sqrt{\epsilon_r}} \quad (2-9)$$

2.1.8 ผลกระทบจากความหนาของสติริป

ความหนาของสติริป (t) โดยปกติจะมีค่าน้อยมากๆ จนอาจพิจารณาได้ว่าเป็นศูนย์ แต่ในทางปฏิบัติค่าความหนาดังกล่าวมิใช่ศูนย์ตามที่ได้ตั้งสมมติฐานไว้ซึ่งค่าความหนา ดังกล่าวจะมีผลต่อทั้งค่าอิมพิแคนซ์คุณลักษณะ และค่าคงที่โดยอิเล็กตริกสัมพัทธ์ โดยจะเริ่มพิจารณาจากสมการที่ (2-2) และ (2-3) ได้ว่า

สำหรับที่ $W/h \leq 1$ พิจารณาได้เป็น

$$Z_c(t) = \frac{\eta}{2\pi\sqrt{\varepsilon_{re}}} \ln \left\{ \frac{8}{w(t)/h} + 0.25 \frac{w(t)}{h} \right\} \quad (2-10 \text{ น})$$

และสำหรับที่ $W/h \geq 1$ พิจารณาได้เป็น

$$Z_c(t) = \frac{\eta}{\sqrt{\varepsilon_{re}}} \left\{ \frac{w(t)}{h} + 1.393 + 0.667 \ln \left(\frac{w(t)}{h} + 1.444 \right) \right\}^{-1} \quad (2-12 \text{ น})$$

โดยที่จะพิจารณาค่าอัตราส่วน W/h ที่มีผลกระทบจากความหนาของสติริป (t) ได้ว่า

$$\frac{w(t)}{h} = \begin{cases} \frac{w}{h} + \frac{1.25t}{\pi h} \left[1 + \ln \frac{4\pi w}{t} \right] & ; (w/h \leq 0.5\pi) \\ \frac{w}{h} + \frac{1.25t}{\pi h} \left[1 + \ln \frac{2ht}{t} \right] & ; (w/h \geq 0.5\pi) \end{cases} \quad (2-10 \text{ ก})$$

และสำหรับค่าโดยอิเล็กตริกสัมพัทธ์ที่ได้รับผลกระทบจากความหนาของสติริป จะพิจารณาได้ว่า

$$\varepsilon_{re}(t) = \varepsilon_{re} - \frac{\varepsilon_r - 1}{4.6} \frac{t/h}{\sqrt{w/h}} \quad (2-10 \text{ ก})$$

โดยที่ค่า ε_r เป็นค่าโดยอิเล็กตริกสัมพัทธ์ที่พิจารณาให้ความหนาของสติริปเป็นศูนย์ และจากการพิจารณาสมการที่ผ่านมาพบว่าผลกระทบของความหนาของสติริปต่อค่าอิมพิแคนซ์คุณลักษณะ และค่าคงที่โดยอิเล็กตริกสัมพัทธ์จะมีผลน้อยมากหากกว่าอัตราส่วนของความหนาของสติริปต่อความหนาของชิ้น โดยอิเล็กตริกน้อย ($\text{โดยปกติ } t \ll h$) อย่างไรก็ตามความหนาของสติริป

จะมีผลอย่างยิ่งต่อการสูญเสียของคลื่นความถี่บนแผ่นดิน (conductor loss) ของสายนำสัญญาณบนไมโครสตริป [2]

2.1.9 การสูญเสียนี้ของจากการแพร่กระจายของคลื่น

การสูญเสียนี้ของจากการแพร่กระจายของคลื่นจะมีค่าที่ไม่คงที่ ทั้งนี้ขึ้นอยู่กับความถี่ของคลื่นที่เดินทางบนสตริปซึ่งจะกำหนดให้ค่าคงที่ไดอิเล็กตริกสัมพัทธ์ที่เปลี่ยนตามความถี่เป็น $\epsilon_r(f)$ ดังนั้นจึงได้ผลของการพิจารณาเป็น

$$\epsilon_{re}(f) = \epsilon_r - \frac{\epsilon_r - \epsilon_{re}}{1 + (f/f_{s0})^m} \quad (2-11 \text{ ก})$$

โดยที่ค่า f_{s0} สามารถหาได้จาก

$$f_{s0} = \frac{f_{TM0}}{0.75 + (0.75 - 0.332\epsilon_r^{-1.73})(w/h)} \quad (2-11 \text{ ก})$$

และค่า f_{TM0} หาได้โดย

$$f_{TM0} = \frac{c}{2\pi h \sqrt{\epsilon_r - \epsilon_{re}}} \tan^{-1} \left[\epsilon_{re} \sqrt{\frac{\epsilon_{re}-1}{\epsilon_r - \epsilon_{re}}} \right] \quad (2-11 \text{ ก})$$

ซึ่งค่าของ $m = m_0 m_c \leq 2.32$ และสามารถหาค่า m_0 กับ m_c ได้จาก

$$m_0 = 1 + \frac{1}{1 + \sqrt{w/h}} + 0.32 \left[\frac{1}{1 + \sqrt{w/h}} \right]^3 \quad (2-11 \text{ ก})$$

$$m_c = \begin{cases} 1 + \frac{1.4}{1 + w/h} \left\{ 0.15 - 0.235 \exp \left(\frac{-0.45 f}{f_{s0}} \right) \right\} \\ 1 \end{cases} \quad (2-11 \text{ ก})$$

ในขณะที่ c คือ ความเร็วของคลื่นที่เดินทางในอากาศ และหากว่าผลคูณของ m_0 และ m_c มีค่ามากกว่า 2.32 จะประมาณให้ว่ามีค่าเป็น 2.32 จึงอาจกล่าวได้ว่าค่า m นี้จะมีค่าอยู่ระหว่าง 0 ถึง 2.32 เท่านั้น ซึ่งจากสมการที่ (2-11) จะเห็นได้ว่าหากค่าความถี่ยังสูงมากขึ้น เท่าใด ค่าคงที่ไดอิเล็กตริกสัมพัทธ์ที่มีผลต่อความถี่หรือ $\epsilon_r(f)$ จะเข้าใกล้ค่าคงที่ไดอิเล็กตริกของชั้นไดอิเล็กตริกบนโครงสร้างไมโครสตริปนั้นเอง อย่างไรก็ได้ค่าที่ได้จากการที่กล่าวมา จะมีความผิดพลาดเพียง

0.6 % หากว่าค่าอัตราส่วน w/h มีค่าอยู่ระหว่าง 0.1 ถึง 10 และ ค่าคงที่ไดอิเล็กตริก (ϵ_r) มีค่าอยู่ระหว่าง 1 ถึง 128

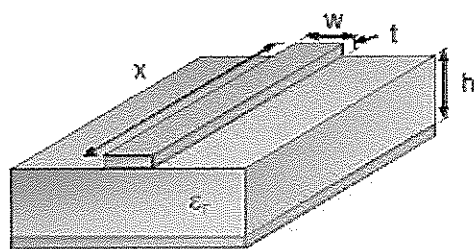
สำหรับผลกระบวนการที่มีต่อค่าอินพีเดนซ์คุณลักษณะ สามารถประมาณได้จาก

$$Z_c(f) = Z_c \frac{\epsilon_{re}(f) - 1}{\epsilon_{re} - 1} \sqrt{\frac{\epsilon_{re}}{\epsilon_{re}(f)}} \quad (2-12)$$

โดย Z_c เป็นค่าอินพีเดนซ์คุณลักษณะ [3]

2.2 โครงสร้างพื้นฐานของสายนำสัญญาณแบบไมโครสคริป

สายนำสัญญาณแบบไมโครสคริป หรือเรียกสั้นๆ ว่า ไมโครสคริปไพล์ ได้รับความนิยม นำมาใช้กับความถี่ในย่านไมโครเวฟ เพราะมีข้อดี คือ ง่ายต่อการเชื่อมต่อและมีขนาดเล็ก รูปที่ 2.2 แสดงโครงสร้างของไมโครสคริปไพล์ ซึ่งมีรูปร่างเป็นแถบตัวนำแคบๆ วางอยู่บนชั้นวัสดุฐานรอง (substrate) ซึ่งเป็นสารไดอิเล็กตริก และด้านล่างของวัสดุฐานรองเป็นระนาบกราวด์ (ground plane) ซึ่งมีลักษณะเป็นโลหะ พลังงานของคลื่นแม่เหล็กไฟฟ้าจะส่งผ่านอยู่ในวัสดุฐานรองในบริเวณที่อยู่ระหว่างแถบตัวนำแคบ ๆ กับผิวโลหะของระนาบกราวด์ด้านล่าง การที่แถบตัวนำของสายนำสัญญาณ ไมโครสคริปมีด้านบนสัมผัสกับอากาศ และด้านล่างสัมผัสกับสารไดอิเล็กตริก ทำให้การแพร่กระจายคลื่นแม่เหล็กไฟฟ้าถูกแยกไปในอากาศส่วนหนึ่ง และส่วนที่เหลือผ่านไปในสารไดอิเล็กตริก แถบตัวนำจะมีความกว้าง W ความหนา t ถูกวางบนวัสดุฐานรอง (substrate) โดยที่ความกว้างของสคริปนั้นเขียนอยู่กับค่าอินพีเดนซ์คุณลักษณะที่ต้องการ สำหรับความหนาของตัวสคริปที่นำมาใช้ออกแบบสายอากาศโดยทั่วไปนั้นมีค่าประมาณ 0.017 มิลลิเมตร



รูปที่ 2.2 โครงสร้างทางกายภาพของสายนำสัญญาณแบบไมโครสคริป [4]

2.3 การออกแบบไมโครสเตรปไวน์

ไมโครสเตรปไวน์มีลักษณะเป็นแบบโลหะແກບ (ผืนโลหะຍາວ) โดยความกว้างของແດບ ໂລຂະເປັນຕົວກໍາຫນດຄ່າອິນີຟແດນໜີຂອງໄມໂຄຣສຕຣີປ້ໄລນ໌ທີ່ຕ້ອງການອອກແນບເພື່ອໃຫ້ແນຕ່ງກັນ ອິນີຟແດນໜີຄຸພລັກພະຂອງສາຍສ່າງທີ່ນຳມາຕ່ອເຫຼົ່າທີ່ປລາຍສາຍໄມໂຄຣສຕຣີປ້ ສ່ວນຄວາມຍາວເປັນຕົວຊ່ວຍ ໃນການປັບແຕ່ງໃໝ່ມີຄ່າການສູງເສີຍຍື່ອນກລັບເກີດນອຍທີ່ສຸດ ຄໍາກໍາຫນດໃຫ້ W ເປັນການກໍາວັງຂອງສາຍ ໄມໂຄຣສຕຣີປ້ h ເປັນການສູງຂອງວັສດູຮານຮອງ (substrate) ທີ່ມີການໜາຂອງຈັ້ນໂລຫະນ້ອຍນາກ ແລະ Z_c ເປັນອິນີຟແດນໜີຄຸພລັກພະຂອງສາຍສ່າງສັງລູາມແບນໂຄແອກເຊີບລ ສ່ວນການໃນການຄຳນວນຫາຄ່າ ການກໍາວັງ W ມີດັ່ງນີ້

$$\text{ກະລື} \frac{W}{h} \leq 1$$

$$Z_c = 60 \ln \left(\frac{8h}{W} + \frac{W}{4h} \right) / (\epsilon_{eff})^{1/2}$$

ເມື່ອ

$$\epsilon_{eff} = \left(\frac{\epsilon_r + 1}{2} \right) + 0.5(\epsilon_r - 1) \left(1 + \frac{12h}{W} \right)^{1/2}$$

$$\text{ກະລື} \frac{W}{h} \geq 1$$

$$Z_c = \frac{120\pi / (\epsilon_{eff})^{1/2}}{\frac{W}{h} + 1.393 + 0.667 \ln(\frac{W}{h} + 1.44)}$$

ໂດຍຮຽນຈາດໃນໂຄຣສຕຣີປ້ໄລນ໌ມີຄຸພສນບັດໃນການທຳໄຫ້ຄື່ນກະຈັດກະຈາຍ (dispersive) ນັ້ນຄື່ອ ການທີ່ ϵ_{eff} ແປຣຕານຄ່າຄວາມຄື ແລະ ໂຄຮງສ້າງຂອງສາຍໃນໂຄຣສຕຣີປ້ເປັນລັກພະກິ່ງ TEM ດັ່ງນີ້ສ່ວນການພື້ນຖານເກີຍກັບຄວາມຍາວຄື່ນໃນສາຍໄມໂຄຣສຕຣີປ້ໄລນ໌ ຄື່ອ

$$\lambda_g = \frac{c}{f(\epsilon_{eff})}$$

ເມື່ອ λ_g ຄື່ອ ຄວາມຍາວຄື່ນສັນພັກທີ່

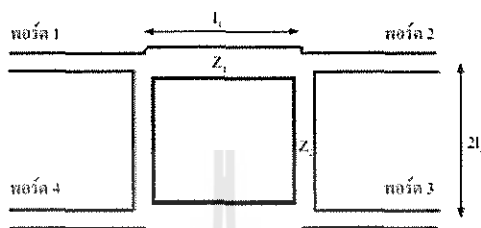
c ຄື່ອ ຄວາມເງື່ອງແສງ (3×10^8 m/s)

ϵ_{eff} ຄື່ອ ຄ່າຄົງຕົວໄຄອີເລີກຕຣິກສັນພັກທີ່ປະສິທິພລ (effective dielectric constant)

f ຄື່ອ ຄວາມຄື່ໜ້າທີ່ຕ້ອງການອອກແນບຂອງສາຍອາກາສ

2.4 วงจรบรรทានช์ไลน์ไอบริดจ์คัปเปลอร์

คุณสมบัติที่ว่าไปของวงจรบรรทានช์ไอบริดจ์คัปเปลอร์ดังรูปที่ 2.3 คือเมื่อมีสัญญาณอินพุตเข้ามาทางพอร์ต 1 สัญญาณจะถูกแบ่งออกไปยังพอร์ต 2 และพอร์ต 3 ซึ่งเป็นพอร์ตเอาต์พุต และจะไม่มีสัญญาณออกมากที่พอร์ต 4 ซึ่งเรียกว่าเป็น “พอร์ตไอยโซเลต”



รูปที่ 2.3 โครงสร้างของบรรทានช์ไลน์ไอบริดจ์คัปเปลอร์

ในทางกลับกันหากป้อนสัญญาณเข้าที่พอร์ต 4 สัญญาณก็จะถูกแบ่งออกไปยังพอร์ต 2 และพอร์ต 3 และจะไม่มีสัญญาณออกมากที่พอร์ต 1 เลย และเนื่องจากตัวไอบริดจ์คัปเปลอร์ชนิดนี้เป็นโครงสร้างแบบสมมาตร ดังนั้นหากกลับทางพอร์ตให้พอร์ตอินพุตเป็นพอร์ตเอาต์พุต ผลที่ได้ก็จะไม่ต่างกัน อย่างไรก็ตาม การที่จะเกิดคุณสมบัติตั้งกล่าวได้นั้นก็ต่อเมื่อเดือกໂหลดที่ถูกต้องเพื่อให้เกิดการแมบทั้ง 4 พอร์ต ซึ่งจะทำให้เกิดทิศทางการไหลของสัญญาณดังรูปที่ 2.4

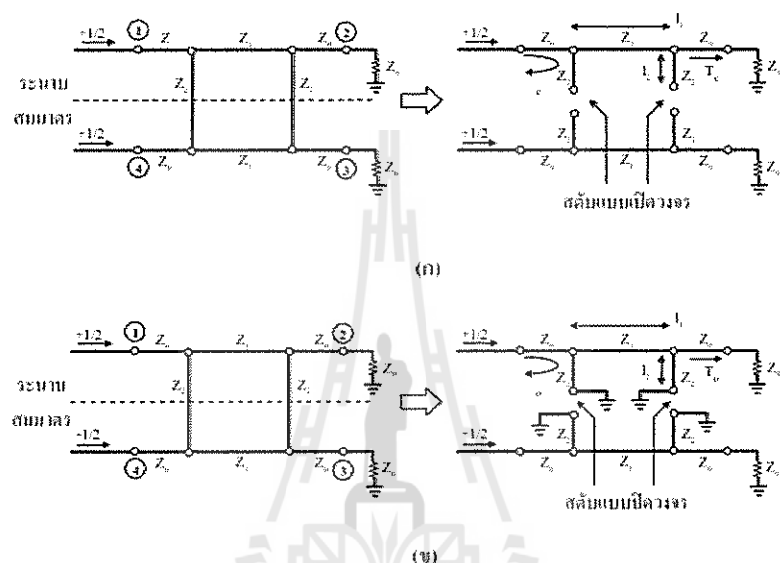


รูปที่ 2.4 ทิศทางการไหลของสัญญาณในบรรทានช์ไลน์ไอบริดจ์คัปเปลอร์

ดังนั้นในการวิเคราะห์โครงข่ายชนิดนี้ จะต้องแยกการวิเคราะห์ออกเป็นในโหมดคู่ (even mode) และในโหมดคี่ (odd mode) ซึ่งมีลักษณะเป็นโครงข่าย 2 พอร์ต (two port network)

ลักษณะการวิเคราะห์ในโหมดคู่คือจะมีสัญญาณ 2 สัญญาณที่มีขนาดเท่ากันและมีเฟสเดียวกันป้อนเข้าไปที่พอร์ต 1 และพอร์ต 4 ดังแสดงในรูปที่ 2.6(ก) จากการป้อนอินพุตในลักษณะดังกล่าวจะได้ว่าที่รั้วนานาครรน์จะมีการไหลของกระแสไฟฟ้าเท่ากับศูนย์และมีค่าขนาดของแรงดันสูงสุด ซึ่งจะ意味ว่ามีการเปิดวงจร (open circuit) ระหว่างนานาครรน์โดยเรียกลักษณะดังกล่าวว่า “กำแพงแม่เหล็ก (magnetic wall)”

ลักษณะของการวิเคราะห์ในโหนมคู่คือ จะมีสัญญาณที่มีขนาดเท่ากันแต่จะมีเฟสต่างกัน 180 องศา ป้อนเข้าไปที่พอร์ต 1 และพอร์ต 4 ดังแสดงในรูปที่ 2.5(ข) จากการป้อนสัญญาณอินพุตที่ ลักษณะดังกล่าวจะ ได้รับที่ระนาบสมมาตรนี้จะมีค่าการ ไฟลของกระแสสูงสุดแต่จะมีค่าของแรงดัน ต่ำสุด ซึ่งจะเสมือนว่ามีการปีกวงจร (short circuit) ระหว่างระนาบสมมาตรนี้ โดยจะเรียกลักษณะ ดังกล่าวว่า “กำแพงไฟฟ้า (electric wall)”



รูปที่ 2.5 ลักษณะการวิเคราะห์บานช์ไซเบอร์จั๊บเปลอร์ในโหนมคู่และโหนมคี่

(ก) ลักษณะ โหนมคู่

(ข) ลักษณะ โหนมคี่

จากรูปที่ 2.5 จะเห็นได้ว่ารูปแบบวงจรทั้งในโหนมคู่และโหนมคี่จะมีลักษณะของวงจรซึ่ง ประกอบไปด้วยสตับ (stub) ความยาว l_2 ซึ่งออมพิเดนซ์คุณลักษณะ Z_2 ต่ออยู่กับสายนำสัญญาณ ความยาว l_1 ซึ่งมีค่าออมพิเดนซ์คุณลักษณะ Z_1 จากนั้นก็ต่อ กับสตับซึ่งมีลักษณะเหมือนกับตัวแรก โดยในลักษณะของวงจรแบบนี้เราสามารถใช้พารามิเตอร์ ABCD (ABCD parameter) มาแทนส่วน ประกอบต่างๆของวงจรดังกล่าวได้โดย

กรณี โหนมคู่

$$\begin{bmatrix} A & B \\ C & D \end{bmatrix}_c = \begin{bmatrix} 1 & 0 \\ jY_2 \tan(\beta_2 l_2) & 1 \end{bmatrix} \begin{bmatrix} \cos(\beta_1 l_1) & jZ_1 \sin(\beta_1 l_1) \\ jY_1 \sin(\beta_1 l_1) & \cos(\beta_1 l_1) \end{bmatrix} \begin{bmatrix} 1 & 0 \\ jY_2 \tan(\beta_2 l_2) & 1 \end{bmatrix}$$

ซึ่งจะได้

$$\Gamma_e = \frac{A_e + B_e Y_0 - C_e Z_0 - D_e}{A_e + B_e Y_0 + C_e Z_0 + D_e}$$

$$T_e = \frac{2}{A_e + B_e Y_0 + C_e Z_0 + D_e}$$

เมื่อ

| | |
|-----------------|--|
| Y_0, Y_1, Y_2 | คือค่าแอดมิตเตนซ์คุณลักษณะของสายนำสัญญาณ |
| Z_0, Z_1, Z_2 | คือค่าอิมพีเดนซ์คุณลักษณะของสายนำสัญญาณ |
| Γ_e | คือค่าสัมประสิทธิ์การสะท้อนในโหนดคู่ (reflection coefficient) |
| T_e | คือค่าสัมประสิทธิ์การส่งผ่านในโหนดคู่ (transmission coefficient) |

กรณีโหนดคี่

$$\begin{bmatrix} A & B \\ C & D \end{bmatrix}_o = \begin{bmatrix} -\frac{1}{jY_2} & 0 \\ \frac{-jY_2}{\tan(\beta_2 l_2)} & 1 \end{bmatrix} \begin{bmatrix} \cos(\beta_1 l_1) & jZ_1 \sin(\beta_1 l_1) \\ jY_1 \sin(\beta_1 l_1) & \cos(\beta_1 l_1) \end{bmatrix} \begin{bmatrix} -\frac{1}{jY_2} & 0 \\ \frac{-jY_2}{\tan(\beta_2 l_2)} & 1 \end{bmatrix}$$

ซึ่งจะได้

$$\Gamma_o = \frac{A_o + B_o Y_0 - C_o Z_0 - D_o}{A_o + B_o Y_0 + C_o Z_0 + D_o}$$

$$T_o = \frac{2}{A_o + B_o Y_0 + C_o Z_0 + D_o}$$

เมื่อ

| | |
|-----------------|--|
| Y_0, Y_1, Y_2 | คือค่าแอดมิตเตนซ์คุณลักษณะของสายนำสัญญาณ |
| Z_0, Z_1, Z_2 | คือค่าอิมพีเดนซ์คุณลักษณะของสายนำสัญญาณ |
| Γ_o | คือค่าสัมประสิทธิ์การสะท้อนในโหนดคี่ |
| T_o | คือค่าสัมประสิทธิ์การส่งผ่านในโหนดคี่ |

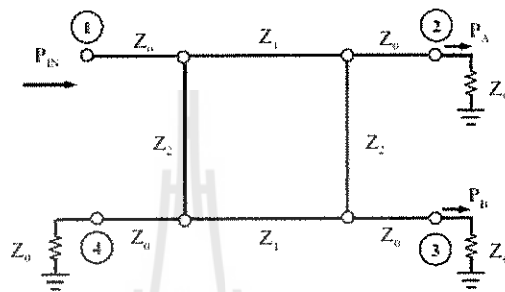
จากนี้นำห้องสมการมาทำการทับซ้อน (superposition) จะสามารถหาค่า S-Parameter ได้โดย

$$S_{12} = S_{21} = \frac{1}{2} T_c + \frac{1}{2} T_o$$

$$S_{31} = \frac{1}{2} T_c + \frac{1}{2} T_o$$

$$S_{13} = S_{31} = \frac{1}{2} T_c + \frac{1}{2} T_o$$

$$S_{14} = S_{41} = \frac{1}{2} T_c + \frac{1}{2} T_o$$



รูปที่ 2.6 การวิเคราะห์การแบ่งกำลังงานของบранช์ไอบริดจ์คัปเบลลอร์

โดยปกติแล้ววงจรบранช์ไอบริดจ์คัปเบลลอร์เมื่อจ่ายอินพุตเข้าที่พอร์ต 1 จะถูกแบ่งออกเป็นสองส่วนมาออกที่เอาต์พุต พอร์ต 2 และพอร์ต 3 ในสัดส่วนที่เท่ากัน แต่หากต้องการให้กำลังงานที่เอาต์พุตออกมากไม่เท่ากันก็สามารถทำได้คือ กรณีที่ต้องการให้กำลังงานออกมากที่เอาต์พุตไม่เท่ากันสามารถออกแบบวงจรได้โดยการหาค่าอิมพีเดนซ์คุณลักษณะของส่วนประกอบของบранช์ไอบริดจ์คัปเบลลอร์ได้โดยพิจารณาปุ่มที่ 2.6

จากรูปที่ 2.6 เมื่อทำการป้อนสัญญาณอินพุตเข้าที่พอร์ต 1 สัญญาณจะถูกแบ่งกำลังงานไปออกที่พอร์ตเอาต์พุต พอร์ต 2 และพอร์ต 3 โดยที่เราสามารถหาค่าอิมพีเดนซ์คุณลักษณะของแต่ละส่วนประกอบได้จาก

$$Z_1 = Z_0 \sqrt{\frac{P_A / P_B}{1 + P_A / P_B}}$$

$$Z_2 = Z_0 \sqrt{P_A / P_B}$$

เมื่อ P_A คือกำลังงานเอาต์พุตที่ปราภูมิที่พอร์ต 2 มีหน่วยเป็นวัตต์

P_B คือกำลังงานเอาต์พุตที่ปราภูมิที่พอร์ต 3 มีหน่วยเป็นวัตต์ [5]

2.5 พารามิเตอร์การส่งผ่าน

พารามิเตอร์การส่งผ่านที่จะพิจารณาสำหรับวงจรของความถี่สูง ซึ่งจะถูกพิจารณาเป็นโครงข่ายแบบสองพอร์ต (two-port network) ดังแสดงในรูปที่ 2.7 ประกอบด้วย

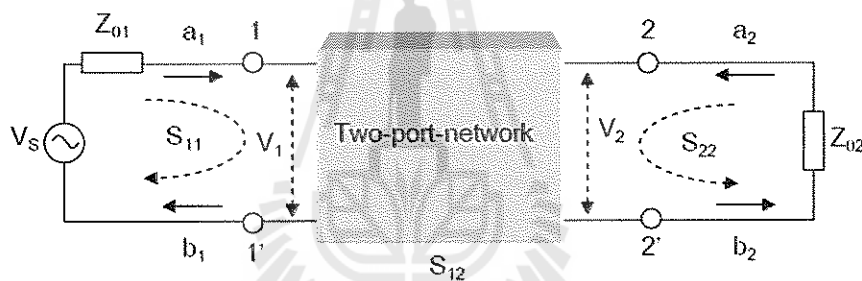
2.5.1 ค่าสัมประสิทธิ์การสะท้อนกลับทางค้านพอร์ตอินพุต หรือค่า S_{11} (return loss)

2.5.2 ค่าสัมประสิทธิ์การส่งผ่านจากพอร์ตอินพุตสู่พอร์ตเอาต์พุต หรือค่า S_{21} (insertion loss)

2.5.3 ค่าสัมประสิทธิ์การส่งผ่านจากพอร์ตเอาต์พุตสู่พอร์ตอินพุต หรือค่า S_{12}

2.5.4 ค่าสัมประสิทธิ์การสะท้อนกลับทางค้านเอาต์พุต หรือค่า S_{22}

โดยปกติจะพิจารณาค่าสัมประสิทธิ์การสะท้อนกลับทางค้านพอร์ตอินพุต หรือค่า S_{11} (return loss) และค่าสัมประสิทธิ์การส่งผ่านจากพอร์ตอินพุตสู่พอร์ตเอาต์พุต หรือค่า S_{21} (insertion loss) เป็นสำคัญ



รูปที่ 2.7 โครงข่ายแบบสองพอร์ตและค่าสัมประสิทธิ์การส่งผ่าน

กับค่าสัมประสิทธิ์การสะท้อนกลับ

$$S_{11} = \left. \frac{b_1}{a_1} \right|_{a_2=0} \quad S_{12} = \left. \frac{b_1}{a_2} \right|_{a_1=0} \quad (2-21 \text{ น})$$

$$S_{21} = \left. \frac{b_2}{a_1} \right|_{a_2=0} \quad S_{22} = \left. \frac{b_2}{a_2} \right|_{a_1=0} \quad (2-21 \text{ บ})$$

เมื่อ $a_n = 0$ ในกรณีที่อินพุตเดนซ์สมดุลกัน และไม่มีการสะท้อนกลับของคลื่น ณ ที่พอร์ต n ดังนี้ จะสามารถเขียนในรูปสมการของเมตริกซ์ได้ว่า

$$\begin{bmatrix} b_1 \\ b_2 \end{bmatrix} = \begin{bmatrix} S_{11} & S_{12} \\ S_{21} & S_{22} \end{bmatrix} \begin{bmatrix} a_1 \\ a_2 \end{bmatrix} \quad (2-22)$$

สำหรับพารามิเตอร์ S_{11} และ S_{22} ต่างก็เป็นสัมประสิทธิ์การสะท้อนกลับ โดยที่ S_{12} และ S_{21} เป็นสัมประสิทธิ์การส่งผ่านดังที่ได้กล่าวมาแล้วในตอนต้น ซึ่งค่าพารามิเตอร์เหล่านี้เป็นค่าที่ใช้ในการพิจารณาสำหรับวงจรที่ใช้งานในย่านความถี่ไมโครเวฟโดยเฉพาะ โดยจะพิจารณาในด้านของค่าขนาดและเฟส นั่นคือ $S_{mn} = |S_{mn}|e^{j\phi_{mn}}$ เมื่อ m และ n มีค่าดังนี้ $1, 2, \dots$ ในขณะที่ค่าทางขนาดมักพิจารณาในหน่วยของเดซิเบลจาก

$$20 \log |S_{mn}| \quad (2-23)$$

โดยค่าพารามิเตอร์การส่งผ่าน (insertion loss) ระหว่างพอร์ต n และ m จะนิยามว่าเป็น L_A และค่าพารามิเตอร์การสะท้อนกลับ (return loss) ที่พอร์ต n จะนิยามด้วย L_R ดังสมการ

$$L_A = -20 \log |S_{nm}| \quad \dots m = n \quad (2-24)$$

$$L_R = 20 \log |S_{nn}|$$

โดยค่าพารามิเตอร์การสะท้อนกลับมีความสัมพันธ์กับอัตราส่วนแรงดันคลื่นนิ่ง (VSWR; voltage standing wave ratio) ดังสมการ

$$VSWR = \frac{1 + |S_{nn}|}{1 - |S_{nn}|} \quad (2-25)$$

นอกจากพารามิเตอร์การส่งผ่านที่ใช้ในการพิจารณาเพื่อการออกแบบวงจรรองผ่านแล้วความถี่ในย่านไมโครเวฟแล้ว ยังมีพารามิเตอร์ที่สำคัญอีกค่าหนึ่งที่มีผลอย่างยิ่งต่อการพิจารณา นั่นคือ เฟสห่วง (phase delay, τ_p) ซึ่งเป็นความแตกต่างระหว่างเฟสของคลื่นทางพอร์ต อินพุตกับเฟสของคลื่นทางพอร์ตเอาต์พุต

$$\tau_p = \frac{\phi_{21}}{\omega} \quad (2-26 \text{ ก})$$

และกลุ่มหน่วง (group delay, τ_d) ซึ่งเป็นการพิจารณาความแตกต่างของเฟสเช่นเดียวกับ ในกรณีของเฟสหน่วง แต่ค่าที่ทางด้านอินพุตจะมีลักษณะเป็นแบบแนวนอน โดยที่พอร์ต 1 เป็นพอร์ตทางด้านอินพุตและพอร์ต 2 เป็นพอร์ตทางด้านเอาต์พุต

$$\tau_d = \frac{d\phi_{21}}{d\omega} \quad (2-26 \text{ ข})$$

ในการวิเคราะห์โครงข่ายแบบสองพอร์ต สามารถพิจารณาตามมิตอร์การสะท้อนกลับทางด้านอินพุต (S_{11}) ร่วมกับค่าอิมพีเดนซ์ทางด้านอินพุต (Z_{01}) หรือ แทนด้วย $Z_m = V_1/I_1$ เพื่อกับสมการที่ (2-21 ก) ได้ว่า

$$S_{11} = \left. \frac{b_1}{a_1} \right|_{a_2=0} = \frac{V_1 / \sqrt{Z_{01}} - I_1 \sqrt{Z_{01}}}{V_1 / \sqrt{Z_{01}} + I_1 \sqrt{Z_{01}}} \quad (2-27 \text{ ข})$$

เมื่อแทนค่า V_1 ด้วย $Z_{in1} I_1$ จึงได้สมการใหม่เป็น

$$S_{11} = \frac{Z_{m1} - Z_{01}}{Z_{m1} + Z_{01}} \quad (2-27 \text{ ก})$$

ในทำนองเดียวกัน จะได้พารามิตอร์การสะท้อนกลับทางด้านเอาต์พุตดังสมการที่ (2-27 ข) โดยที่ Z_{in2} มีค่าเท่ากับ V_2 / I_2 ซึ่งเป็นอิมพีเดนซ์ทางด้านอินพุต หากพิจารณา ทางด้านพอร์ต 2 เป็นพอร์ตทางด้านอินพุต

$$S_{22} = \frac{Z_{m2} - Z_{02}}{Z_{m2} + Z_{02}} \quad (2-27 \text{ ข})$$

ค่าพารามิตอร์การสะท้อนกลับ และพารามิตอร์การส่งผ่านมีประโยชน์อย่างมากต่อ การวิเคราะห์โครงข่าย ซึ่งหากเป็นโครงข่ายแบบสมมาตรจะได้ว่า $S_{12} = S_{21}$ และ $S_{11} = S_{22}$ และในกรณีที่เป็นโครงข่ายแบบพาสซีฟที่ไม่มีการสูญเสียของคลื่นจะได้ว่ากำลังในการส่งผ่านกับกำลังในการสะท้อนกลับของคลื่นจะต้องเท่ากับกำลังส่งทั้งหมดที่ป้อนเข้าไปในโครงข่าย ดังนั้นจึงได้สมการ [6]

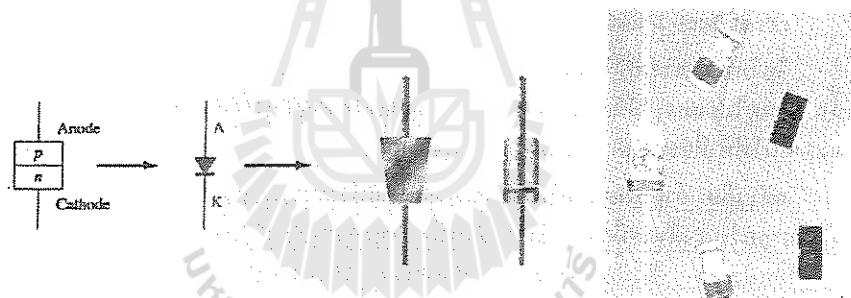
$$S_{21}S_{21}^* + S_{11}S_{11}^* = 1 \quad \text{หรือ} \quad |S_{21}|^2 + |S_{11}|^2 = 1 \quad (2-28)$$

$$S_{12}S_{12}^* + S_{22}S_{22}^* = 1 \quad \text{หรือ} \quad |S_{12}|^2 + |S_{22}|^2 = 1$$

2.6 ไคโอด

ไคโอดเป็นส่วนสำคัญส่วนหนึ่งของวงจรอิเลคทรอนิกส์ที่นำไปในสมัยก่อน ไคโอดมักจะเป็นแบบหลอดสูญญากาศ ปัจจุบันความก้าวหน้าทางเทคโนโลยีเป็นไปอย่างรวดเร็วทำให้สิ่งประดิษฐ์นิดใหม่ ซึ่งทำด้วยสารกึ่งตัวนำได้เข้ามาแทนที่หลอดสูญญากาศ ไคโอดที่ทำมาจากสารกึ่งตัวนำมีสองข้อและมีขนาดเล็กใช้งานได้ง่าย [7]

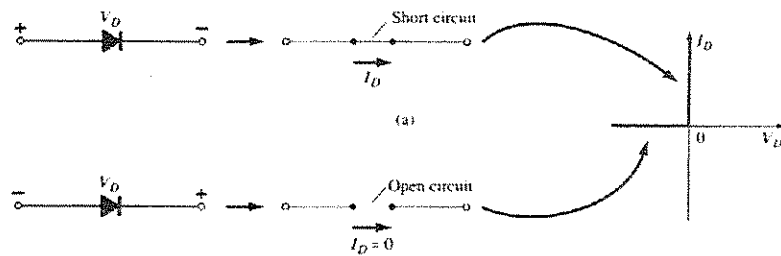
ไคโอด เป็นอุปกรณ์ที่ทำการกรองตัวนำ p-n สามารถควบคุมให้กระแสไฟฟ้าจากภายนอกไหลผ่านตัวมันได้ทิศทางเดียว ไคโอดประกอบด้วยขั้ว 2 ขั้ว คือ แอดโนด (anode ; A) ซึ่งต่ออยู่กับสารกึ่งตัวนำชนิด p และ แค็โธด (cathode ; K) ซึ่งต่ออยู่กับสารกึ่งตัวนำชนิด n ดังรูปที่ 2.8



รูปที่ 2.8 แสดงขั้วของไคโอด 2 ขั้ว ซึ่งต่ออยู่กับสารกึ่งตัวนำ

2.6.1 ไคโอดในทางอุณหคติ (ideal diode)

ไคโอดในอุณหคตินี้ลักษณะเหมือนสวิทช์ที่สามารถนำกระแสไฟฟ้าผ่านได้ในทิศทางเดียว

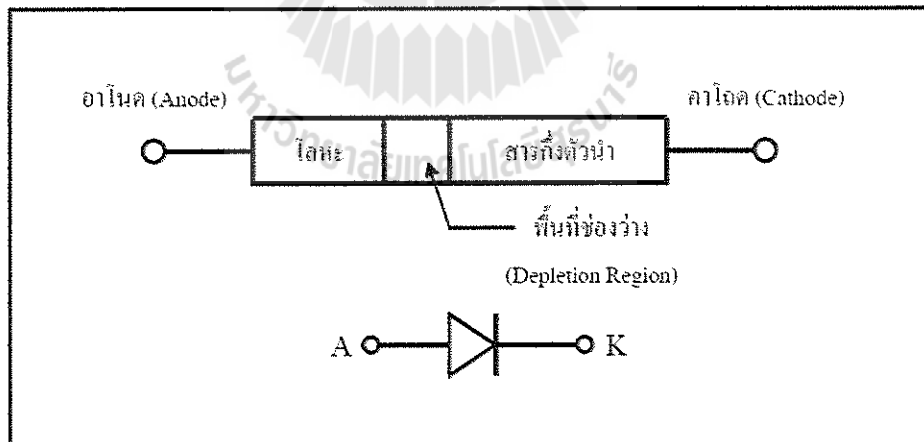


รูปที่ 2.9 การทำงานของไดโอดเมื่อต่อขั้วแบตเตอรี่

จากรูปที่ 2.9 จากภาพถ้าต่อขั้วแบตเตอรี่ให้เป็นแบบไนแอสตรง ไดโอดจะเปรียบเสมือนกับสวิตช์ที่ปิด (close switch) หรือไดโอดลัดวงจร (short circuit) I_D ในกรณีไดโอดได้แต่ถ้าต่อขั้วแบตเตอรี่แบบไนแอสกัลับ ไดโอดจะเปรียบเป็นเสมือนสวิตช์เปิด (open switch) หรือเปิดวงจร (open switch) ทำให้ I_D เท่ากับศูนย์ [8]

2.6.2 คุณลักษณะของไดโอด

ของที่ไดโอดมีโครงสร้างเป็นหน้าตั้มผัสโลหะที่ปลายข้างหนึ่ง เรียกว่าเป็น แอดโนด (anode) ส่วนปลายอีกด้านหนึ่งจะต้องอยู่กับสารกึ่งตัวนำ เรียกว่าเป็น แคโทด (cathode) โครงสร้างของของที่ไดโอดแสดงดังรูปที่ 2.10 [9]



รูปที่ 2.10 โครงสร้างของของที่ไดโอด

บทที่ 3

การจัดตั้งแบบนวนคณพิวเตอร์โปรแกรม CST MICROWAVE STUDIO

3.1 บทนำ

ในบทที่ 3 นี้จะเป็นการแนะนำการใช้โปรแกรม CST MICROWAVE STUDIO เมื่อต้นเพื่อให้มีความรู้ความเข้าใจในการใช้โปรแกรมอย่างถูกวิธีและให้รู้หลักการสร้างแบบจำลองรวมถึงวิธีการ ประมวลผลเพื่อวิเคราะห์ค่าต่างๆ ดูค่าประสงค์เพื่อให้เป็นแนวทางสำหรับผู้ที่ต้องการจะศึกษาและใช้โปรแกรม CST MICROWAVE STUDIO ได้เข้าใจในโปรแกรมมากขึ้น

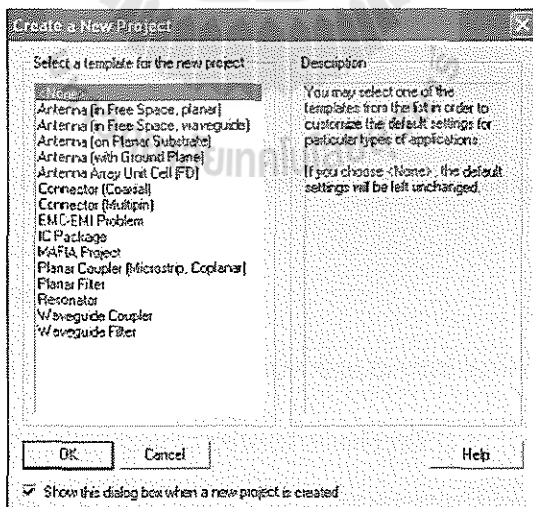
3.2 CST MICROWAVE STUDIO

3.2.1 การเริ่มสร้างแบบจำลอง

- เมื่อเปิดโปรแกรม CST MICROWAVE STUDIO แล้วให้เลือกที่

เมนู File → New

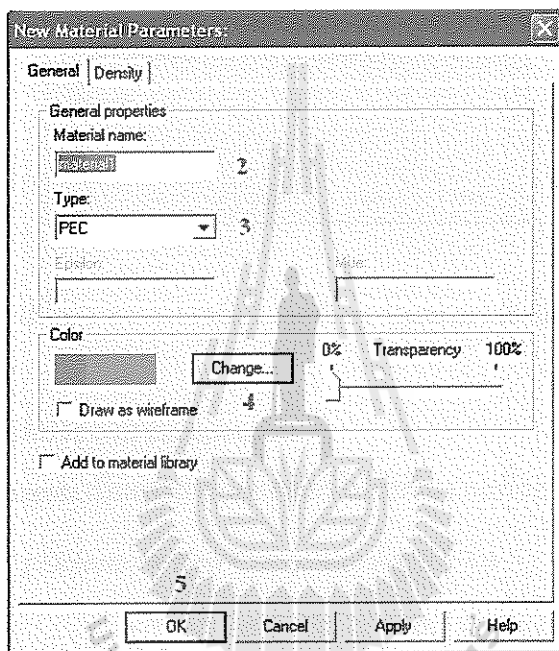
- จากนั้นจะขึ้นหน้าต่าง ดังรูปที่ 3.1 เป็นการสร้าง templates ให้กับชิ้นงาน โดยอัตโนมัติซึ่งจะมีแบบให้เลือกแล้วแต่ความต้องการ หากไม่ต้องกำหนดให้เลือก None และเลือก OK



รูปที่ 3.1 หน้าต่างของ Create a New Project

3.2.2 การสร้างวัสดุ Material

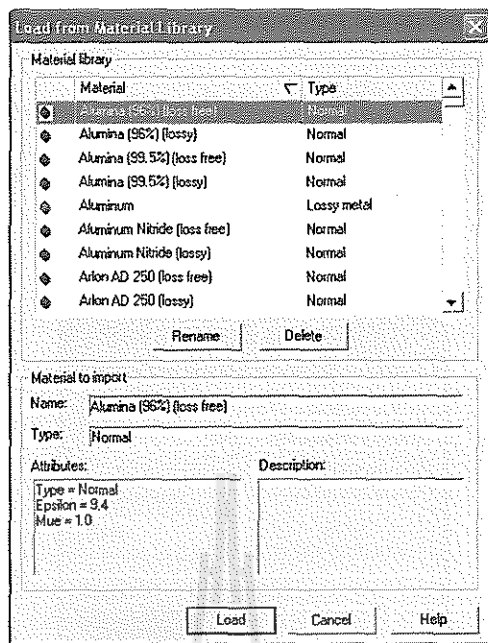
1. เลือกเมนู Solve → Materials → New Materials จะขึ้นหน้าต่างดังรูปที่ 3.2
2. ตั้งชื่อให้กับวัสดุ
3. กำหนด ชนิดของวัสดุ (PEC, Normal, Anisotropic และ Lossy Metals)
4. เลือกสีให้กับวัสดุ
5. เลือก OK



รูปที่ 3.2 หน้าต่างของ New Material Parameters

3.2.3 Load from Material Library

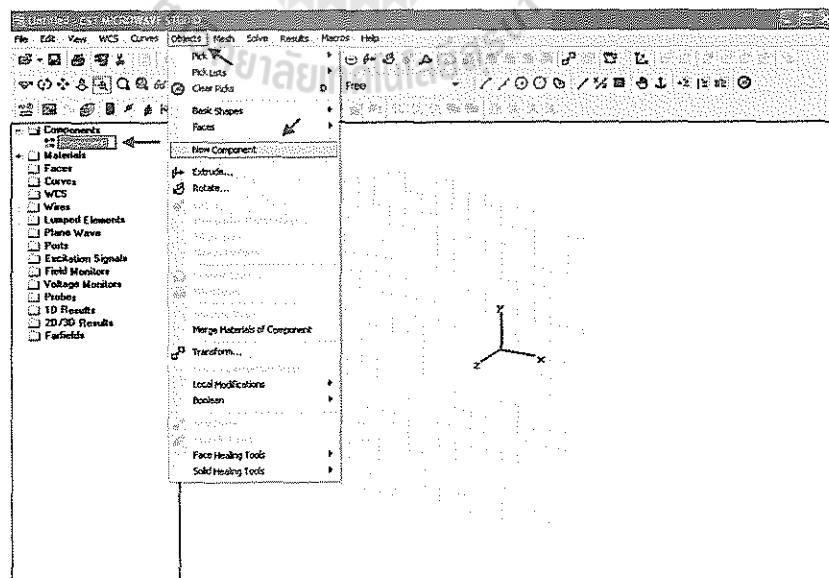
1. โปรแกรม CST มีข้อมูลของวัสดุบางชนิด ซึ่งสามารถนำมาใช้ได้ เลือก Solve → Materials → Load from Material Library จะขึ้นหน้าต่างดังรูปที่ 3.3
2. เลือก วัสดุที่ต้องการ จะเห็นว่าแต่ละชนิดจะมีค่าคุณสมบัติให้อัตโนมัติ
3. เลือก OK



รูปที่ 3.3 หน้าต่างของ Load from Material Library

3.2.4 การสร้างองค์ประกอบ Components

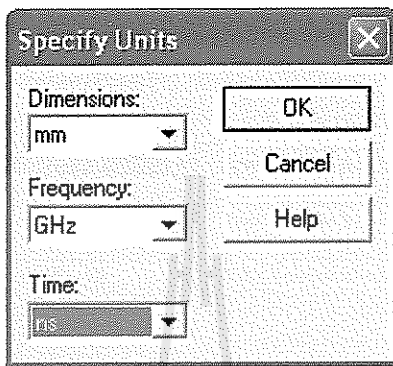
การสร้าง Components เป็นการกำหนดเดียร์ร์ให้กับชิ้นงานเพื่อความสะดวกในการสร้างงาน แต่ละชิ้น โดยเลือกเมนู Objects → New Component ดังรูปที่ 3.4



รูปที่ 3.4 การสร้าง Components

3.2.5 การกำหนดหน่วย Units

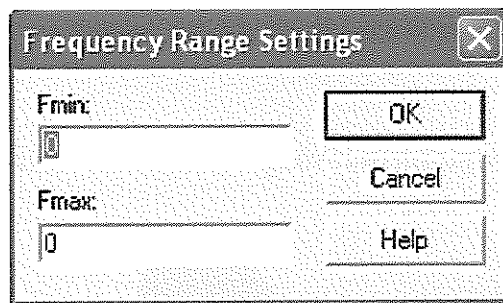
1. เลือกเมนู Solve → Units หรือกดที่เครื่องมือ  (Set units) จะขึ้นหน้าต่างดังรูปที่ 3.5
2. เลือก Dimensions ความถี่และเวลาที่ต้องการ
3. เลือก OK



รูปที่ 3.5 หน้าต่างของ Specify Units

3.2.6 การกำหนดความถี่ Frequency

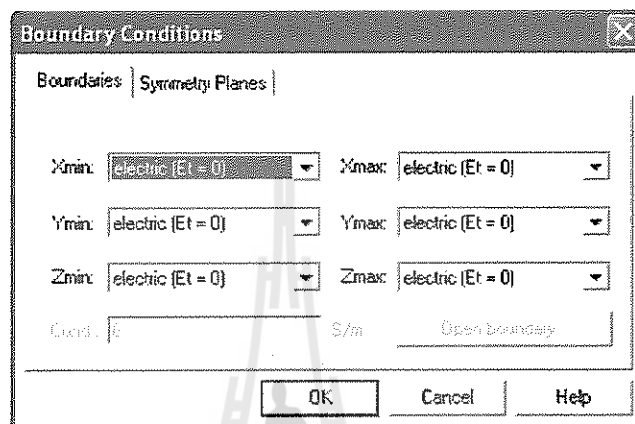
1. หลังจากสร้างชิ้นงานแล้วจะสามารถกำหนดความถี่ได้โดยเลือกเมนู Solve → Frequency หรือกดที่เครื่องมือ  (Frequency rang) จะขึ้นหน้าต่างดังรูปที่ 3.6
2. กำหนด ความถี่เริ่มต้น F_{min} และ ความถี่สูงสุด F_{max} ค่าของความถี่ที่คั่งไว้จะตั้งค่า Signal Monitors โดยอัตโนมัติ



รูปที่ 3.6 หน้าต่างของ Frequency Range Settings

3.2.7 การกำหนดขอบเขต Boundary Conditions

1. เลือกเมนู Solve → Boundary Conditions หรือกดที่เครื่องมือ  (Specify boundary conditions) จะขึ้นหน้าต่างดังรูปที่ 3.7
2. เลือกขอบเขตตามที่ต้องการ



รูปที่ 3.7 หน้าต่างของ Boundary Conditions

Electric: ค่าสนามไฟฟ้าของด้านที่เลือก ถูกกำหนดให้เป็นศูนย์ มีสัญลักษณ์ดังรูปที่ 3.7 ก



รูปที่ 3.7 ก Electric

Magnetic: ค่าสนามแม่เหล็กของด้านที่เลือก ถูกกำหนดให้เป็นศูนย์ ดังรูปที่ 3.7 ข



รูปที่ 3.7 ข Magnetic

Open (PML): เสมือนเป็นอากาศว่าง Free Space คลื่นสามารถผ่านไปได้ ดังรูปที่ 3.7 ค



รูปที่ 3.7 ก Open (PML)

Open (add space): เหมือน Open (PML) แต่จะเพิ่มระยะสำหรับการคำนวณ far field การกำหนดแบบนี้ส่วนมากใช้ในการสร้างสายอากาศ ดังรูปที่ 3.7 ง



รูปที่ 3.7 ง Open (add space)

Periodic: เป็นการซ่อนขอบเขตด้านตรงข้ามเข้าด้วยกัน ดังรูปที่ 3.7 จ



รูปที่ 3.7 จ Periodic

Conducting Wall: เสมือนเป็นผนังของวัสดุโลหะแบบ lossy ดังรูปที่ 3.7 ฉ



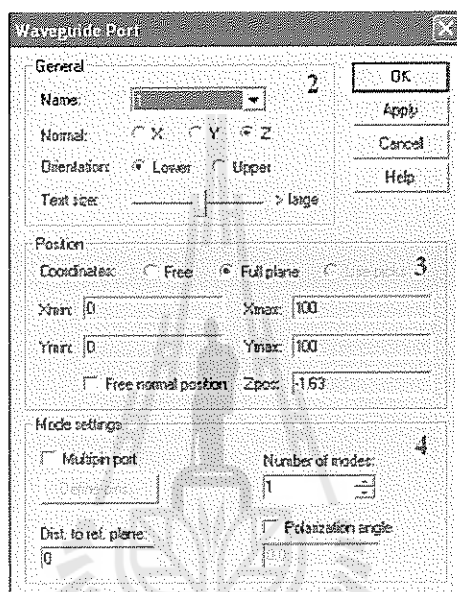
รูปที่ 3.7 ฉ Conducting Wall

3.2.8 การป้อนพลังงานโดยการกำหนดพอร์ต

การกำหนดทำได้ 2 วิธี คือ Waveguide Port และ Discrete Port

ก) Waveguide Port

- เลือกเมนู Solve → Waveguide Port หรือเลือกเครื่องมือ  (Waveguide port) จะขึ้นหน้าต่างดังรูปที่ 3.8



รูปที่ 3.8 หน้าต่างของ Waveguide Port

- ส่วนของ General – Normal สามารถเลือกระนาบ X, Y และ Z ที่ต้องการป้อนพอร์ตให้ Orientation เป็นการกำหนดกระนาบให้อยู่ด้านใดของกระนาบนั้น

3. ส่วนของ Position – Coordinates

- Free: หากเลือก Normal กระนาบใด เราจะกำหนดความกว้างยาวของพอร์ตอีก 2 กระนาบดังนี้

Normal Edit fields

X Ymin, Ymax, Zmin, Zmax

Y Xmin, Xmax, Zmin, Zmax

Z Xmin, Xmax, Ymin, Ymax

Full plane : หากเลือกคำสั่งนี้ ไม่จำเป็นต้องกำหนดค่า เพราะจะสั่งให้ทั้งกระนาบนั้นเป็นการป้อนพอร์ตทั้งหมด

Free normal position: กำหนดกระบวนการวางแผนพอร์ต

4. ส่วนของ Mode Setting เป็นการสร้างจุดอ้างอิงของพอร์ต

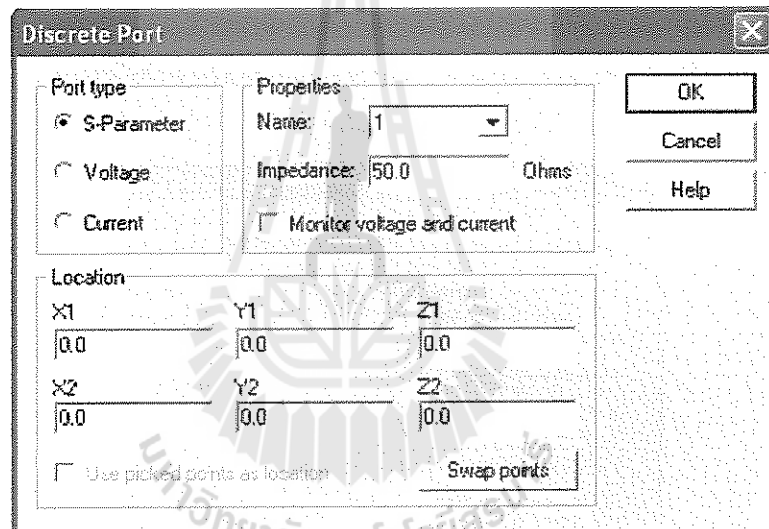
5. เลือก OK

v) Discrete Port

การสร้างพอร์ตแบบนี้ใช้หลักการสร้างจากจุดหนึ่งถึงอีกจุดหนึ่ง โดยระหว่างพอร์ตทั้งสองไม่มีเนื้อของชิ้นงานแรกอยู่

1. เลือกเมนู Solve → Discrete Port หรือเลือกเครื่องมือ  (Discrete port)

จะขึ้นหน้าต่างดังรูปที่ 3.9



รูปที่ 3.9 หน้าต่างของ Discrete Port

1. ส่วนของ Port type เป็นการกำหนดค่าตามเพื่อการประมวลผล

S - Parameter – อ้างอิงโดยให้พอร์ตที่ป้อนเป็น 50 โอมห์

Voltage – อ้างอิงโดยป้อนแรงดันให้กับพอร์ตตามที่กำหนด

Current – อ้างอิงโดยป้อนกระแสให้กับพอร์ตตามที่กำหนด

2. ส่วนของ location เป็นการกำหนดจุดที่ต้องการในการป้อนพลังงาน โดยรูปแบบของ discrete port จะเป็นดังรูปที่ 3.10



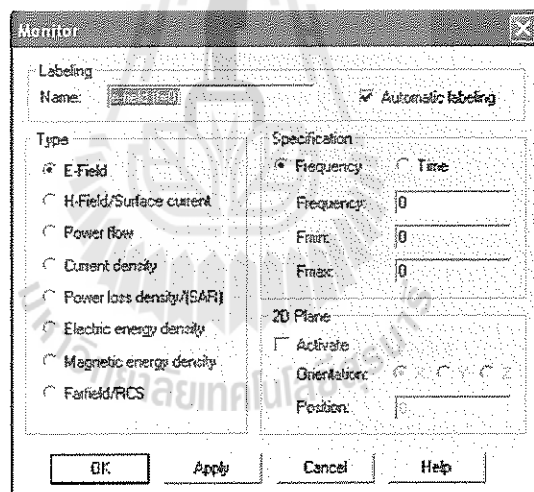
รูปที่ 3.10 รูปแบบของ Discrete Port

3.2.9 การกำหนด Field Monitors

ก่อนที่จะทำการประมวลผลจะต้อง เลือกว่าจะดูผลแบบใดบ้าง

1. เลือกเมนู Solve → Field Monitors จะขึ้นหน้าต่างดังรูปที่ 3.10
2. เลือก Type ที่ต้องการจะดูการประมวลผล
3. เลือก OK

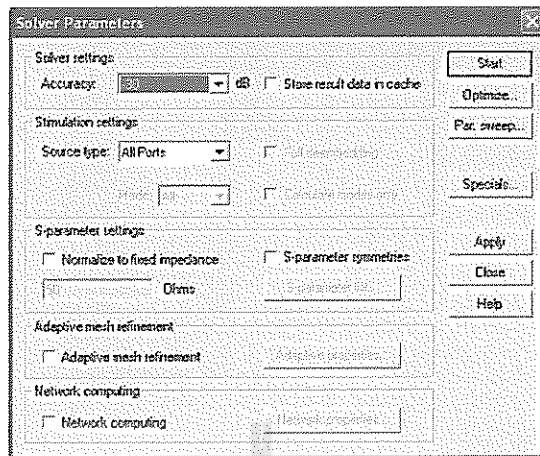
ในการตั้งค่า Field Monitors สามารถกำหนด type ได้หลายตัว



รูปที่ 3.10 รูปของหน้าต่าง Monitor

3.2.10 การประมวลผล

1. เลือกเมนู Solve → transient Solver จะขึ้นหน้าต่างดังรูปที่ 3.11
2. กำหนด Accuracy ขึ้นอยู่กับสายอาทิตย์ที่ออกแบบมา
3. เลือก Run



รูปที่ 3.11 หน้าต่างของ Solver Parameters

3.2.11 การสร้างรูปทรงพื้นฐาน (Basic Shape Creation)

การสร้างรูปทรงพื้นฐานต่างๆ ในโปรแกรม CST มีดังนี้

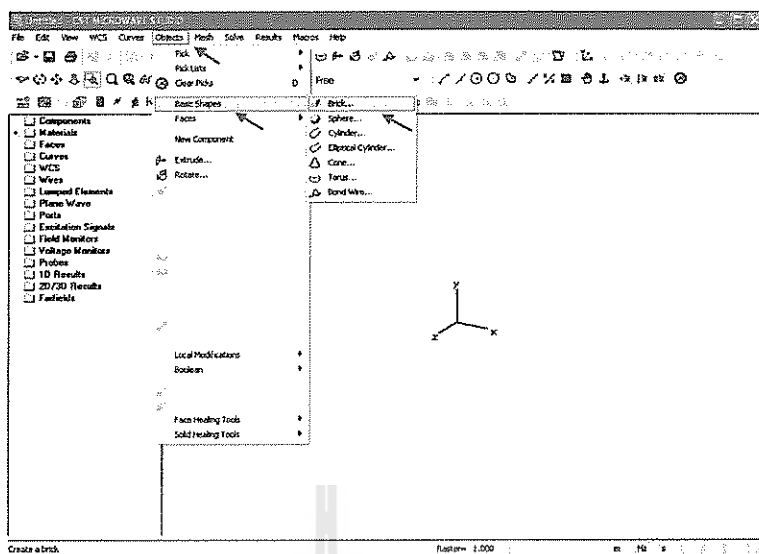
-  Object → Basic Shapes → Brick
-  Object → Basic Shapes → Sphere
-  Object → Basic Shapes → Cylinder
-  Object → Basic Shapes → Elliptical Cylinder
-  Object → Basic Shapes → Cone
-  Object → Basic Shapes → Torus

ก) การสร้างรูปทรงสี่เหลี่ยม (Brick)

วิธีที่ 1 ไปที่ main menu แล้วทำงานขั้นตอนดังนี้ ตามรูปที่ 3.12

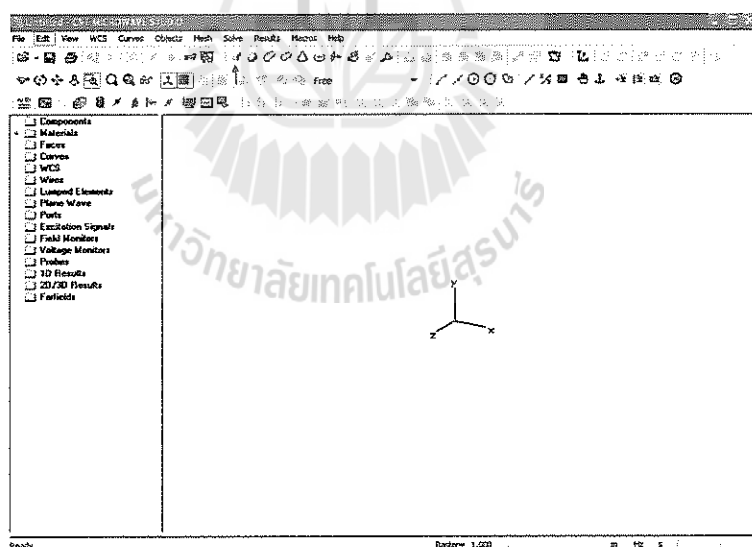


Object → Basic Shapes → Brick



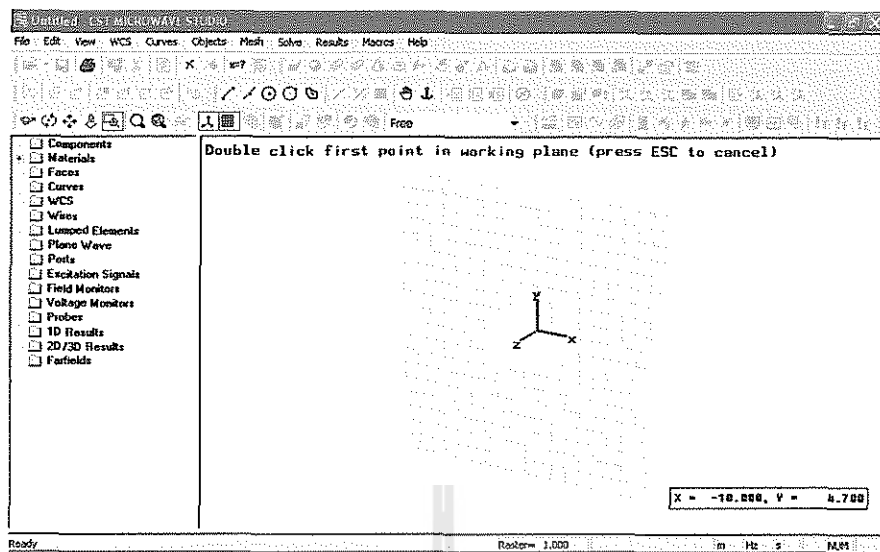
รูปที่ 3.12 การใช้คำสั่งในการสร้างรูปทรงสี่เหลี่ยม

วิธีที่ 2 ไปที่ Objects toolbar คลิกที่รูปสี่เหลี่ยม (Create brick) ตามรูปที่ 3.13

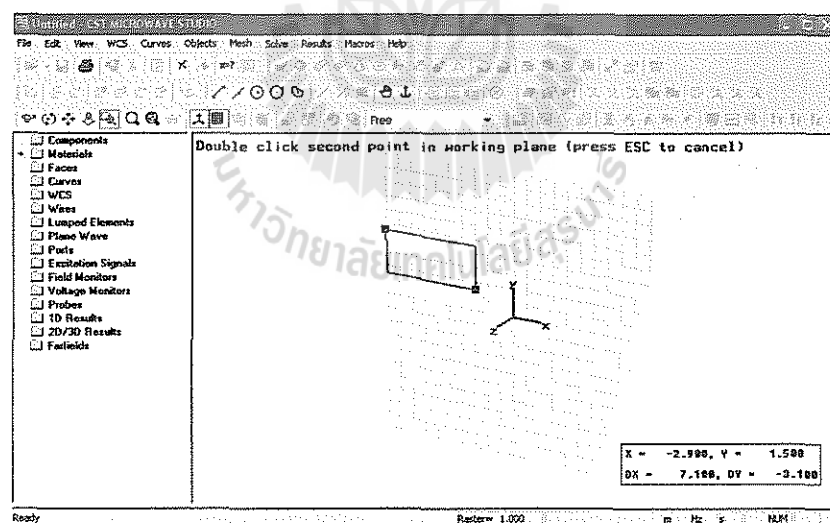


รูปที่ 3.13 การใช้คำสั่งในการสร้างรูปทรงสี่เหลี่ยมโดยทางลัด

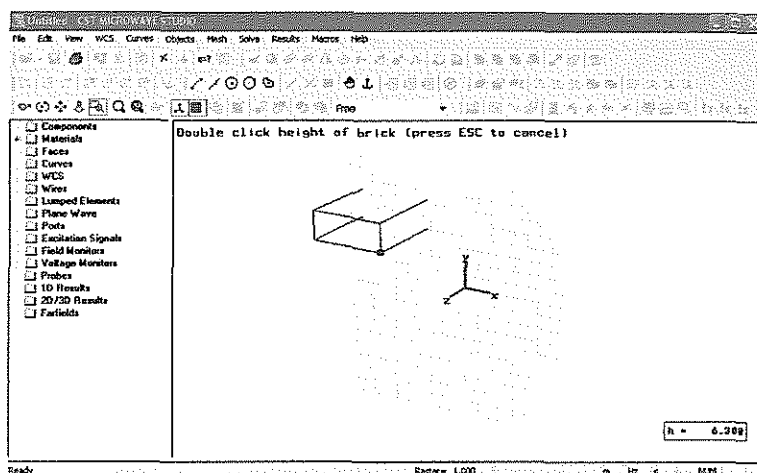
จากทั้ง 2 วิธี จะได้หน้าต่าง ดังรูปที่ 3.14



รูปที่ 3.14 หน้าต่างของการสร้างรูปทรงสี่เหลี่ยม
จากนั้นทำการขั้นตอนดังต่อไปนี้
1. ดับเบิลคลิกหนึ่งครั้งบนพื้นที่ว่างแล้วลากเมาส์ออกไปจะได้รูปสี่เหลี่ยม
ดังรูปที่ 3.15



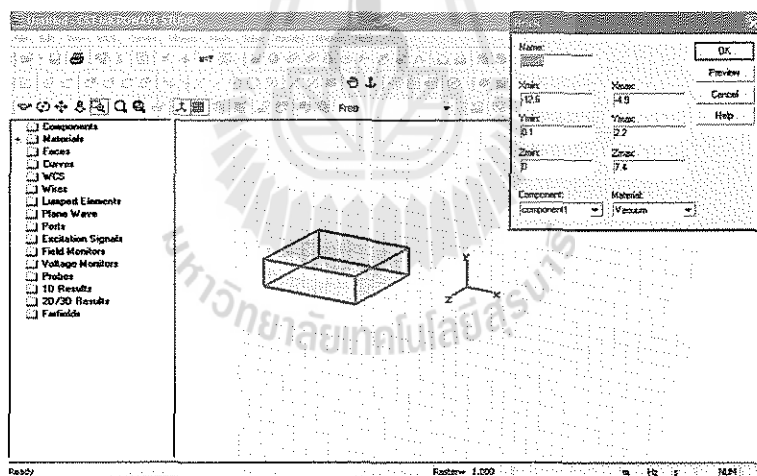
รูปที่ 3.15 รูปสี่เหลี่ยมที่ได้จากการสร้างในขั้นตอนที่ 1
2. ดับเบิลคลิกอีกหนึ่งครั้งแล้วลากเมาส์ออกไปจะได้รูปทรงของกล่องสี่เหลี่ยม
ดังรูปที่ 3.16



รูปที่ 3.16 รูปทรงของกล่องสีเหลี่ยมที่ได้จากการสร้างในขั้นตอนที่ 2

3. ดับเบิลคลิกอีกหนึ่งครั้งจะได้รูปกล่องสีเหลี่ยมและมีหน้าต่างที่ชื่อ Brick

^{ขั้นตอนที่ 3.17}

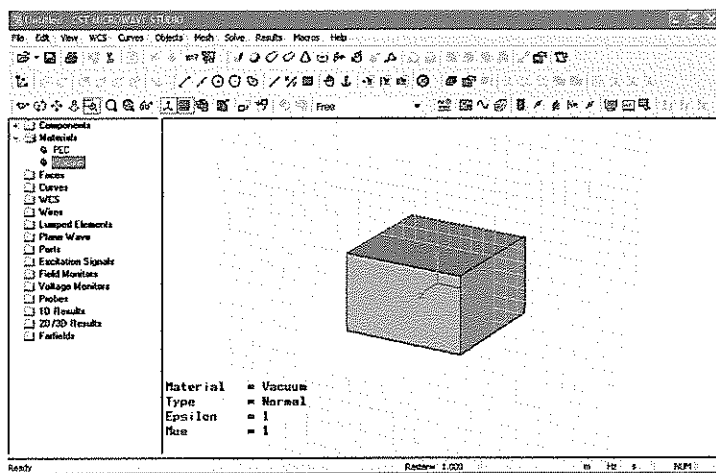


รูปที่ 3.17 แสดงรูปกล่องสีเหลี่ยมและหน้าต่างที่ชื่อ Brick

ซึ่งได้จากขั้นตอนที่ 3

4. ตั้งชื่อในช่อง Name กำหนดค่าต่างๆให้ครบ ส่วนตรงช่อง Component ก็ป Material ให้เลือกว่าจะเอาอะไรตามที่ได้กำหนดไว้ตั้งแต่ตอนต้น

5. คลิกที่ OK ก็จะได้รูปกล่องสีเหลี่ยมที่มีขนาดตามที่ได้กำหนดค้างรูปที่ 3.18



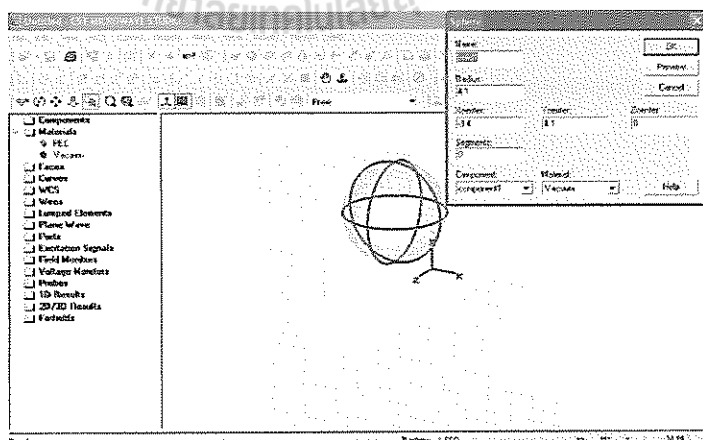
รูปที่ 3.18 กล่องสี่เหลี่ยมที่มีขนาดตามที่ได้กำหนด

๑) การสร้างรูปทรงกลม (Sphere)

การสร้างรูปทรงกลมมี 2 วิธี เช่นเดียวกันกับการสร้างรูปทรงสี่เหลี่ยม แต่เลือกคำสั่งจาก Main menu ดังนี้

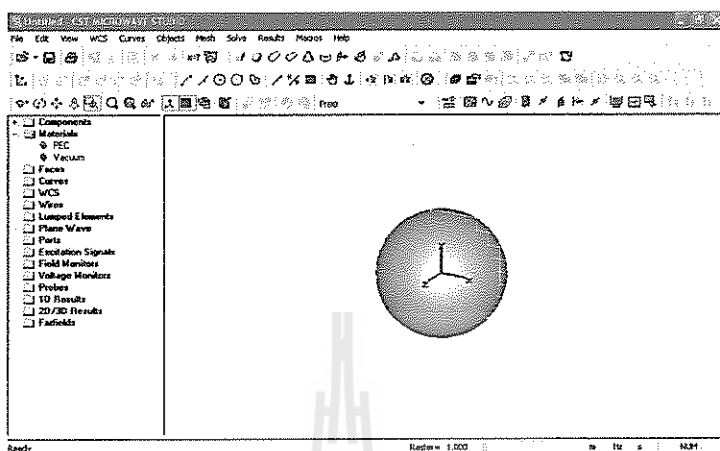


แล้วทำการกำหนดค่าในหน้าต่างที่ชื่อ Sphere ดังรูปที่ 3.19



รูปที่ 3.19 รูปร่างของทรงกลมและหน้าต่างในการกำหนดค่าพารามิเตอร์ของทรงกลม

จากนั้นก็ทำเช่นเดียวกันกับการสร้างรูปทรงสี่เหลี่ยม จะได้รูปทรงกลมออกมานิดนึงตามรูปที่ 3.20



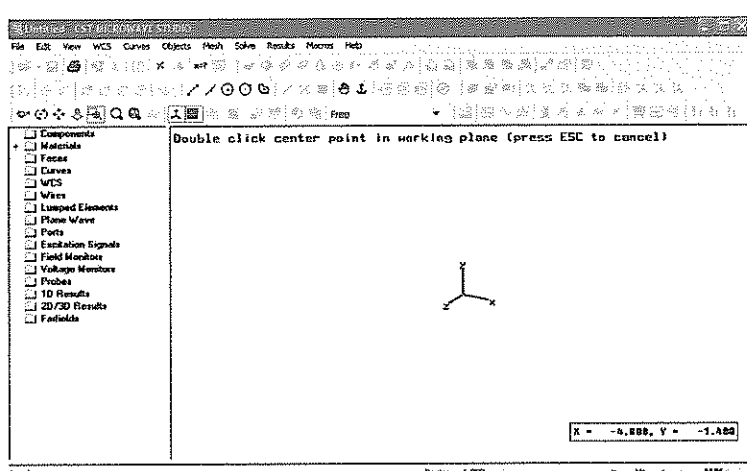
รูปที่ 3.20 รูปทรงกลมที่ได้หลังจากการกำหนดค่าพารามิเตอร์เสร็จแล้ว

ค) การสร้างรูปทรงระบบออก (Cylinder)

การสร้างรูปทรงระบบออก มี 2 วิธี เช่นเดียวกันกับการสร้างรูปทรงสี่เหลี่ยม แต่เลือกคำสั่งจาก main menu ดังนี้

Object → Basic Shapes → Cylinder

เมื่อเข้าไปตามคำสั่งนี้แล้วจะได้หน้าต่างดังรูปที่ 3.21

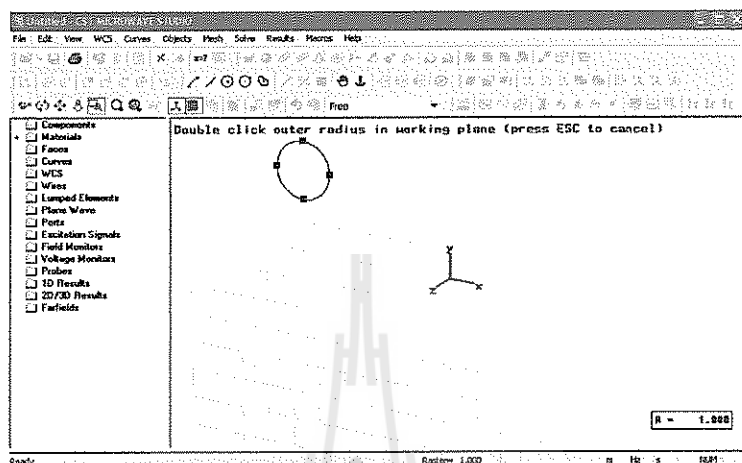


รูปที่ 3.21 หน้าต่างของการสร้างรูปทรงระบบออก

จากนั้นให้ทำการสร้างรูปทรงในขั้นตอนดังนี้

1. ดับเบิลคลิกที่พื้นที่ว่างหนึ่งครั้งแล้วลากเม้าส์ออกไปจะได้รูปทรงกรอบดังรูปที่

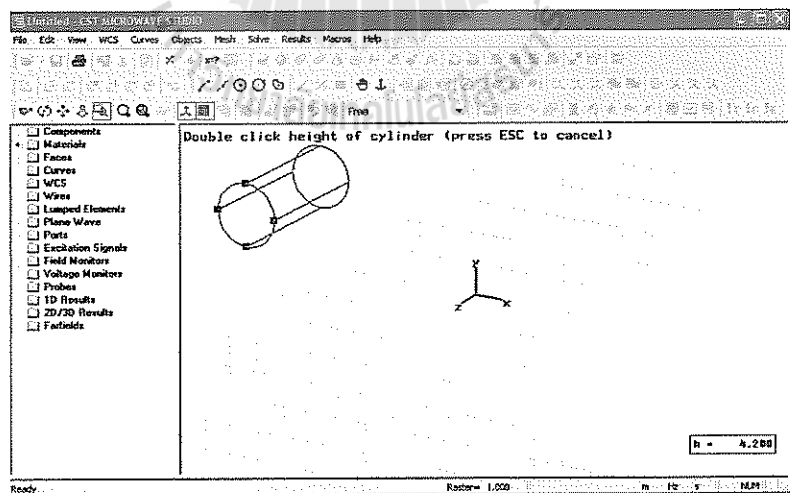
3.22



รูปที่ 3.22 รูปทรงกรอบที่ได้จากการสร้างรูปทรงกรอบในขั้นตอนที่ 1

2. ดับเบิลคลิกอีกหนึ่งครั้งแล้วลากเม้าส์ออกไปจะได้รูปร่างทรงกรวยดังรูป

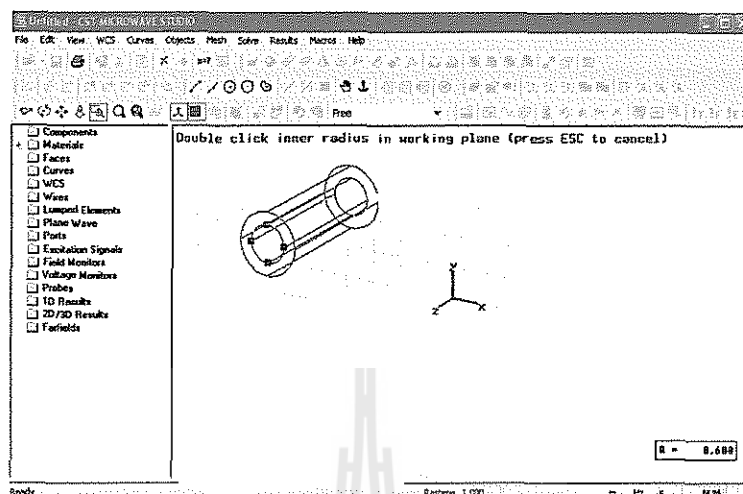
ที่ 3.23



รูปที่ 3.23 รูปร่างทรงกรวยที่ได้จากการสร้างในขั้นตอนที่ 2

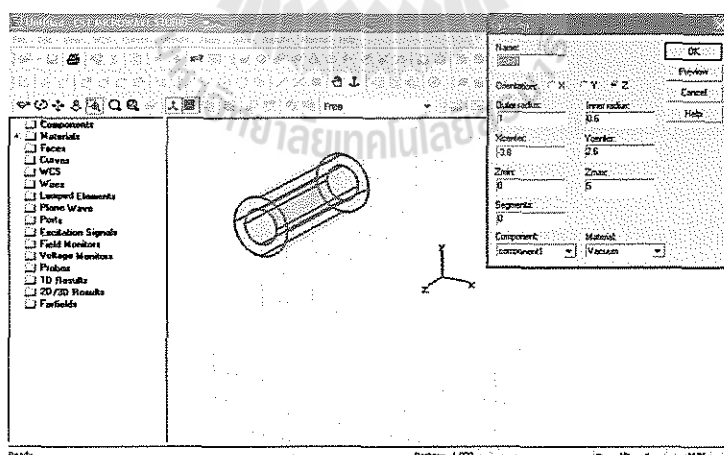
3. ดับเบิลคลิกอีกหนึ่งครั้งแล้วลากเม้าส์เข้าไปด้านในของทรงกรวย

จากรูปที่ 3.23 จะได้รูปร่างของทรงกระบอกที่มีวงกลมรัศมีต่างกัน 2 วง ดังรูปที่ 3.24



รูปที่ 3.24 รูปร่างของทรงกระบอกที่มีวงกลมรัศมีต่างกัน 2 วง

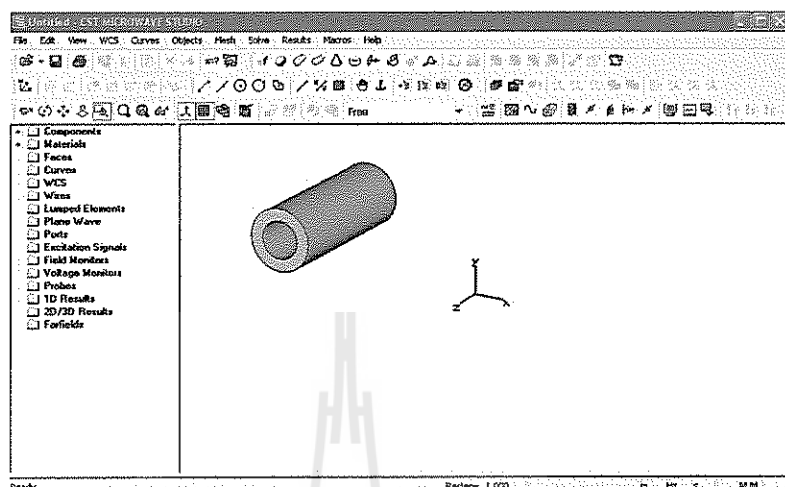
4. ดับเบิลคลิกอีกหนึ่งครั้งจะได้รูปร่างของทรงกระบอก (จากขั้นตอนที่ 2 สามา
รถกด Esc ออกไปเลยก์ได้แล้วค่อยไปกำหนดค่ารัศมีเอาไว้จะได้เช่นกัน) และจะปรากฏ
หน้าต่างที่ชื่อ Cylinder ขึ้นมาเพื่อให้กำหนดค่า ดังรูปที่ 3.25



รูปที่ 3.25 รูปร่างของทรงกระบอกที่มีวงกลมรัศมีต่างกัน 2 วง
และหน้าต่างของการกำหนดค่าพารามิเตอร์

5. เมื่อกำหนดค่าเสร็จแล้ว คลิกที่ปุ่ม OK จะได้รูปทรงกระบอกที่มีลักษณะกลวง

และมีความหนาตามรัศมีของวงกลม 2 วง ที่ได้กำหนด และมีจุดศูนย์กลางกับความยาวตามแนวแกนที่กำหนด ดังรูปที่ 3.26



รูปที่ 3.26 รูปทรงกระบอกที่มีวงกลมรัศมีต่างกัน 2 วง มีขนาดตามที่ได้กำหนด

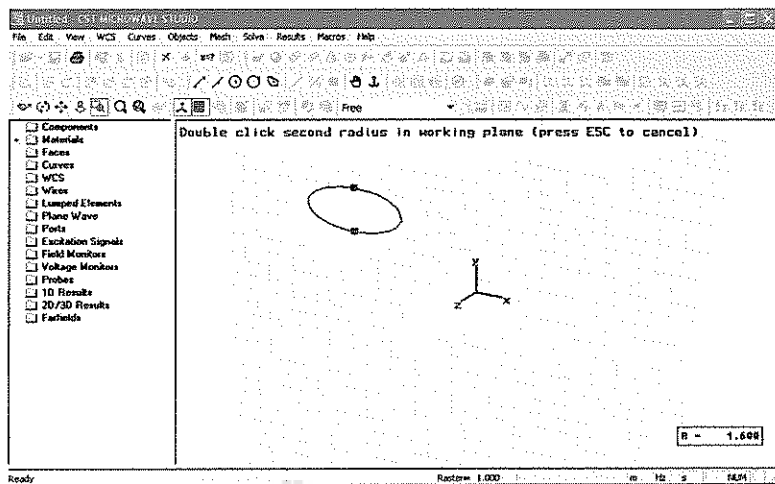
๑) การสร้างรูปทรงกระบอกที่มีลักษณะเป็นวงรี (Elliptical Cylinder)

การสร้างรูปทรงกระบอกที่มีลักษณะเป็นวงรี มี 2 วิธี เช่นเดียวกันกับการสร้างรูปทรงสี่เหลี่ยม แต่เลือกคำสั่งจาก main menu ดังนี้



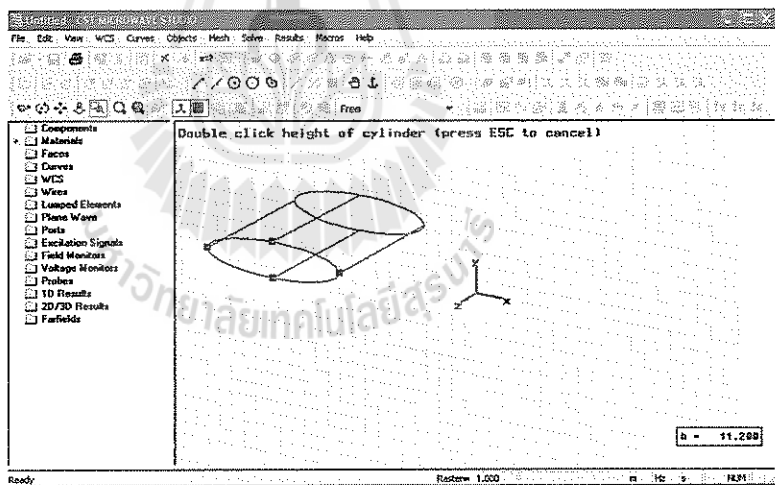
Object → Basic Shapes → Elliptical Cylinder

1. ค้นเบื้องต้นพื้นที่ว่างหนึ่งครั้งแล้วกดเมาส์ออกไปจะได้เส้นตรงจากนั้นค้นเบื้องหลังหนึ่งครั้งจะได้รูปวงรีดังรูปที่ 3.27



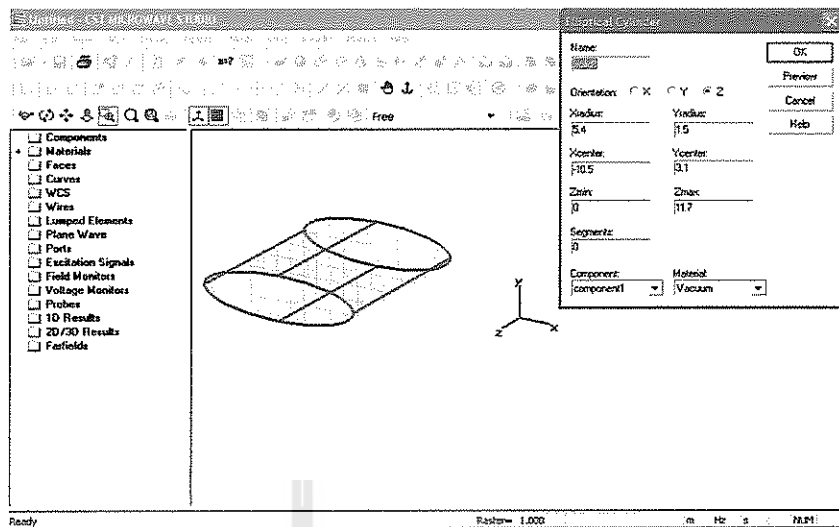
รูปที่ 3.27 วงรีที่ได้จากขั้นตอนที่ 1 ของการสร้างรูปทรงกรอบอกที่มีลักษณะเป็นวงรี

2. ดับเบิลคลิกหนึ่งครั้งจะได้รูปทรงกรอบอกที่มีหน้าตัดเป็นวงรีดังรูปที่ 3.28



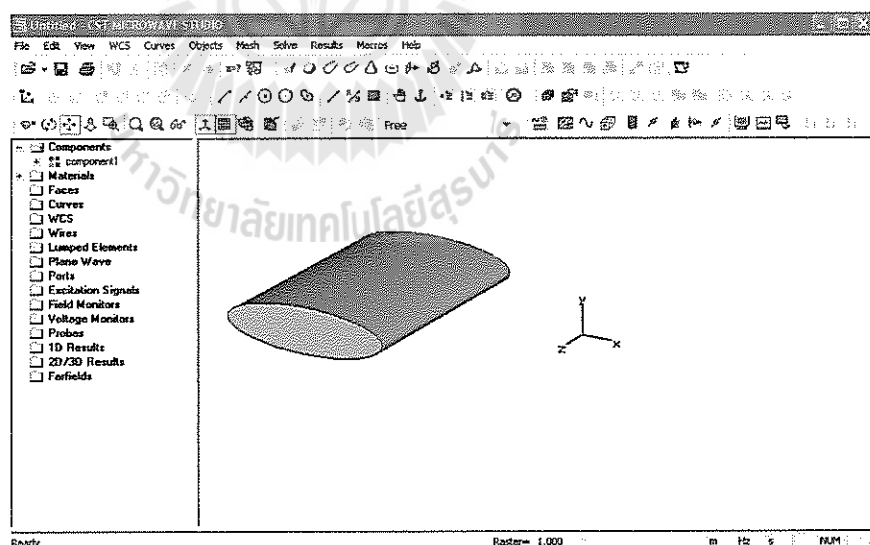
รูปที่ 3.28 รูปร่างของทรงกรอบอกที่มีหน้าตัดเป็นวงรีที่ได้จากขั้นตอนที่ 2 นี้

3. ดับเบิลคลิกหนึ่งครั้งจะมีหน้าต่าง Elliptical Cylinder ขึ้นมาเพื่อให้กำหนดค่าต่างๆ ดังรูปที่ 3.29



รูปที่ 3.29 รูปร่างของทรงกระบอกที่มีหน้าตัดเป็นวงรีและหน้าต่างในการกำหนดค่าพารามิเตอร์

4. กำหนดค่าต่างๆ ให้ครบแล้วกดปุ่ม OK ก็จะได้รูปทรงกระบอกที่มีลักษณะเป็นวงรี ดังรูปที่ 3.30



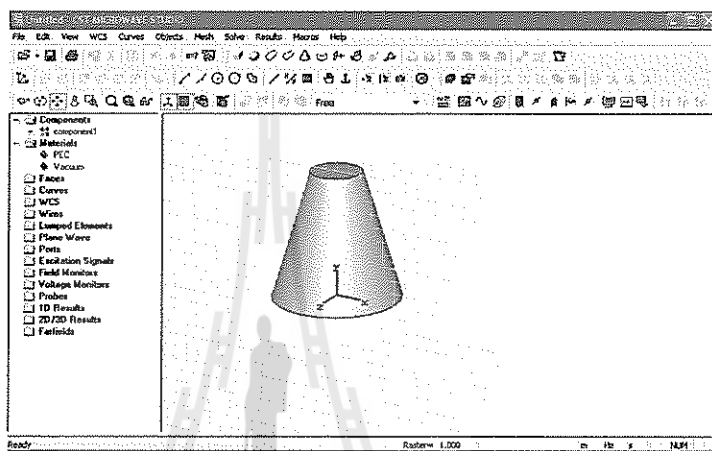
รูปที่ 3.30 รูปทรงกระบอกที่มีลักษณะเป็น วงรี

ก) การสร้างรูปทรงกรวย (Cone)

การสร้างรูปทรงกรวย มี 2 วิธี เช่นเดียวกันกับการสร้างรูปทรงสี่เหลี่ยมและรูปอื่นๆ แต่เลือกคำสั่งจาก main menu ดังนี้

 Object → Basic Shapes → Cone

ส่วนขั้นตอนการทำและการกำหนดค่าที่เหมือนกับการสร้างรูปที่ผ่านมา จะได้รูปอุอกมาเป็นรูปทรงกรวย ดังรูปที่ 3.31



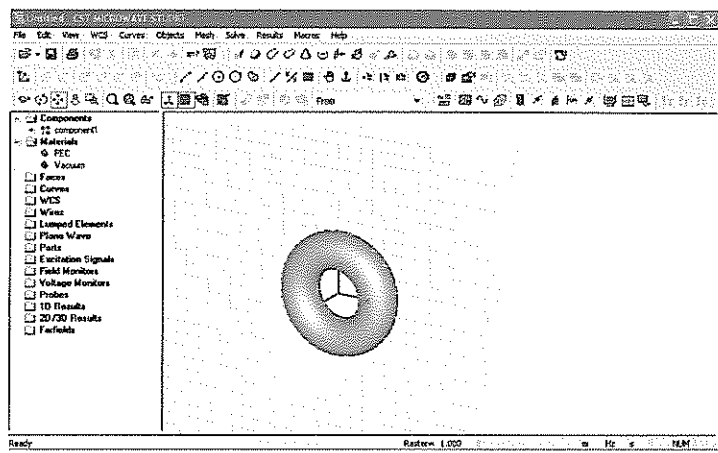
รูปที่ 3.31 รูปทรงกรวยที่มีขนาดตามที่ได้กำหนด

บ) การสร้างรูปทรงขนมโคนัก (Torus)

การสร้างรูปทรงขนมโคนัก มี 2 วิธี เช่นเดียวกันกับการสร้างรูปทรงสี่เหลี่ยมและรูปอื่นๆ แต่เลือกคำสั่งจาก main menu คันนี้

 Object → Basic Shapes → Torus

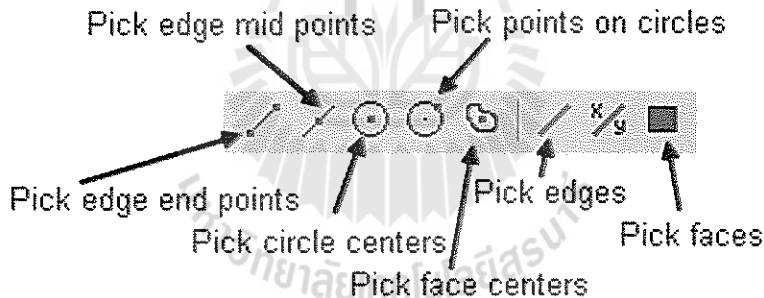
ส่วนขั้นตอนการทำและการกำหนดค่าที่เหมือนที่ผ่านมา จะได้รูปทรงขนมโคนัก ดังรูปที่ 3.32



รูปที่ 3.32 รูปทรงบนโคนที่มีขนาดตามที่ได้กำหนด

3.2.12 เครื่องมือที่ใช้ในการเลือกขอบหรือผิววัสดุ

เครื่องมือที่ใช้ในการเลือกขอบหรือผิววัสดุ (Pick tool) ลักษณะของแต่ละเครื่องมือ เป็นดังรูปที่ 3.33



รูปที่ 3.33 แผงเครื่องมือที่ใช้ในการเลือกขอบหรือผิววัสดุ

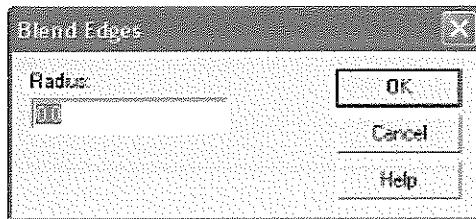
3.2.13 การลบคอมและการเพื่อนขอบ

ก) การลบคอม

การลบคอม (Blend Edge) ขั้นตอนการทำมีดังนี้

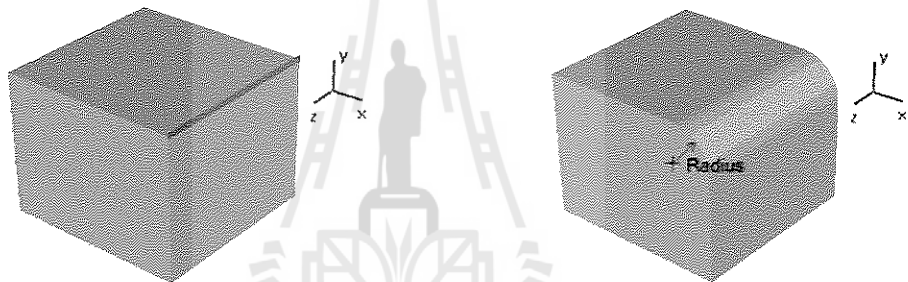
1. เลือกคำสั่ง Pick edges จาก Pick tool
2. ใช้ม้าไปดับเบิลคลิกที่ขอบวัสดุที่จะทำการลบคอม
3. เลือกใช้คำสั่งจาก main menu ดังนี้ Objects → Blend Edges (◎)
4. จากนั้นจะมีหน้าต่างเล็กๆขึ้นมาเพื่อให้ใส่ค่าที่มีว่าจะลบคอมเป็นรัศมีเท่าไหร่ก็

ใส่ไป ดังรูปที่ 3.34



รูปที่ 3.34 หน้าต่างในการกำหนดค่ารัศมีของการกลบคุณ

จะได้ออกมาดังรูปที่ 3.35ก และ 3.35ข



ก. การเลือกขอบวัสดุที่จะทำการกลบคุณ

ข. วัสดุที่ถูกกลบคุณแล้ว

รูปที่ 3.35 ขั้นตอนการกลบคุณ

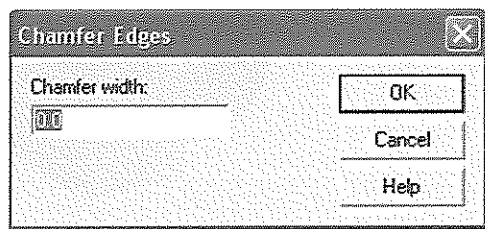
ข) การเฉือนคุณ

การเฉือนคุณ (Chamfer Edges) ขั้นตอนการทำมีดังนี้

1. เลือกคำสั่ง Chamfer Edges จาก Pick tool
2. ใช้เมาไปดับเบิลคลิกที่ขอบวัสดุที่จะทำการเฉือนคุณ
3. เลือกใช้คำสั่งจาก main menu ดังนี้

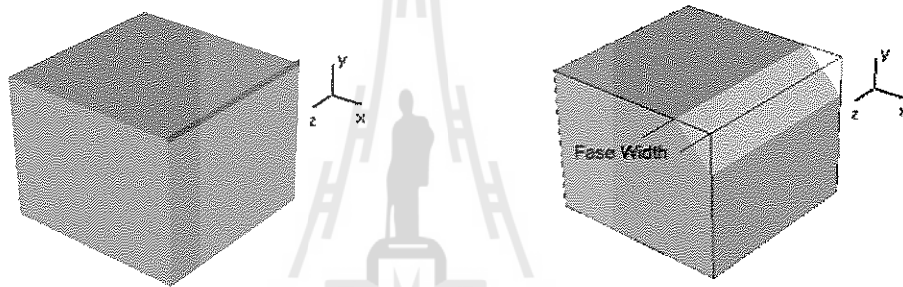
Objects → Chamfer Edges (Chamfer)

4. จากนั้นจะมีหน้าต่างเล็กๆขึ้นมา ดังรูปที่ 3.36 เพื่อให้ใส่ค่ารัศมีว่าจะเฉือนคุณเป็นความกว้างเท่าไหร่ก็ใส่ไป



รูปที่ 3.36 หน้าต่างการกำหนดค่าของการเฉือนคม

จะได้ออกมาดังรูปที่ 3.37 ก และ 3.37 ข



ก. การเลือกขอบวัสดุที่จะทำการเฉือนคม

ข. วัสดุที่ถูกเฉือนคมแล้ว

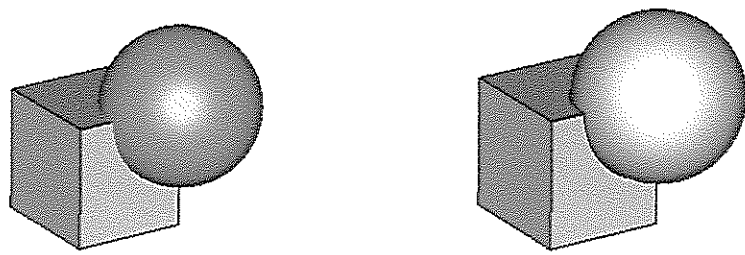
รูปที่ 3.37 ขั้นตอนการเฉือนคม

3.2.14 วิธีการทำงานของบูลีน (Boolean Operations)

ก) วิธีการรวมวัสดุ(Add Mode)

เลือกวัสดุที่จะทำการ Add จาก component จากนั้น คลิกที่ Boolean Add

- (+) ที่อยู่บน Objects toolbar หรือ คลิกที่ main menu แล้วเลือก Objects → Boolean → Add เลือกวัสดุที่จะทำการ Add เข้ากับวัสดุชิ้นนี้ เช่น มีวัสดุ 2 ชิ้น ดังรูปที่ 3.38 ก เมื่อทำการ Add เสร็จจะได้วัสดุที่เป็นเนื้อเดียวกัน ดังรูปที่ 3.38 ข



ก. วัสดุที่ยังไม่ทำการ Add

ข. วัสดุที่ Add แล้ว

รูปที่ 3.38 วิธีการรวมวัสดุ

ข) วิธีการลบวัสดุออก (Subtract Mode)

ทำเช่นเดียวกันกับการรวมวัสดุ (Add Mode) แต่เลือกคลิกรูปที่อยู่บน Objects toolbar ดังนี้ Boolean Insert (☞) หรือ คลิกที่ main menu แล้วเลือกค้างนี้ Objects → Boolean → Subtract จะได้วัสดุที่เป็น ดังรูปที่ 3.39 ก และ 3.39 ข



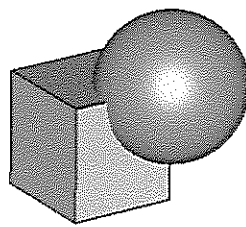
ก. วัสดุที่ยังไม่ทำการ Subtract

ข. วัสดุที่ทำการ Subtract แล้ว

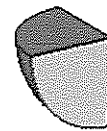
รูปที่ 3.39 วิธีการลบวัสดุออก

ก) วิธีการตัดเอาส่วนที่อยู่ร่วมกันของวัสดุ (Intersect Mode)

ทำเช่นเดียวกันกับการรวมวัสดุ (Add Mode) แต่เลือกคลิกรูปที่อยู่บน Objects toolbar ดังนี้ Boolean Insert (☞) หรือ คลิกที่ main menu แล้วเลือกค้างนี้ Objects → Boolean → Intersect จะได้วัสดุที่เป็น ดังรูปที่ 3.40 ก และ 3.40 ข



ก. วัสดุที่ยังไม่ทำ Intersect

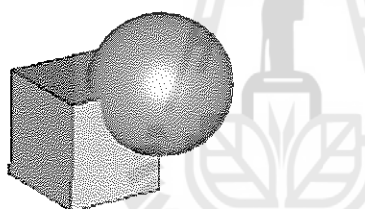


ข. วัสดุที่ทำ Intersect แล้ว

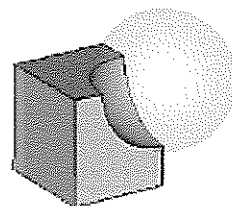
รูปที่ 3.40 วิธีการตัดเอาส่วนที่อยู่ร่วมกันของวัสดุ

๙) วิธีการแทรกวัสดุ (Insert Mode)

ทำเช่นเดียวกันกับการรวมวัสดุ (Add Mode) แต่เลือกคลิกรูปที่อยู่บน Objects toolbar ดังนี้ Boolean Insert () หรือ คลิกที่ main menu แล้วเลือดังนี้ Objects → Boolean → Insert จะได้วัสดุที่เป็น ดังรูปที่ 3.41 ก และ 3.41 ข



ก. วัสดุที่ยังไม่ทำ Insert



ข. วัสดุที่ทำ Insert แล้ว

รูปที่ 3.41 วิธีการแทรกวัสดุ

3.3 หลักการออกแบบ

ในการออกแบบตัวไขบริดจ์คัปเบลอร์ 90 องศา ซึ่งทำบนแผ่น FR-4 แบบสองหน้า มีพารามิเตอร์ที่จำเป็นในการออกแบบดังนี้

1. ความถี่ที่ใช้ปฏิบัติงานของตัวไขบริดจ์คัปเบลอร์ 90 องศา

2. ค่าคงที่ไอดีเล็กตริกสัมพัทธ์ของชั้บสเตรท (Dielectric constant : ϵ_r)

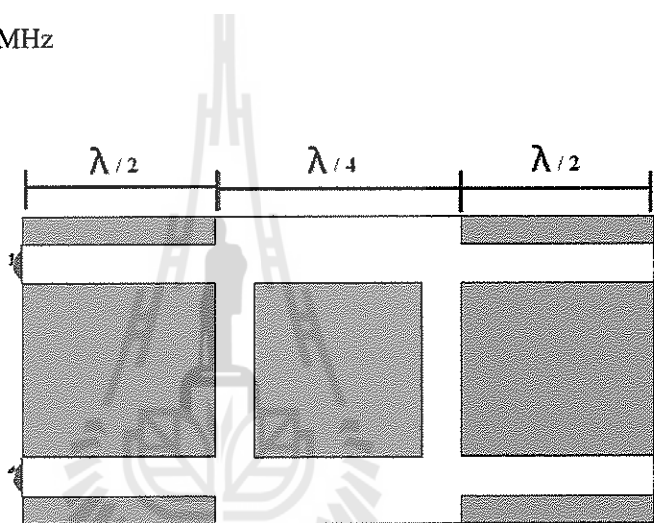
ซึ่งไอดีเล็กตริกของวัสดุที่ใช้ในการออกแบบเป็น Glass Epoxy FR-4 แบบสองหน้าซึ่งมีค่า Dielectric Constant: ϵ_r เท่ากับ 4.5

3. ความสูงของไอดีเล็กตริกชั้บสเตรท (h) สำหรับในการออกแบบนี้ให้มีความสูง h เท่ากับ 1.66 mm.

4. ขนาดของแผ่นซับสเตรทสำหรับในการออกแบบนี้ กว้าง 5 cm. ยาว 5 cm.

3.3.1 ไซบอริคัปเปลอร์ 90 องศาต้นแบบ

ไซบอริคัปเปลอร์ 90 องศา จะทำหน้าที่ดำเนินการขั้นพื้นฐานของการแยกเส้นทางของการเชื่อมต่อถ้าทุกพอร์ตมีค่าอิมพีเดนซ์เท่ากันเมื่อใส่พลังงานเข้าไปที่พอร์ต P1 พลังงานจะถูกแบ่งแยกเท่าเทียมระหว่างพอร์ต P2 และพอร์ต P3 ซึ่งพลังงานที่ได้จะมีค่าครึ่งหนึ่งของพลังงานที่เข้ามาในพอร์ต P1 พลังงานที่ได้จากพอร์ต P2 และพอร์ต P3 จะถ้าหลังกันอยู่ 90 องศาและจำเป็นมีพลังงานออกไปที่พอร์ต P4 (พอร์ตโดยเดียวซึ่งความถี่ที่ปฏิบัติการคือ 2400 MHz)



รูปที่ 3.42 ไซบอริคัปเปลอร์ 90 องศา

ไซบอริคัปเปลอร์ 90 องศาสามารถคำนวณได้จากรูปที่ 3.42 โดยใช้ดังต่อไปนี้

ที่ $\varepsilon_r = 4.5$, $d=1.6 \text{ mm}$, $f = 2.4 \text{ GHz}$

เมื่อ 1) $Z_0 = 50 \Omega$

$$A = \frac{Z_0}{60} \sqrt{\frac{\varepsilon_r + 1}{2}} + \frac{\varepsilon_r - 1}{\varepsilon_r + 1} \left(0.23 + \frac{0.11}{\varepsilon_r} \right) \quad (3.1)$$

แทนค่าจะได้

$$A = \frac{50}{60} \sqrt{\frac{4.5 + 1}{2}} + \frac{4.5 - 1}{4.5 + 1} \left(0.23 + \frac{0.11}{4.5} \right) = 1.54$$

$$A = 1.54$$

$$\frac{w}{d} = \frac{8e^A}{e^{2A}-2} \quad (3.2)$$

เมื่อเรานำ A = 1.54 ไปแทนจะได้

$$\frac{w}{d} = \frac{8e^{1.54}}{e^{2(1.54)}-2}$$

$$\frac{w}{d} = 1.94 \quad ; \left[\frac{w}{d} < 2 \right] \text{แสดงว่าใช้ได้ เพราะ } \frac{w}{d} < 2$$

$$w = d(1.94) = (1.6)(1.94) = 3.11 \text{ mm}$$

จาก

$$\varepsilon_e = \frac{\varepsilon_r + 1}{2} + \frac{\varepsilon_r - 1}{2} \frac{1}{\sqrt{1+12\frac{d}{W}}} \quad (3.3)$$

แทนค่าจะได้

$$\varepsilon_e = \frac{4.5 + 1}{2} + \frac{4.5 - 1}{2} \frac{1}{\sqrt{1+12\frac{(1)}{1.94}}}$$

$$= \frac{5.5}{2} + \frac{3.5}{2} \left[\frac{1}{\sqrt{7.185}} \right]$$

$$\varepsilon_e = 3.40$$

เมื่อทำการเปรียบเทียบจาก $\varepsilon_e \neq \varepsilon_r$ และ $1 < \varepsilon_e < \varepsilon_r$ แสดงว่าค่าที่ได้เป็นจริง
เพราะฉะนั้นจาก

$$\lambda = \frac{c}{\sqrt{\varepsilon_e(f)}} \quad (3.4)$$

แทนค่าจะได้

$$\lambda = \frac{3 \times 10^8}{\sqrt{3.40} (2400 \text{ MHz})}$$

$$\lambda = 67.79 \text{ mm}$$

$$\text{ที่ } 90^\circ; \frac{\lambda}{4} = \frac{67.79}{4} = 16.9475$$

เมื่อ 2) $\frac{Z_0}{\sqrt{2}} = \frac{50}{\sqrt{2}} \Omega = 35.3553$

$$B = \frac{377\pi}{2Z_0(\sqrt{\varepsilon_r})} \quad (3.5)$$

แทนค่าจะได้

$$B = \frac{377\pi}{2(35.3553)(\sqrt{4.5})}$$

$$B = 8$$

และ

$$\frac{w}{d} = \frac{2}{\pi} \left[B - 1 - \ln(2B - 1) + \frac{\varepsilon_r - 1}{2\varepsilon_r} \left\{ \ln(B - 1) + 0.39 - \frac{0.61}{\varepsilon_r} \right\} \right] \quad (3.6)$$

นำ ($B = 8$) ไปแทนจะได้

$$\frac{w}{d} = \frac{2}{\pi} \left[8 - 1 - \ln(2(8) - 1) + \frac{4.5 - 1}{2(4.5)} \left\{ \ln(8 - 1) + 0.39 - \frac{0.61}{4.5} \right\} \right]$$

$$\frac{w}{d} = \frac{2}{\pi} [4.29 + 0.39 \{1.42\}]$$

$$\frac{w}{d} = 3.22 \quad ; \left[\frac{w}{d} > 2 \right] \text{ และจะใช้ได้เพราะจะนั่น}$$

$$w = d(3.22) = (1.6)(3.22) = 5.152 \text{ mm}$$

และจากสมการที่ (3.3) แทนค่าจะได้

$$\varepsilon_e = \frac{4.5+1}{2} + \frac{4.5-1}{2} \frac{1}{\sqrt{1+12 \frac{(1)}{3.22}}}$$

$$= \frac{5.5}{2} + \frac{3.5}{2} \left[\frac{1}{\sqrt{4.73}} \right]$$

$$\varepsilon_e = 3.55$$

เมื่อทำการเบริญเพียงจาก $\varepsilon_e \neq \varepsilon_r$ และ $1 < \varepsilon_e < \varepsilon_r$ แสดงว่าค่าที่ได้เป็นจริง เพราะฉะนั้นจากสมการที่ (3.4) จะได้

$$\lambda = \frac{c}{\sqrt{\varepsilon_e(f)}}$$

$$\lambda = \frac{3 \times 10^8}{\sqrt{3.55}(2400 \text{ MHz})}$$

$$\lambda = 66.34 \text{ mm}$$

$$\text{ที่ } 90^\circ ; \frac{\lambda}{4} = \frac{66.34}{4} = 16.585$$

กำหนดค่า $Z_0 = 50 \Omega$, $Z_0/\sqrt{2} = 35.355 \Omega$, $\varepsilon_r = 4.5$, $f = 2.4 \text{ GHz}$

$$d = 1.6 \text{ mm.}, C = 3 \times 10^8$$

เมื่อทำการคำนวณค่าพารามิเตอร์ต่างๆจากสมการดังกล่าวจะได้ผลดังนี้

ที่ Z_0

$$A = 1.54$$

$$\varepsilon_e = 3.394$$

$$\frac{W}{d} = 1.94 \text{ mm.}$$

$$W = 3.11 \text{ mm.}$$

$$\frac{\lambda}{4} = 16.9475 \text{ mm.}$$

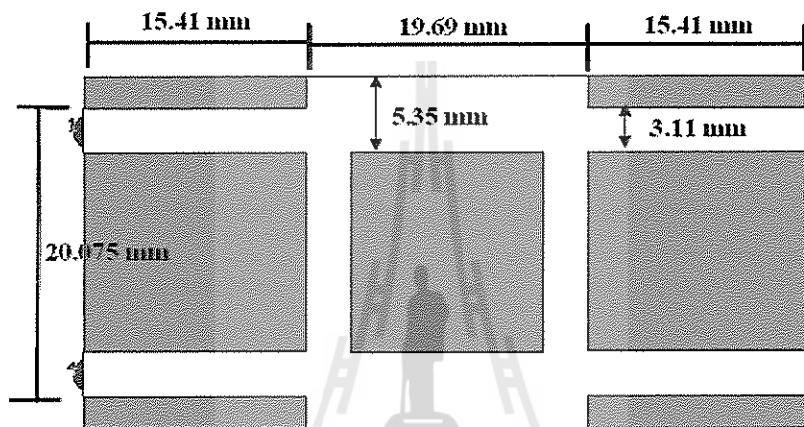
$$\frac{\pi}{\sqrt{2}} \frac{Z_0}{\sqrt{2}}$$

$$B = 8$$

$$W = 5.152 \text{ mm.}$$

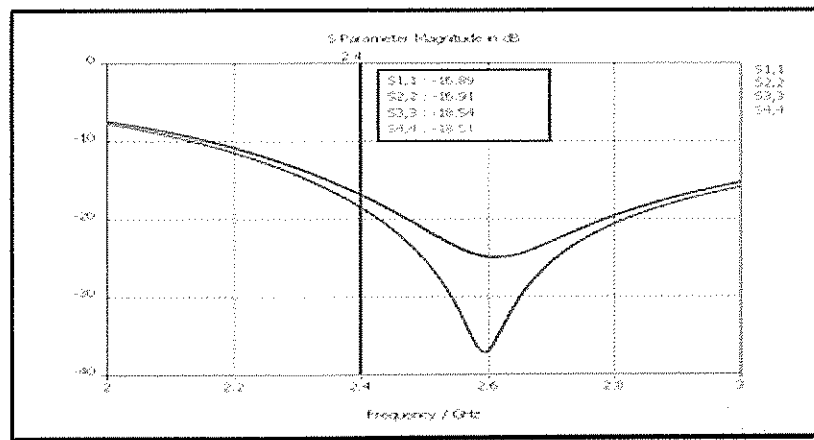
$$\epsilon_r = 3.55$$

$$\frac{\lambda}{4} = 16.585 \text{ mm.}$$



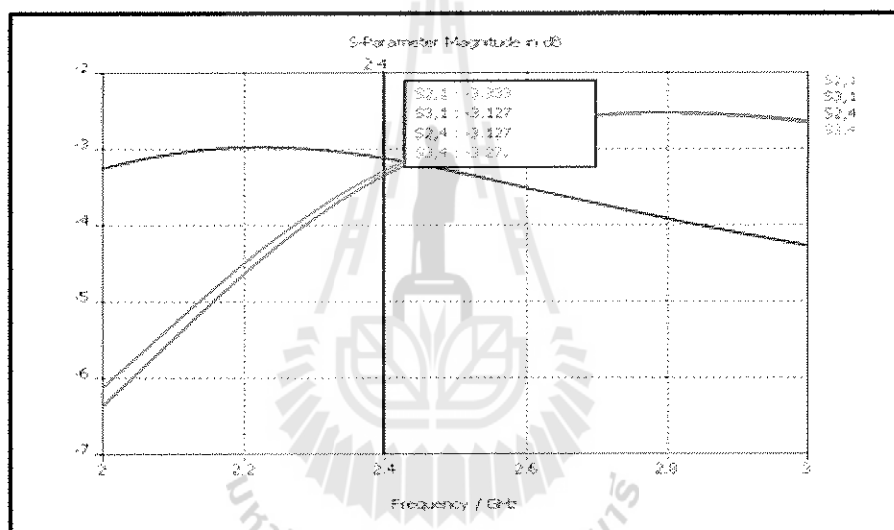
รูปที่ 3.43 ไซบอริคจ์คัปเปลอร์ 90 องศาต้นแบบที่ออกแบบเสร็จแล้ว

ผลการทดสอบไซบอริคจ์คัปเปลอร์ 90 องศาต้นแบบด้วยโปรแกรม CST MICROWAVE STUDIO ค่าของพลังงานได้ดังรูป



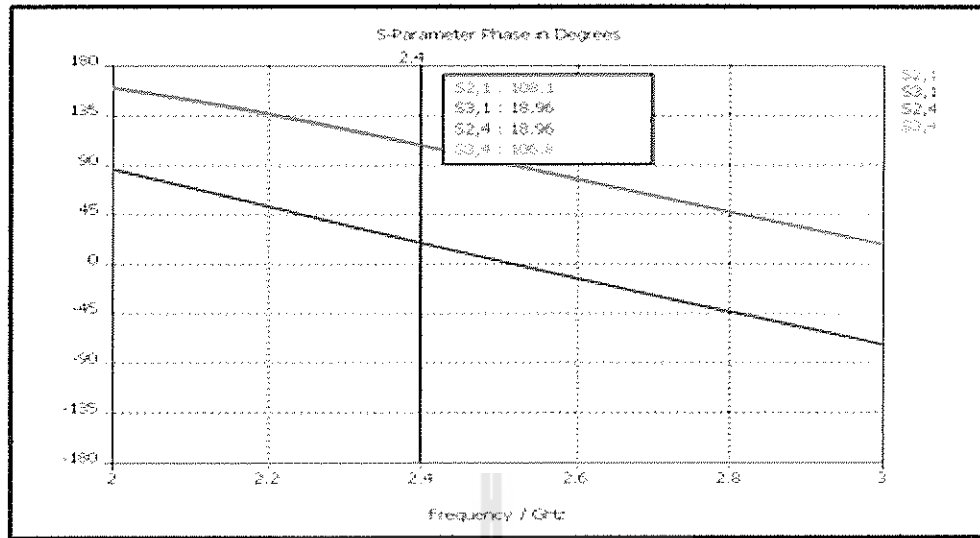
รูปที่ 3.44 กราฟแสดงค่าการสูญเสียที่เกิดจากการสะท้อนกลับของพารามิเตอร์ $S_{11}, S_{22}, S_{33}, S_{44}$

จะพบว่ากราฟที่ได้นี้นพารามิเตอร์ $S_{11}, S_{22}, S_{33}, S_{44}$ ที่ทำงานที่ความถี่ 2.4 GHz มีค่าต่ำกว่า -10dB เนื่องจากพารามิเตอร์ดังกล่าวเป็นพารามิเตอร์ที่ใช้วัดการสะท้อนกลับอันมาจากการสูญเสียของคลื่นที่ส่งผ่านไป ถ้าจะกล่าวได้ว่าค่าการสูญเสียที่เกิดจากการสะท้อนกลับ (return loss) ที่ต่ำกว่า -10 dB เป็นค่าที่ยอมรับได้ในระบบการสื่อสารไร้สาย โดยเราอ้างอิงมาจากสูตร $\text{Return Loss} = 20 \log \Gamma$ คือจะกล่าวได้ว่ายิ่งค่าการสูญเสียที่เกิดจากการสะท้อนกลับมีค่าน้อยเพียงใดยิ่งทำให้เกิดการสะท้อนกลับของพลังงานมีค่าน้อยตามไปด้วยเท่านั้น [10]



รูปที่ 3.45 กราฟแสดงค่าการส่งผ่านพลังงานของพารามิเตอร์ $S_{21}, S_{31}, S_{24}, S_{34}$

ค่าส่งผ่านพลังงานที่พารามิเตอร์ $S_{21}, S_{31}, S_{24}, S_{34}$ ที่ทำงานที่ความถี่ 2.4 GHz ควรจะมีค่าน้อยกว่า -3 dB เนื่องจากพารามิเตอร์ดังกล่าวเป็นพารามิเตอร์ที่ใช้วัดการส่งผ่านของพลังงานที่เกิดจากการสูญเสียที่ใส่เข้าไป โดยเราอ้างอิงมาจากสูตร Coupling factor = $-10 \log \frac{P_3}{P_1}$ คือค่าพลังงานที่ใส่เข้ามายังมีการส่งผ่านพลังงานออกไปครึ่งหนึ่งของกำลังงานที่ส่งเข้ามา แต่จากการแสดงค่าส่งผ่านพลังงานจะพบว่าค่าพารามิเตอร์ที่ S_{21} มีค่าเท่ากับ -3.333, S_{31} มีค่าเท่ากับ -3.127, S_{24} มีค่าเท่ากับ -3.127, S_{34} มีค่าเท่ากับ -3.272 ซึ่งค่าที่ได้มีค่าใกล้เคียงกับค่าที่ส่งผ่านพลังงานออกไปครึ่งหนึ่ง



รูปที่ 3.46 กราฟแสดงเฟสของพารามิเตอร์

กราฟแสดงค่าเฟสพารามิเตอร์ของ ไอบิริจคัปเพลอร์ 90 องศาต้นแบบ ซึ่งเราออกแบบมา เพื่อต้องการให้มีค่าเฟสพารามิเตอร์ต่างกัน 90° ซึ่งอ่านค่าพารามิเตอร์จากกราฟได้ดังนี้

ค่าของเฟสพารามิเตอร์ที่ $S_{21} = 108.1^\circ$ และที่ $S_{31} = 18.96^\circ$ ซึ่งมีค่าของเฟสพารามิเตอร์ ต่างกันอยู่ $108.1^\circ - 18.96^\circ = 89.14^\circ$ ส่วนที่ค่าพารามิเตอร์ $S_{24} = 18.96^\circ$ และที่ $S_{34} = 106.8^\circ$ ซึ่งมีค่าของเฟสพารามิเตอร์ต่างกันอยู่ $106.8^\circ - 18.96^\circ = 87.84^\circ$ ซึ่งมีค่าเฟสพารามิเตอร์ ใกล้เคียงกับค่าที่เราต้องการ

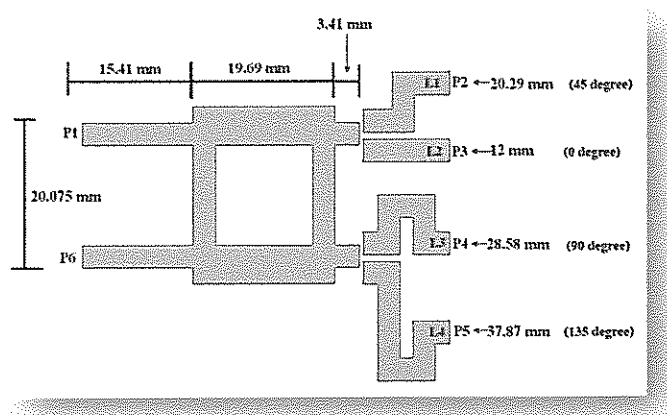
ตารางที่ 3.1 แสดงพารามิเตอร์ต่างๆของ ไอบิริจคัปเพลอร์ 90 องศาต้นแบบด้วย โปรแกรม CST Microwave Studio

| พารามิเตอร์ | แอมพลิจูด (dB) ที่ความถี่ 2.4 GHz | เฟส (องศา) ที่ความถี่ 2.4 GHz |
|-------------|--------------------------------------|----------------------------------|
| S11 | -16.89 | -105.3 |
| S22 | -16.91 | -105.02 |
| S33 | -18.54 | -77.51 |
| S44 | -18.51 | -77.72 |
| S21 | -3.333 | 108.01 |
| S31 | -3.127 | 18.96 |

| พารามิเตอร์ | แอมเพลจูด (dB) ที่ความถี่ 2.4 GHz | เฟส (องศา) ที่ความถี่ 2.4 GHz |
|-------------|--------------------------------------|----------------------------------|
| S41 | -18.04 | 43.24 |
| S12 | -3.333 | 108.1 |
| S32 | -18.01 | 43.37 |
| S42 | -3.127 | 18.96 |
| S13 | -18.01 | 18.96 |
| S23 | -3.272 | 43.38 |
| S43 | -18.04 | 106.8 |
| S14 | -18.04 | 43.24 |
| S24 | -3.127 | 18.96 |
| S34 | -3.272 | 106.8 |

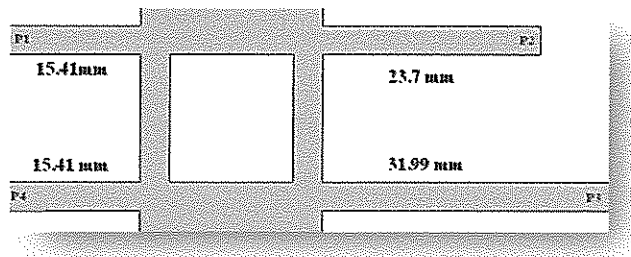
3.3.2 ไซบридิก็ปเปลอร์ 90 องศาที่ต่อเข้ากับวงจรสลับสาย

ไซบридิก็ปเปลอร์ 90 องศาที่ต่อเข้ากับวงจรสลับสายได้พัฒนามาจากไซบридิก็ปเปลอร์ องค่าด้านบน เพื่อให้สามารถเลือกเฟสได้มากขึ้นซึ่งจากเดิมสามารถเลือกเฟสได้เพียงสองเฟสเท่านั้น คือ 0 และ 90 องศา

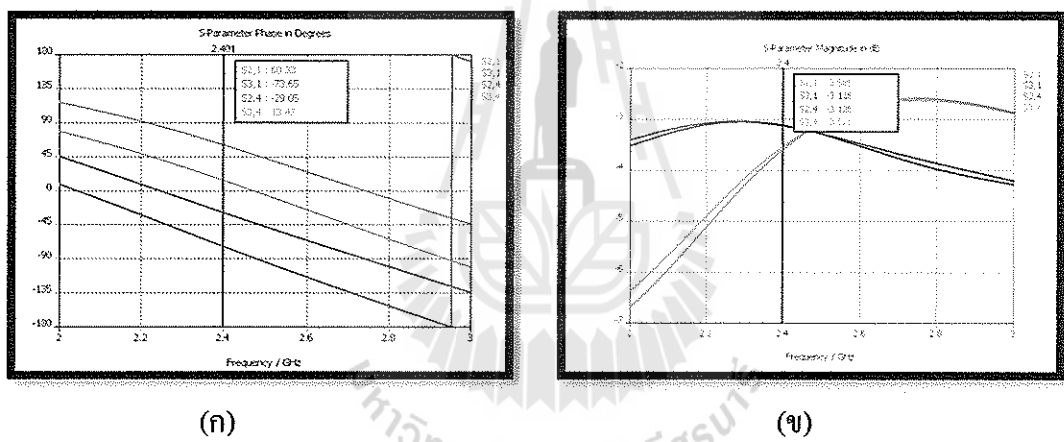


รูปที่ 3.47 ไซบридิก็ปเปลอร์ 90 องศาที่ต่อเข้ากับวงจรสลับสาย

**ผลการทดสอบแบบจำลองที่แสดงค่าเฟสพารามิเตอร์เฟสที่สอดคล้องกันกับผลของกับ
ไอบริดจ์คัปเปลอร์ 90 องศาที่ต่อเข้ากับวงจรสลับสาย**



รูปที่ 3.48 ไอบริดจ์คัปเปลอร์ที่เลือกปริมาณเทียบเส้นที่ 1 และเส้นที่ 3



รูปที่ 3.49 กราฟแสดงค่าพารามิเตอร์ของไอบริดจ์คัปเปลอร์ที่เลือกปริมาณเทียบเส้นที่ 1 และเส้นที่ 3
โดย รูป (ก) คือค่า เฟส (degree) และ รูป (ข) ขนาด (dB)

ตารางที่ 3.2 แสดงค่าพารามิเตอร์ต่างๆ ของไอบริดจ์คัปเปลอร์ที่เลือกปริมาณเทียบเส้นที่ 1 และเส้นที่ 3

S1 คือค่าของพลังที่เข้าทางพอร์ตที่ 1

S2 คือค่าของพลังที่ถูกส่งออกทางพอร์ตที่ 2

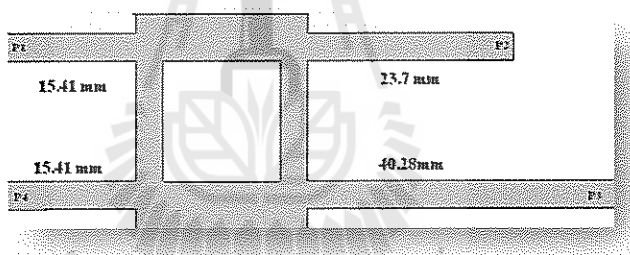
S3 คือค่าของพลังที่ถูกส่งออกทางพอร์ตที่ 3

S4 คือค่าของพลังที่เข้าทางพอร์ตที่ 4

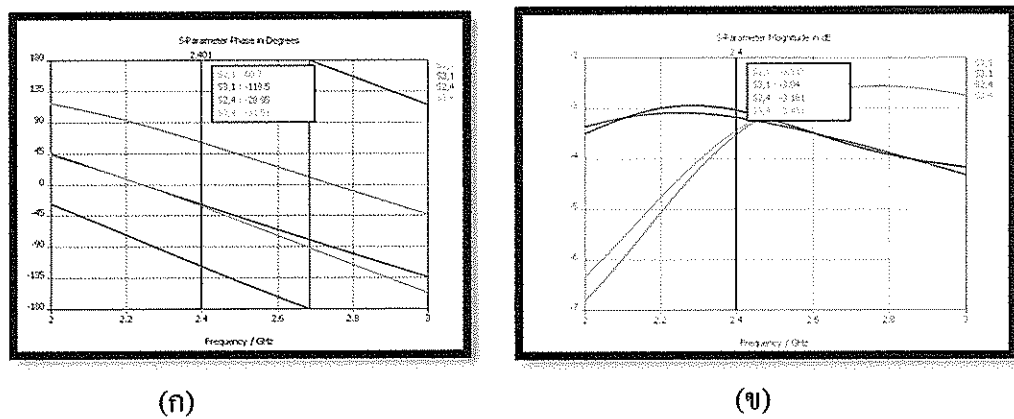
| พารามิเตอร์ | ขนาด (dB) | | เฟส (degree) | | ความต่างเฟส (degree) |
|-------------|-----------|--------|--------------|--------|-------------------------|
| | S2 | S3 | S2 | S3 | |
| S1 | -3.585 | -3.126 | 60.33 | -73.65 | 133.98 |
| S4 | -3.116 | -3.521 | -29.05 | 13.47 | 42.52 |

ตารางที่ 3.2 แสดงค่าพารามิเตอร์ต่างๆของไอบริก็คปเปโลร์ที่เลือกปรียนเทียนเส้นที่ 1 และเส้นที่ 3

ค่าความต่างเฟสที่เราต้องการคือ 135 (degree) และ 45 (degree) แต่ผลที่ได้จากการทดสอบแบบจำลองคือ 133.98 (degree) หาได้จากการคำนวณ ($S_{21} = 60.33$) – ($S_{31} = -73.65$) และ 42.52 (degree) หาได้จากการคำนวณ ($S_{34} = 13.47$) – ($S_{24} = -29.05$) ซึ่งค่าที่ได้จากการทดสอบแบบจำลองมีค่าใกล้เคียงกับค่าที่เราต้องการ



รูปที่ 3.50 ไอบริก็คปเปโลร์ที่เลือกปรียนเทียนเส้นที่ 1 และเส้นที่ 4

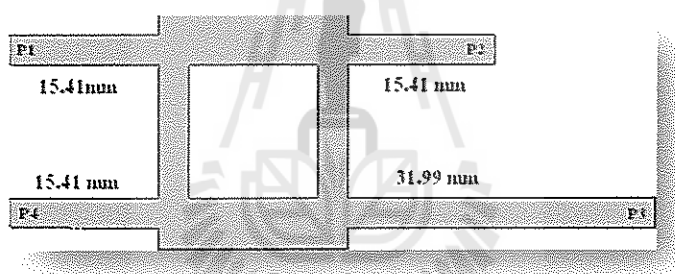


รูปที่ 3.51 กราฟแสดงค่าพารามิเตอร์ของไอบริก็คปเปโลร์ที่เลือกปรียนเทียนเส้นที่ 1 และเส้นที่ 4 โดย รูป (g) คือค่า เฟส (degree) และรูป (h) ขนาด (dB)

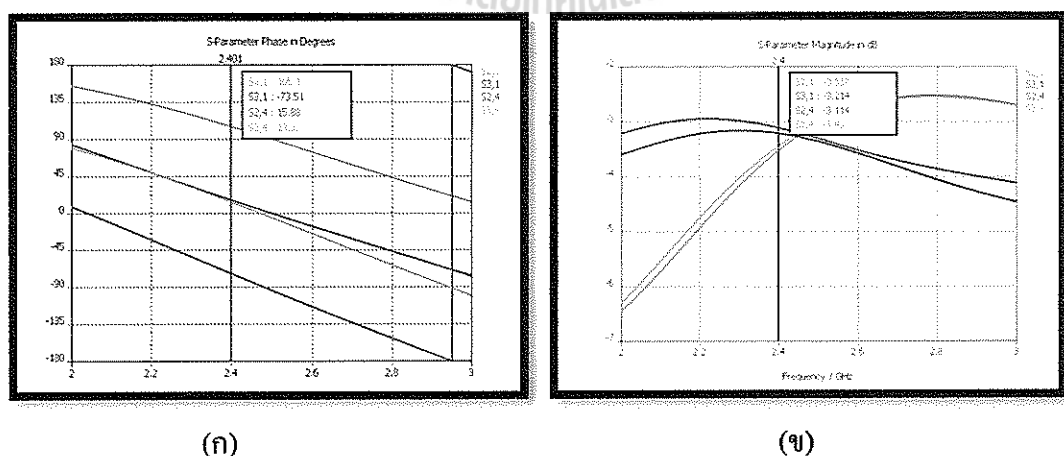
ตารางที่ 3.3 แสดงพารามิเตอร์ต่างๆของไซบридที่เลือกปริยนเทียบเส้นที่ 1 และเส้นที่ 4

| พารามิเตอร์ | ขนาด (dB) | | เฟส (degree) | | ความต่างเฟส (degree) |
|-------------|-----------|--------|--------------|--------|-------------------------|
| | S2 | S3 | S2 | S3 | |
| S1 | -3.517 | -3.04 | 60.7 | -118.5 | 179.2 |
| S4 | -3.181 | -3.431 | -28.95 | -31.53 | 2.58 |

ค่าความต่างเฟสที่เราต้องการคือ 180 (degree) และ 0 (degree) แต่ผลที่ได้จากการทดสอบแบบจำลองคือ 179.2 (degree) หากได้จากค่าพารามิเตอร์ ($S_{21} = 60.7$) – ($S_{31} = -118.5$) และ 0 (degree) หากได้จากค่าพารามิเตอร์ ($S_{34} = -28.95$) – ($S_{24} = -31.53$) ซึ่งค่าที่ได้จากการทดสอบแบบจำลองมีค่าใกล้เคียงกับค่าที่เราต้องการ



รูปที่ 3.52 ไซบридที่คัปเปลอร์ที่เลือกปริยนเทียบเส้นที่ 2 และเส้นที่ 3



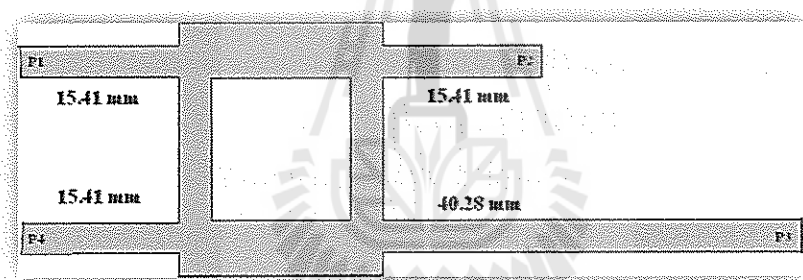
รูปที่ 3.53 กราฟแสดงพารามิเตอร์ของไซบридที่คัปเปลอร์ที่เลือกปริยนเทียบเส้นที่ 2 และเส้นที่ 3

โดย รูป (ก) คือค่า เฟส (degree) และรูป (ข) ขนาด (dB)

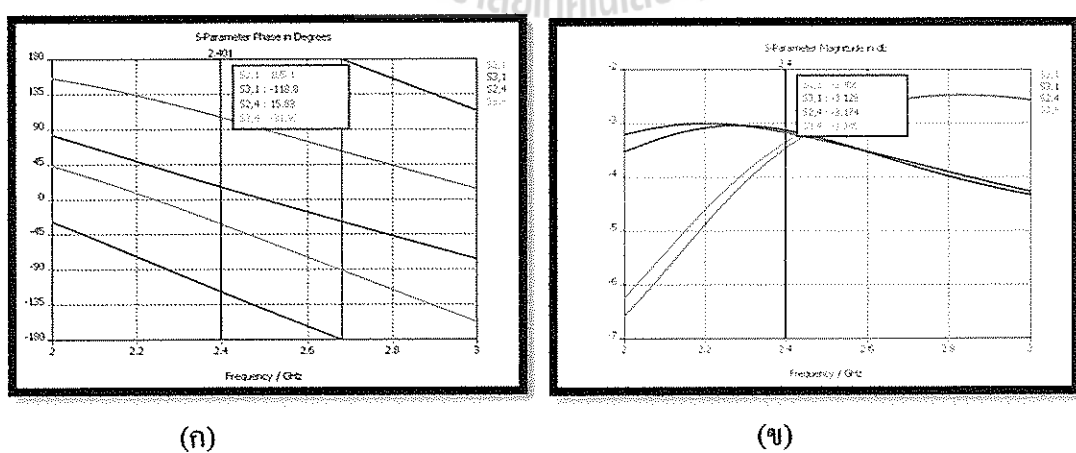
ตารางที่ 3.4 แสดงพารามิเตอร์ต่างๆของไอบริดจ์คัปเปลอร์ที่เลือกปรีบเทียบเส้นที่ 2 และเส้นที่ 3

| พารามิเตอร์ | ขนาด (dB) | | เฟส (degree) | | ความต่างเฟส (degree) |
|-------------|-----------|--------|--------------|--------|-------------------------|
| | S2 | S3 | S2 | S3 | |
| S1 | -3.517 | -3.214 | 105.1 | -73.51 | 178.61 |
| S4 | -3.114 | -3.432 | -15.88 | -13.33 | 2.55 |

ค่าความต่างเฟสที่เราต้องการคือ 180 (degree) และ 0 (degree) แต่ผลที่ได้จากการทดสอบแบบจำลองคือ 178.61 (degree) หาได้จากค่าพารามิเตอร์ ($S_{21} = 105.1$) – ($S_{31} = -73.51$) และ 2.55 (degree) หาได้จากค่าพารามิเตอร์ ($S_{34} = -13.33$) – ($S_{24} = -15.88$) ซึ่งค่าที่ได้จากการทดสอบแบบจำลองมีค่าใกล้เคียงกับค่าที่เราต้องการ



รูปที่ 3.54 ไอบริดจ์คัปเปลอร์ที่เลือกปรีบเทียบเส้นที่ 2 และเส้นที่ 4



รูปที่ 3.55 กราฟแสดงค่าพารามิเตอร์ของไอบริดจ์คัปเปลอร์ที่เลือกปรีบเทียบเส้นที่ 2 และเส้นที่ 4

โดย รูป (ก) คือค่า เฟส (degree) และรูป (ข) ขนาด (dB)

ตารางที่ 3.5 แสดงพารามิเตอร์ต่างๆของไอบริดจ์คัปเปลอร์ที่เลือกปรับเทียบเส้นที่ 2 และเส้นที่ 4

| พารามิเตอร์ | ขนาด (dB) | | เฟส (degree) | | ความต่างเฟส (degree) |
|-------------|-----------|--------|--------------|--------|-------------------------|
| | S2 | S3 | S2 | S3 | |
| S1 | -3.456 | -3.128 | 105.1 | -118.8 | 223.9 |
| S4 | -3.174 | -3.345 | 15.83 | -31.97 | 47.8 |

ค่าความต่างเฟสที่เราต้องการคือ 225 (degree) และ 45(degree) แต่ผลที่ได้จากการทดสอบแบบจำลองคือ 223.9 (degree) หาได้จากค่าพารามิเตอร์ $(S_{21} = 105.1) - (S_{31} = -118.8)$ และ 47.8 (degree) หาได้จากค่าพารามิเตอร์ $(S_{24} = 15.83) - (S_{34} = -31.97)$ ซึ่งค่าที่ได้จากการทดสอบแบบจำลองมีค่าใกล้เคียงกับค่าที่เราต้องการ

3.4 ข้อสรุปท้ายบท

ในเรื่องการออกแบบตัวไอบริดจ์คัปเปลอร์ได้นำเสนอการออกแบบตัวไอบริดจ์คัปเปลอร์ 90 องศาตันแบบและตัวไอบริดจ์คัปเปลอร์ที่ต่อเข้ากับวงจรสลับสายเพื่อให้สามารถเลือกเฟสที่ต้องการได้จากโปรแกรม CST MICROWAVE STUDIO โดยได้ศึกษาทฤษฎีคัปเปลอร์แบบไอบริดเพื่อทำการออกแบบตัวไอบริดจ์คัปเปลอร์ 90 องศาตันแบบและตัวไอบริดจ์คัปเปลอร์ที่ต่อเข้ากับวงจรสลับสายเพื่อให้สามารถปรับเปลี่ยนเฟสที่ต้องการได้ที่สามารถทำงานได้ในย่านความถี่ 2.4 GHz

จากการออกแบบจากโปรแกรม CST MICROWAVE STUDIO นี้ได้ทำการกำหนดพารามิเตอร์ก่อนทำการสร้างคือ แผ่นไมโครสโตริปที่ใช้ใหม่ขนาดความสูงเท่ากับ 1.66 mm มีค่าคงที่โดยอิเล็กทริกสัมพัทธ์ของชั้นสเตรท : ϵ_r เท่ากับ 4.5 ทำให้ค่าพารามิเตอร์ที่เกิดจากการสูญเสียเนื่องจากการสะท้อนกลับของสัญญาณที่ป้อนเข้ามามีค่าต่ำกว่า -10 dB ทุกตัวและในการสร้างตัวคัปเปลอร์แบบไอบริดที่สามารถปรับเปลี่ยนเฟสได้ที่สามารถทำงานได้ในย่านความถี่ 2.4 GHz ที่ออกแบบจากโปรแกรม CST MICROWAVE STUDIO สามารถใช้งานได้ตรงตามความต้องการแบบไว้และมีประสิทธิภาพตรงตามวัตถุประสงค์ที่ออกแบบมาเพื่อการใช้งานจริง

บทที่ 4

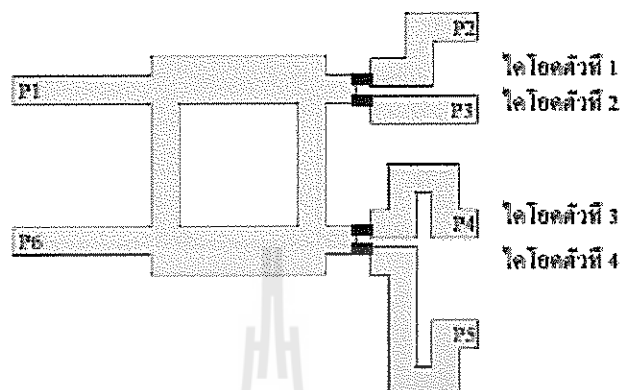
ผลการทดสอบอุปกรณ์ต้นแบบ

4.1 บทนำ

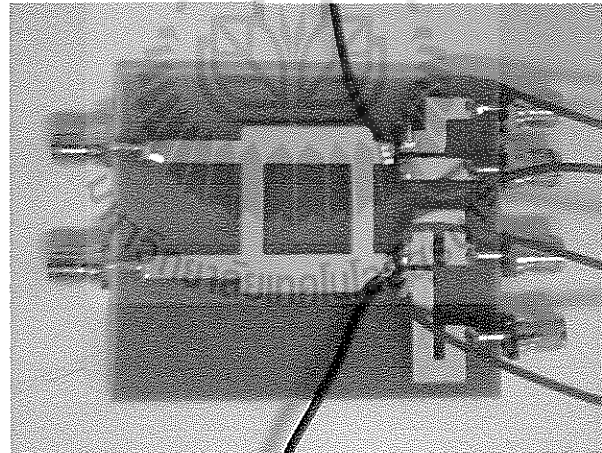
ในบทนี้จะกล่าวถึงการสร้างและการวัดผลที่ได้จากตัวไซบридจัปเปโลร์แบบ 90 องศา ที่สามารถเลือกมุมไฟส่องเอาท์พุตได้หลายมุม ซึ่งจะนำตัวไซบридจัปเปโลร์แบบ 90 องศา ที่ได้ออกแบบจากโปรแกรม CST MICROWAVE STUDIO ในบทที่ 3 มาต่อเข้ากับเส้นไมโครสติปที่มีความยาวต่างๆ โดยใช้ไดโอดเป็นตัวสวิตช์เพื่อเลือกความยาวของเส้นไมโครสติปที่นำมาต่อ กับตัวไซบридจัปเปโลร์แบบ 90 องศา เพื่อให้ได้มุมไฟส่องที่ต่างกันไปจากตัวไซบридจัปเปโลร์แบบ 90 องศา แบบปกติ

4.2 การสร้างตัวไซบридจัปเปโลร์แบบ 90 องศาที่สามารถเลือกมุมไฟส่องเอาท์พุตได้หลายมุมโดยใช้ไดโอดเป็นตัวสวิตช์เพื่อเลือกความยาวของเส้นไมโครสติป

1. นำตัวไซบридจัปเปโลร์แบบ 90 องศาที่ออกแบบจากโปรแกรม CST MICROWAVE STUDIO ไปตัดสติกเกอร์เพื่อใช้ในการกัดแผ่นปริน
2. ตัดแผ่นปรินให้ได้ขนาดกว้าง 5 ซม. ยาว 5.5 ซม.
3. นำสติกเกอร์ที่ตัดเตรียมไว้ติดลงบนแผ่นปริน
4. กัดลายโดยนำแผ่นปรินจากขั้นตอนที่ 3 แข็งลงในน้ำยา กัดแห้งวงจรและเขย่าประมาณ 10-15 นาที เมื่อหงดแห้งในส่วนที่ไม่ต้องการหลุดออกหมดจึงนำไปรีบูนที่กัดได้ไปล้างด้วยน้ำสะอาด
5. บัดกรีตัวไดโอดและสายไฟลงในวงจร
6. ต่อหัวต่อ SMA เข้ากับแผ่นปรินที่ได้จากขั้นตอนที่ 5



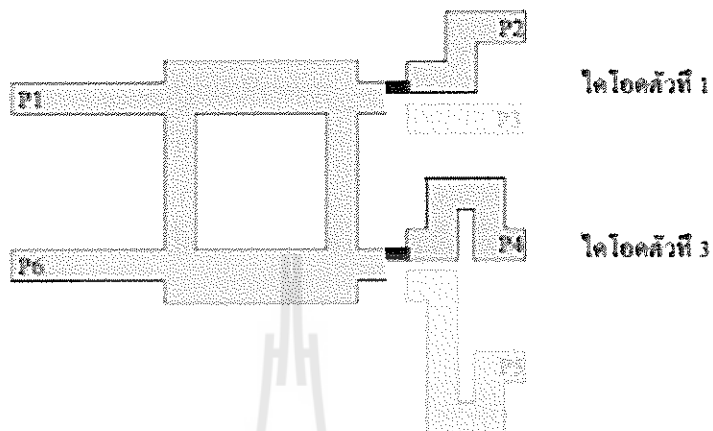
ຮູບທີ 4.1 ຕັວໄຂນຣິຄຈົກປະເປດອົບທີ່ໃຊ້ໄດ້ໂອດເປັນຕົວສວິດໜີເລືອກຄວາມຍາວຂອງເສັ້ນໄມໂກຮສຕິປ



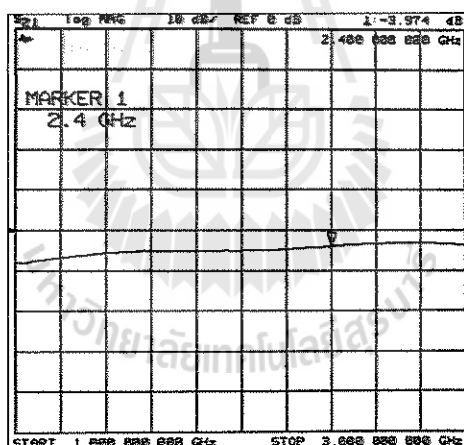
ຮູບທີ 4.2 ຕັວໄຂນຣິຄຈົກປະເປດອົບທີ່ນັດກຽມຕົວໄດໂອດແລະສາຍໄຟລົງໃນວົງຈະແລ້ວ

4.3 ผลการทดสอบอุปกรณ์ต้นแบบด้วยเครื่องวิเคราะห์โครงข่าย

4.3.1 เมื่อจ่ายไฟให้โดยออดคัวที่ 1 และ 3 ทำงาน



รูปที่ 4.3 ตัวไนบริกคัปปลอร์เมื่อจ่ายไฟให้โดยออดคัวที่ 1 และ 3 ทำงาน



รูปที่ 4.4 กราฟแสดงค่าการส่งผ่านของพลังงานของพารามิเตอร์ S21

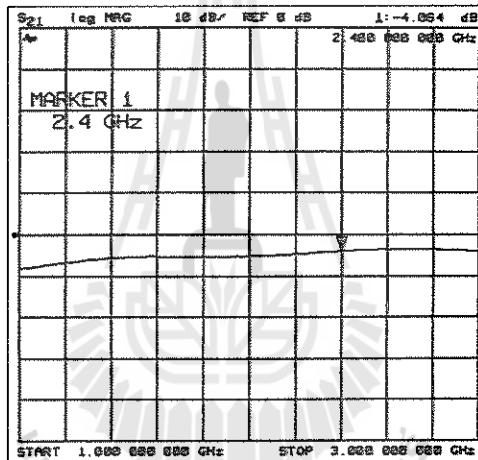
จากราฟพารามิเตอร์ S21 มีค่าการส่งผ่านของพลังงานเท่ากับ -3.974 dB คือจะทำให้เกิดการส่งผ่านของพลังงานเท่ากับ 40.05% คำนวณได้จากสมการ

$$\% \frac{\text{output Power}}{\text{input Power}} = \left(10^{\frac{\text{gain dB}}{10}} \right) \times 100\%$$

$$\% \frac{output\ Power}{input\ Power} = \left(10^{\frac{-3.974\ dB}{10}} \right) \times 100\%$$

$$\% \frac{output\ Power}{input\ Power} = 40.05\%$$

ซึ่งค่าการส่งผ่านของพลังงานที่วัด ได้คือ -3.974 dB นั้น มีค่าใกล้เคียงกับ -3 dB ซึ่งเป็นครั้งหนึ่งของพลังงานข้ามชาติ



รูปที่ 4.5 กราฟแสดงค่าการส่งผ่านของพลังงานของพารามิเตอร์ S41

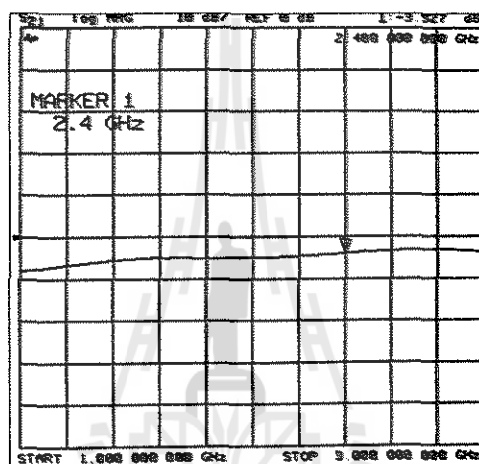
จากราฟพารามิเตอร์ S41 มีค่าการส่งผ่านของพลังงานเท่ากับ -4.064 dB คือจะทำให้เกิดการส่งผ่านของพลังงานเท่ากับ 39.22% คำนวณได้จากสมการ

$$\% \frac{output\ Power}{input\ Power} = \left(10^{\frac{gain\ dB}{10}} \right) \times 100\%$$

$$\% \frac{output\ Power}{input\ Power} = \left(10^{\frac{-4.064\ dB}{10}} \right) \times 100\%$$

$$\% \frac{output\ Power}{input\ Power} = 39.22\%$$

ซึ่งค่าการส่งผ่านของพลังงานที่วัดได้คือ -4.064 dB นั้น มีค่าใกล้เคียงกับ -3 dB ซึ่งเป็นคริ่งหนึ่งของพลังงานขาเข้า



รูปที่ 4.6 กราฟแสดงค่าการส่งผ่านของพลังงานของพารามิเตอร์ S26

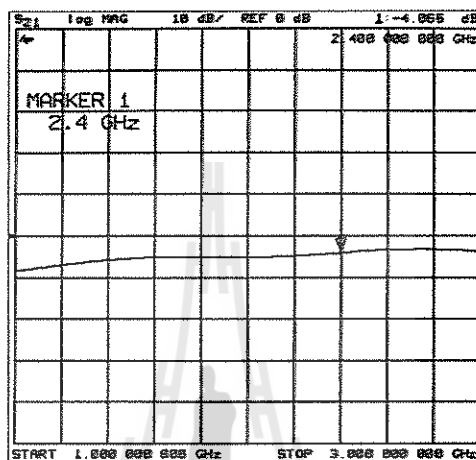
จากกราฟพารามิเตอร์ S26 มีค่าการส่งผ่านของพลังงานเท่ากับ -3.927 dB ก็จะทำให้เกิดการส่งผ่านของพลังงานเท่ากับ 40.48% คำนวนได้จากสมการ

$$\% \frac{output\ Power}{input\ Power} = \left(10^{\frac{gain\ dB}{10}} \right) \times 100\%$$

$$\% \frac{output\ Power}{input\ Power} = \left(10^{\frac{-3.927\ dB}{10}} \right) \times 100\%$$

$$\% \frac{output\ Power}{input\ Power} = 40.48\%$$

ซึ่งค่าการส่งผ่านของพลังงานที่วัดได้คือ -3.927 dB นั้น มีค่าใกล้เคียงกับ -3 dB ซึ่งเป็นครึ่งหนึ่งของพลังงานขาเข้า



รูปที่ 4.7 กราฟแสดงค่าการส่งผ่านของพลังงานของพารามิเตอร์ S46

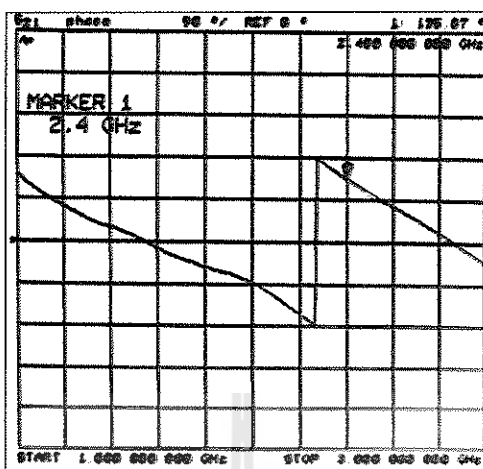
จากราฟพารามิเตอร์ S46 มีค่าการส่งผ่านของพลังงานเท่ากับ -4.065 dB คือจะทำให้เกิดการส่งผ่านของพลังงานเท่ากับ 39.21% คำนวณได้จากสมการ

$$\% \frac{\text{output Power}}{\text{input Power}} = \left(10^{\frac{\text{gain dB}}{10}} \right) \times 100\%$$

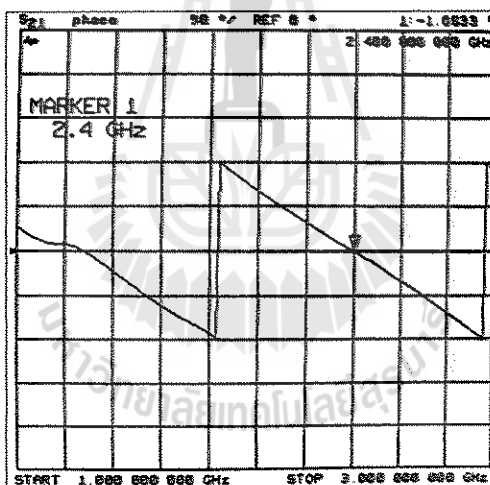
$$\% \frac{\text{output Power}}{\text{input Power}} = \left(10^{\frac{-4.065 \text{dB}}{10}} \right) \times 100\%$$

$$\% \frac{\text{output Power}}{\text{input Power}} = 39.21\%$$

ซึ่งค่าการส่งผ่านของพลังงานที่วัดได้คือ -4.065 dB นั้น มีค่าใกล้เคียงกับ -3 dB ซึ่งเป็นครึ่งหนึ่งของพลังงานขาเข้า

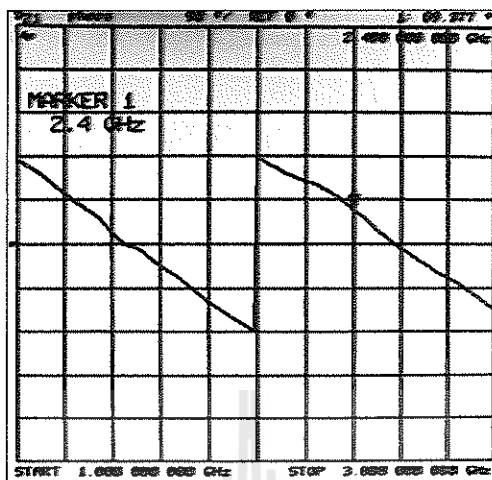


รูปที่ 4.8 กราฟแสดงค่ามุมไฟสของพารามิเตอร์ S₂₁

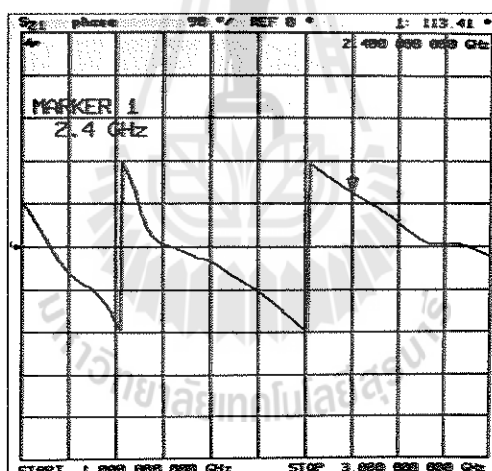


รูปที่ 4.9 กราฟแสดงค่ามุมไฟสของพารามิเตอร์ S₄₁

จากรูปที่ 4.8 และรูปที่ 4.9 นั้น พารามิเตอร์ S₂₁ มีมุมไฟสเท่ากับ -136.07 องศา ส่วน พารามิเตอร์ S₄₁ มีมุมไฟสเท่ากับ -1.0553 องศา มุมไฟสต่างกันคือ 135 องศา ซึ่งเป็นค่าที่ใช้ได้เนื่องจาก มีค่าใกล้เคียงกับผลจากการออกแบบด้วยโปรแกรม CST MICROWAVE STUDIO ในบทที่ 3



รูปที่ 4.10 กราฟแสดงค่ามุนุมเฟสของพารามิเตอร์ S26



รูปที่ 4.11 กราฟแสดงค่ามุนุมเฟสของพารามิเตอร์ S46

จากรูปที่ 4.10 และรูปที่ 4.11 นั้นพารามิเตอร์ S26 มีมุนุมเฟสเท่ากับ 69.377 องศา ส่วนพารามิเตอร์ S46 มีมุนุมเฟสเท่ากับ 113.41 องศา มุนุมเฟสต่างกันคือ 44.03 องศา ซึ่งเป็นค่าที่ใช้ได้เนื่องจากมีค่าใกล้เคียงกับผลจากการออกแบบด้วยโปรแกรม CST MICROWAVE STUDIO ในบทที่ 3

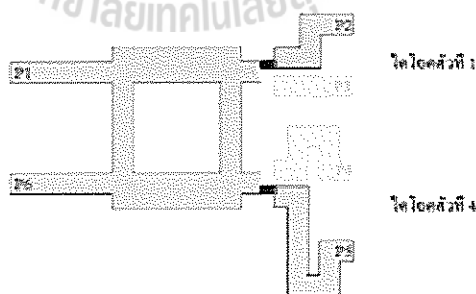
ตารางที่ 4.1 แสดงพารามิเตอร์ต่างๆของไซบอร์ดคัปเปลอร์แบบ 90 องศา เมื่อจ่ายไฟให้โดยออดตัวที่ 1 และ 3 ทำงาน

| พารามิเตอร์ | ขนาด (dB) | | เฟส (degree) | | ความต่างเฟส (degree) |
|-------------|-----------|--------|--------------|---------|-------------------------|
| | S2 | S4 | S2 | S4 | |
| S1 | -3.974 | -4.064 | -136.07 | -1.0553 | 135 |
| S6 | -3.927 | -4.065 | 69.4 | 113 | 44.03 |

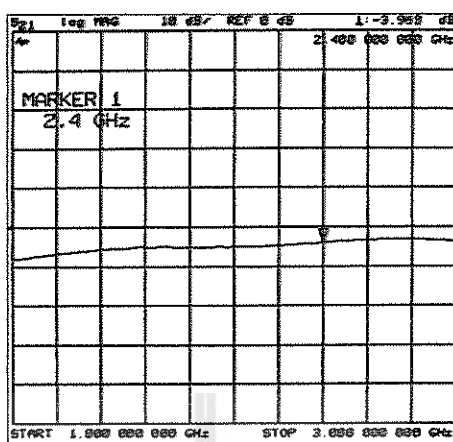
จาก ตารางที่ 4.1 แสดงพารามิเตอร์ต่างๆของไซบอร์ดคัปเปลอร์แบบ 90 องศาเมื่อจ่ายไฟให้โดยออดตัวที่ 1 และ 3 ทำงาน จะเห็นได้ว่าขนาดของ S21, S41, S26 และ S46 มีค่าต่ำกว่า -3 dB ซึ่งแสดงว่ามีการส่งผ่านพลังงานน้อยกว่าครึ่งหนึ่งของพลังงานขาเข้า และเมื่อเปรียบเทียบค่าเฟสของพารามิเตอร์ S21 และ S41 จะได้ความต่างเฟสเท่ากับ 135 องศา เมื่อเปรียบเทียบค่าเฟสของพารามิเตอร์ S26 และ S46 จะได้ความต่างเฟสเท่ากับ 44.03 องศา หรือประมาณ 45 องศา ซึ่งเป็นค่าที่ใช้ได้เนื่องจากมีค่าใกล้เคียงกับผลจากการออกแบบด้วยโปรแกรม โปรแกรม CST MICROWAVE STUDIO ในบทที่

3

4.3.2 เมื่อจ่ายไฟให้โดยออดตัวที่ 1 และ 4 ทำงาน



รูปที่ 4.12 ภาพตัวไซบอร์ดคัปเปลอร์เมื่อจ่ายไฟให้โดยออดตัวที่ 1 และ 4 ทำงาน



รูปที่ 4.13 กราฟแสดงค่าการส่งผ่านของพลังงานของพารามิเตอร์ S21

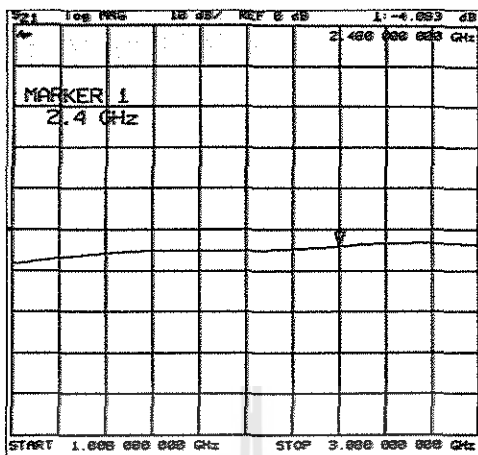
จากกราฟพารามิเตอร์ S21 มีค่าการส่งผ่านของพลังงานเท่ากับ -3.092 dB คือจะทำให้เกิดการส่งผ่านของพลังงานเท่ากับ 40.55% คำนวณได้จากสมการ

$$\% \frac{\text{output Power}}{\text{input Power}} = \left(10^{\frac{\text{gain dB}}{10}} \right) \times 100\%$$

$$\% \frac{\text{output Power}}{\text{input Power}} = \left(10^{\frac{-3.092\text{dB}}{10}} \right) \times 100\%$$

$$\% \frac{\text{output Power}}{\text{input Power}} = 40.55\%$$

ซึ่งค่าการส่งผ่านของพลังงานที่วัดได้คือ -3.092 dB นั้น มีค่าใกล้เคียงกับ -3 dB ซึ่งเป็นครึ่งหนึ่งของพลังงานเข้า



รูปที่ 4.14 กราฟแสดงค่าการส่งผ่านของพลังงานของพารามิเตอร์ S51

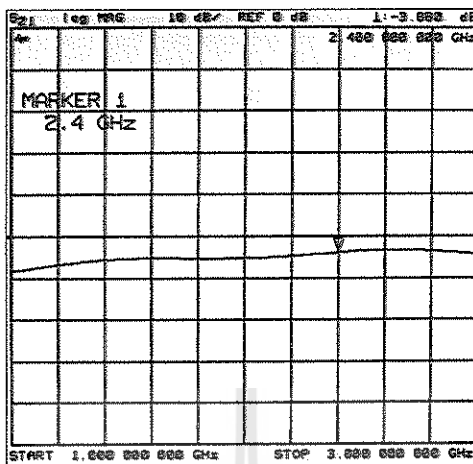
จากร้าฟพารามิเตอร์ S51 มีค่าการส่งผ่านของพลังงานเท่ากับ -4.083 dB คือจะทำให้เกิดการส่งผ่านของพลังงานเท่ากับ 39.06% คำนวณได้จากสมการ

$$\% \frac{\text{output Power}}{\text{input Power}} = \left(10^{\frac{\text{gain dB}}{10}} \right) \times 100\%$$

$$\% \frac{\text{output Power}}{\text{input Power}} = \left(10^{\frac{-4.083 \text{ dB}}{10}} \right) \times 100\%$$

$$\% \frac{\text{output Power}}{\text{input Power}} = 39.06\%$$

ซึ่งค่าการส่งผ่านของพลังงานที่วัดได้คือ -4.083 dB นั้น มีค่าใกล้เคียงกับ -3 dB ซึ่งเป็นครึ่งหนึ่งของพลังงานขาเข้า



รูปที่ 4.15 กราฟแสดงค่าการส่งผ่านของพลังงานของพารามิเตอร์ S26

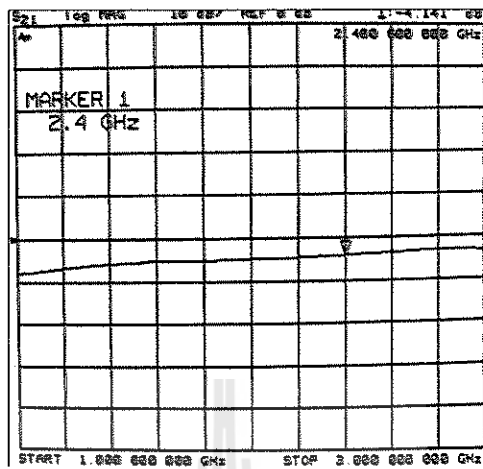
จากร้าฟพารามิเตอร์ S26 มีค่าการส่งผ่านของพลังงานเท่ากับ -3.888 dB คือจะทำให้เกิดการส่งผ่านของพลังงานเท่ากับ 40.85% คำนวณได้จากสมการ

$$\% \frac{\text{output Power}}{\text{input Power}} = \left(10^{\frac{\text{gain dB}}{10}} \right) \times 100\%$$

$$\% \frac{\text{output Power}}{\text{input Power}} = \left(10^{\frac{-3.888 \text{ dB}}{10}} \right) \times 100\%$$

$$\% \frac{\text{output Power}}{\text{input Power}} = 40.85\%$$

ซึ่งค่าการส่งผ่านของพลังงานที่วัดได้คือ -3.888 dB นั้น มีค่าใกล้เคียงกับ -3 dB ซึ่งเป็นครึ่งหนึ่งของพลังงานเข้า



รูปที่ 4.16 กราฟแสดงค่าการส่งผ่านของพลังงานของพารามิเตอร์ S56

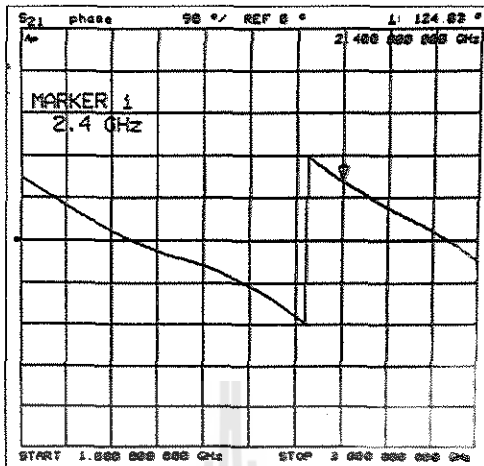
จากราฟพารามิเตอร์ S56 มีค่าการส่งผ่านของพลังงานเท่ากับ -4.141 dB คือจะทำให้เกิดการส่งผ่านของพลังงานเท่ากับ 38.54% คำนวณได้จากสมการ

$$\% \frac{\text{output Power}}{\text{input Power}} = \left(10^{\frac{\text{gain dB}}{10}} \right) \times 100\%$$

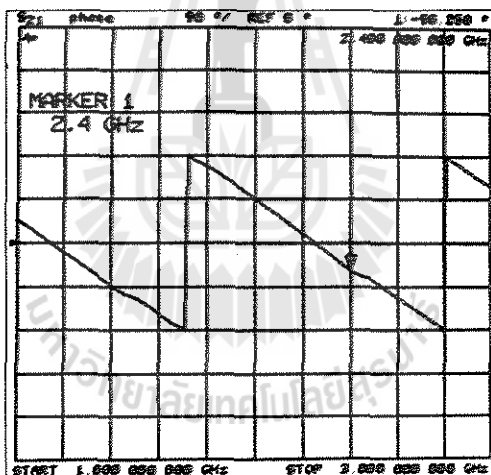
$$\% \frac{\text{output Power}}{\text{input Power}} = \left(10^{\frac{-4.141 \text{ dB}}{10}} \right) \times 100\%$$

$$\% \frac{\text{output Power}}{\text{input Power}} = 38.54\%$$

ซึ่งค่าการส่งผ่านของพลังงานที่วัดได้คือ -4.141 dB นั้น มีค่าใกล้เคียงกับ -3 dB ซึ่งเป็นครึ่งหนึ่งของพลังงานขาเข้า

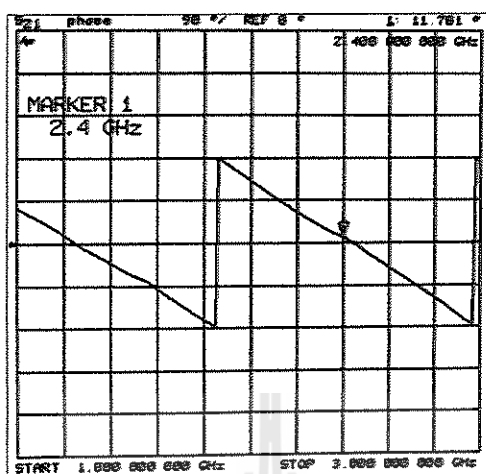


รูปที่ 4.17 กราฟแสดงค่ามุมเฟสของพารามิเตอร์ S21

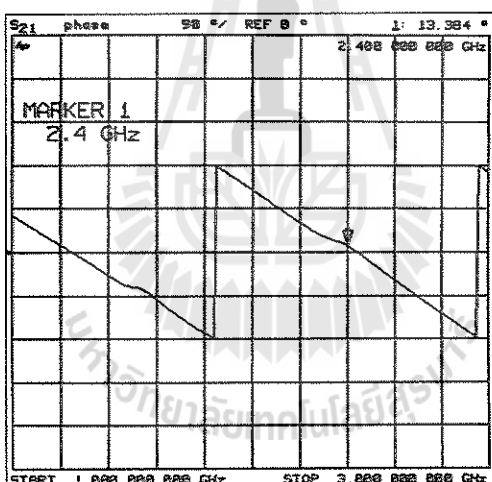


รูปที่ 4.18 กราฟแสดงค่ามุมเฟสของพารามิเตอร์ S51

จากรูปที่ 4.17 และรูปที่ 4.18 นั้น พารามิเตอร์ S21 มีมุมเฟสเท่ากับ 124.83 องศา ส่วน พารามิเตอร์ S51 มีมุมเฟสเท่ากับ -56.25 องศา มุมเฟสต่างกันถึง 181.08 องศา ซึ่งเป็นค่าที่ใช้ได้ เนื่องจากมีค่าใกล้เคียงกับผลจากการออกแบบด้วยโปรแกรม CST MICROWAVE STUDIO ในบทที่ 3



รูปที่ 4.19 กราฟแสดงค่ามุนเพสของพารามิเตอร์ S26



รูปที่ 4.20 กราฟแสดงค่ามุนเพสของพารามิเตอร์ S56

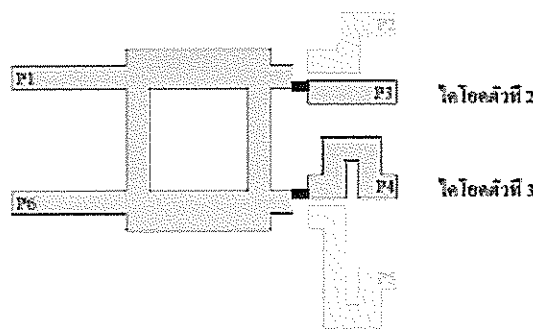
จากรูปที่ 4.19 และรูปที่ 4.20 นั้นพารามิเตอร์ S26 มีมุนเพสเท่ากับ 11.78 องศา ส่วนพารามิเตอร์ S56 มีมุนเพสเท่ากับ 13.38 องศา มุนเพสต่างกันถึง 1.6 องศา ซึ่งเป็นค่าที่ใช้ได้นีองจากมีค่าใกล้เคียงกันผลจากการออกแบบด้วยโปรแกรม CST MICROWAVE STUDIO ในบทที่ 3

ตารางที่ 4.2 แสดงพารามิเตอร์ต่างๆของไอบริดคัปเบลอร์แบบ 90 องศาเมื่อจ่ายไฟให้โดยออดตัวที่ 1 และ 4 ทำงาน

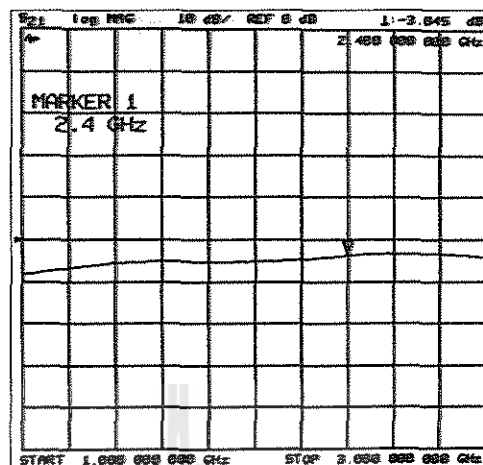
| พารามิเตอร์ | ขนาด(dB) | | เฟส (degree) | | ความต่างเฟส (degree) |
|-------------|----------|--------|--------------|--------|-------------------------|
| | S2 | S5 | S2 | S5 | |
| S1 | -3.902 | -4.083 | 124.83 | -56.25 | 181.08 |
| S6 | -3.888dB | -4.141 | 11.78 | 13.38 | 1.6 |

จาก ตารางที่ 4.2 แสดงพารามิเตอร์ต่างๆของไอบริดคัปเบลอร์แบบ 90 องศาเมื่อจ่ายไฟให้โดยออดตัวที่ 1 และ 4 ทำงาน จะเห็นได้ว่าขนาดของ S21, S51, S26 และ S56 มีค่ามากกว่า -3 dB ซึ่งแสดงว่ามีการส่งผ่านพลังงานน้อยกว่าครึ่งหนึ่งของพลังงานขาเข้า และเมื่อเปรียบเทียบค่าเฟสของพารามิเตอร์ S21 และ S51 จะได้ความต่างเฟสเท่ากับ 181.08 องศา หรือประมาณ 180 องศา และเมื่อเปรียบเทียบค่าเฟสของพารามิเตอร์ S26 และ S56 จะได้ความต่างเฟสเท่ากับ 1.6 องศา หรือประมาณ 0 องศาซึ่งเป็นค่าที่ใช้ได้เนื่องจากมีค่าใกล้เคียงกับผลจากการออกแบบด้วยโปรแกรม CST MICROWAVE STUDIO ในบทที่ 3

4.3.3 เมื่อจ่ายไฟให้โดยออดตัวที่ 2 และ 3 ทำงาน



รูปที่ 4.21 ภาพตัวคัปเบลอร์แบบไอบริดเมื่อจ่ายไฟให้โดยออดตัวที่ 2 และ 3 ทำงาน



รูปที่ 4.22 กราฟแสดงค่าการส่งผ่านของพลังงานของพารามิเตอร์ S31

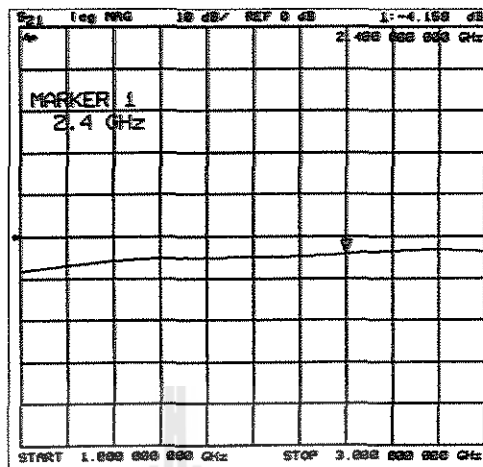
จากราฟพารามิเตอร์ S31 มีค่าการส่งผ่านของพลังงานเท่ากับ -3.845 dB ที่จะทำให้เกิดการส่งผ่านของพลังงานเท่ากับ 41.25% คำนวณได้จากสมการ

$$\% \frac{\text{output Power}}{\text{input Power}} = \left(10^{\frac{\text{gain dB}}{10}} \right) \times 100\%$$

$$\% \frac{output\ Power}{input\ Power} = \left(10^{\frac{-3.845\ dB}{10}} \right) \times 100\%$$

$$\% \frac{\text{output Power}}{\text{input Power}} = 41.25\%$$

ซึ่งค่าการส่งผ่านของพลังงานที่วัดได้คือ -3.845 dB นั้น มีค่าใกล้เคียงกับ -3 dB ซึ่งเป็นคริ่งหนึ่งของพลังงานขาเข้า



รูปที่ 4.23 กราฟแสดงค่าการส่งผ่านของพลังงานของพารามิเตอร์ S41

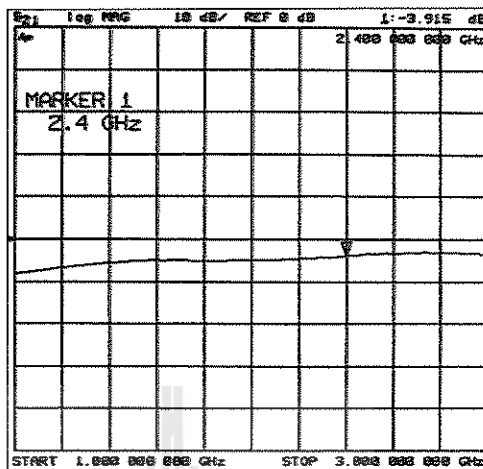
จากกราฟพารามิเตอร์ S41 มีค่าการส่งผ่านของพลังงานเท่ากับ -4.158 dB คือจะทำให้เกิดการส่งผ่านของพลังงานเท่ากับ 38.84% คำนวณได้จากสมการ

$$\% \frac{\text{output Power}}{\text{input Power}} = \left(10^{\frac{\text{gain dB}}{10}} \right) \times 100\%$$

$$\% \frac{\text{output Power}}{\text{input Power}} = \left(10^{\frac{-4.158\text{dB}}{10}} \right) \times 100\%$$

$$\% \frac{\text{output Power}}{\text{input Power}} = 38.84\%$$

ซึ่งค่าการส่งผ่านของพลังงานที่วัดได้คือ -4.158 dB นั้น มีค่าใกล้เคียงกับ -3 dB ซึ่งเป็นคริ่งหนึ่งของพลังงานขาเข้า



รูปที่ 4.24 กราฟแสดงค่าการส่งผ่านของพลังงานของพารามิเตอร์ S36

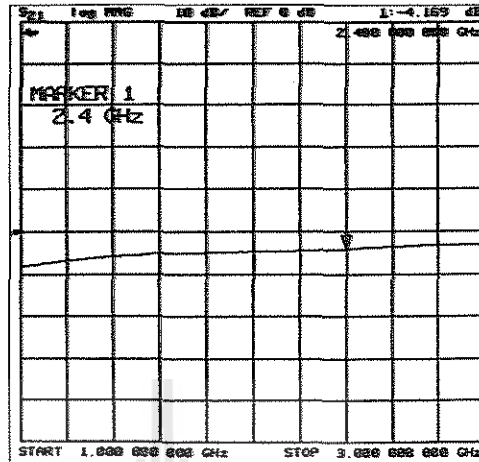
จากราฟพารามิเตอร์ S36 มีค่าการส่งผ่านของพลังงานเท่ากับ -3.915 dB คือจะทำให้เกิดการส่งผ่านของพลังงานเท่ากับ 40.59% คำนวณได้จากสมการ

$$\% \frac{\text{output Power}}{\text{input Power}} = \left(10^{\frac{\text{gain dB}}{10}} \right) \times 100\%$$

$$\% \frac{\text{output Power}}{\text{input Power}} = \left(10^{\frac{-3.915 \text{ dB}}{10}} \right) \times 100\%$$

$$\% \frac{\text{output Power}}{\text{input Power}} = 40.59\%$$

ซึ่งค่าการส่งผ่านของพลังงานที่วัดได้คือ -3.915 dB นั้น มีค่าใกล้เคียงกับ -3 dB ซึ่งเป็นคริ่งหนึ่งของพลังงานขาเข้า



รูปที่ 4.25 กราฟแสดงค่าการส่งผ่านของพลังงานของพารามิเตอร์ S46

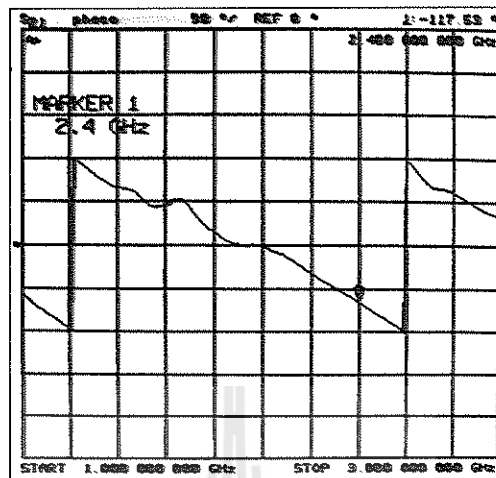
จากราฟพารามิเตอร์ S46 มีค่าการส่งผ่านของพลังงานเท่ากับ -4.169 dB คือจะทำให้เกิดการส่งผ่านของพลังงานเท่ากับ 38.29% คำนวณได้จากสมการ

$$\% \frac{\text{output Power}}{\text{input Power}} = \left(10^{\frac{\text{gain dB}}{10}} \right) \times 100\%$$

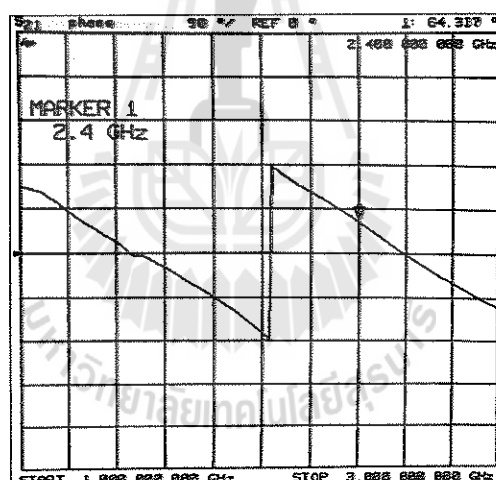
$$\% \frac{\text{output Power}}{\text{input Power}} = \left(10^{\frac{-4.169 \text{ dB}}{10}} \right) \times 100\%$$

$$\% \frac{\text{output Power}}{\text{input Power}} = 38.29\%$$

ซึ่งค่าการส่งผ่านของพลังงานที่วัดได้คือ -4.169 dB นั้น มีค่าใกล้เคียงกับ -3 dB ซึ่งเป็นคริ่งหนึ่งของพลังงานขาเข้า

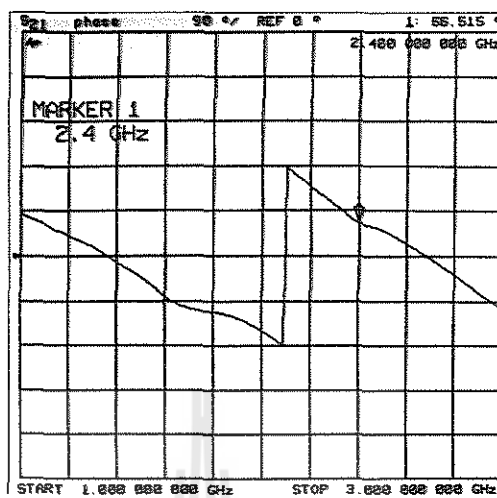


รูปที่ 4.26 กราฟแสดงค่ามุมเพสของพารามิเตอร์ S31

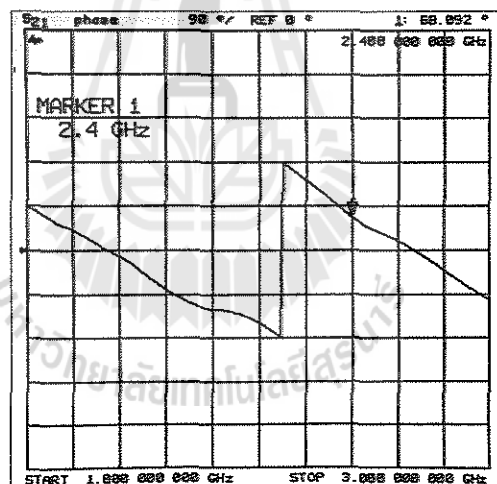


รูปที่ 4.27 กราฟแสดงค่ามุมเพสของพารามิเตอร์ S41

จากรูปที่ 4.26 และรูปที่ 4.27 นั้น พารามิเตอร์ S31 มีมุมเพสเท่ากับ -117.53 องศา ส่วน พารามิเตอร์ S41 มีมุมเพสเท่ากับ 64.317 องศา มุมเพสต่างกันคือ 181.84 องศา ซึ่งเป็นค่าที่ใช้ได้ เนื่องจากมีค่าใกล้เคียงกับผลจากการออกแบบด้วยโปรแกรม CST MICROWAVE STUDIO ในบทที่ 3



รูปที่ 4.28 กราฟแสดงค่ามุมเฟสของพารามิเตอร์ S36



รูปที่ 4.29 กราฟแสดงค่ามุมเฟสของพารามิเตอร์ S46

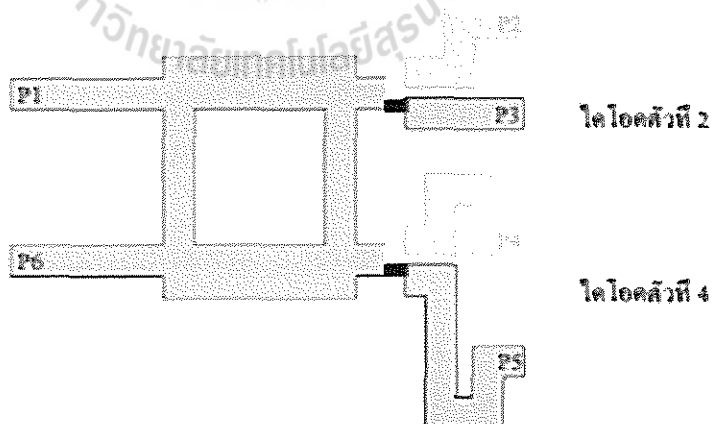
จากรูปที่ 4.28 และรูปที่ 4.29 นั้น พารามิเตอร์ S36 มีมุมเฟสเท่ากับ 66.151 องศา ส่วน พารามิเตอร์ S46 มีมุมเฟสเท่ากับ 68.092 องศา มุมเฟสต่างกันคือ 1.941 องศา ซึ่งเป็นค่าที่ใช้ได้เนื่องจาก มีค่าไกส์เคียงกับผลจากการออกแบบด้วยโปรแกรม CST MICROWAVE STUDIO ในบทที่ 3

ตารางที่ 4.3 แสดงพารามิเตอร์ต่างๆของไซบридจ์คัปเปลอร์แบบ 90 องศาเมื่อจ่ายไฟให้โดยโอดคัตว์ที่ 2 และ 3 ทำงาน

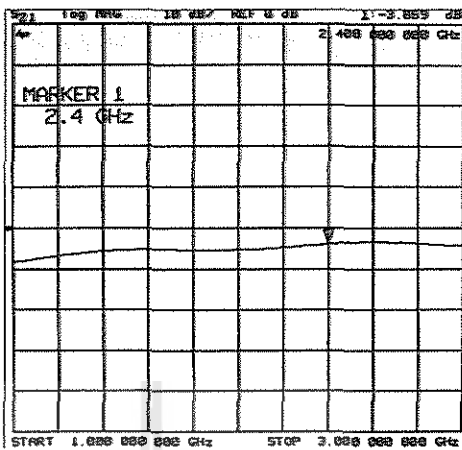
| พารามิเตอร์ | Magnitude (dB) | | เฟส (degree) | | ความต่างเฟส (degree) |
|-------------|----------------|--------|--------------|--------|-------------------------|
| | S3 | S4 | S3 | S4 | |
| S1 | -3.845 | -4.158 | -117.53 | 64.317 | 181.84 |
| S6 | -3.915 | -4.169 | 66.151 | 68.092 | 1.941 |

จาก ตารางที่ 4.3 แสดงพารามิเตอร์ต่างๆของไซบридจ์คัปเปลอร์แบบ 90 องศา เมื่อจ่ายไฟให้โดยโอดคัตว์ที่ 2 และ 3 ทำงาน ทำงาน จะเห็นได้ว่าขนาดของ S31, S41, S36 และ S46 มีค่าต่ำกว่า -3 dB ซึ่งแสดงว่ามีการส่งผ่านพลังงานน้อยกว่าครึ่งหนึ่งของพลังงานขาเข้า และเมื่อเปรียบเทียบค่าเฟสของพารามิเตอร์ S31 และ S41 จะได้ความต่างเฟสเท่ากับ 181.84 องศา หรือประมาณ 180 องศา และเมื่อเปรียบเทียบค่าเฟสของพารามิเตอร์ S36 และ S46 จะได้ความต่างเฟสเท่ากับ 1.941 องศา หรือประมาณ 0 องศา ซึ่งเป็นค่าที่ใช้ได้เนื่องจากมีค่าใกล้เคียงกับผลจากการออกแบบด้วยโปรแกรม โปรแกรม CST MICROWAVE STUDIO ในบทที่ 3

4.3.4 เมื่อจ่ายไฟให้โดยโอดคัตว์ที่ 2 และ 4 ทำงาน



รูปที่ 4.30 ภาพด้วยคัปเปลอร์แบบไซบридจ์เมื่อจ่ายไฟให้โดยโอดคัตว์ที่ 2 และ 4 ทำงาน



รูปที่ 4.31 กราฟแสดงค่าการส่งผ่านของพลังงานของพารามิเตอร์ S31

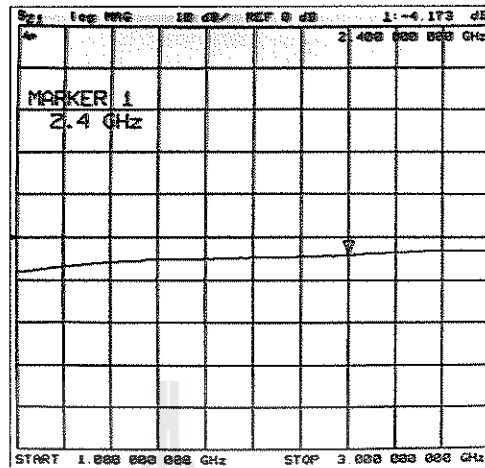
จากกราฟพารามิเตอร์ S31 มีค่าการส่งผ่านของพลังงานเท่ากับ -3.069 dB คือจะทำให้เกิดการส่งผ่านของพลังงานเท่ากับ 49.33% คำนวณได้จากสมการ

$$\% \frac{\text{output Power}}{\text{input Power}} = \left(10^{\frac{\text{gain dB}}{10}} \right) \times 100\%$$

$$\% \frac{\text{output Power}}{\text{input Power}} = \left(10^{\frac{-3.069 \text{ dB}}{10}} \right) \times 100\%$$

$$\% \frac{\text{output Power}}{\text{input Power}} = 49.33\%$$

ซึ่งค่าการส่งผ่านของพลังงานที่วัดได้คือ -3.069 dB นั้น มีค่าใกล้เคียงกับ -3 dB ซึ่งเป็นครึ่งหนึ่งของพลังงานขาเข้า



รูปที่ 4.32 กราฟแสดงค่าการส่งผ่านของพลังงานของพารามิเตอร์ S51

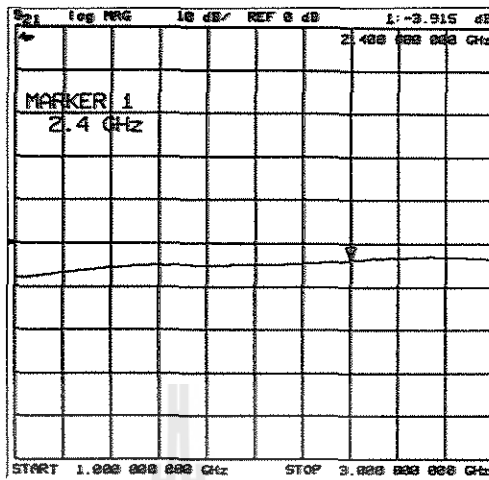
จากราฟพารามิเตอร์ S51 มีค่าการส่งผ่านของพลังงานเท่ากับ -4.173 dB คือจะทำให้เกิดการส่งผ่านของพลังงานเท่ากับ 38.25% คำนวนได้จากสมการ

$$\% \frac{\text{output Power}}{\text{input Power}} = \left(10^{\frac{\text{gain dB}}{10}} \right) \times 100\%$$

$$\% \frac{\text{output Power}}{\text{input Power}} = \left(10^{\frac{-4.173 \text{ dB}}{10}} \right) \times 100\%$$

$$\% \frac{\text{output Power}}{\text{input Power}} = 38.25\%$$

ซึ่งค่าการส่งผ่านของพลังงานที่วัดได้คือ -4.173 dB นั้น มีค่าใกล้เคียงกับ -3 dB ซึ่งเป็นคริ่งหนึ่งของพลังงานขาเข้า



รูปที่ 4.33 กราฟแสดงค่าการส่งผ่านของพลังงานของพารามิเตอร์ S36

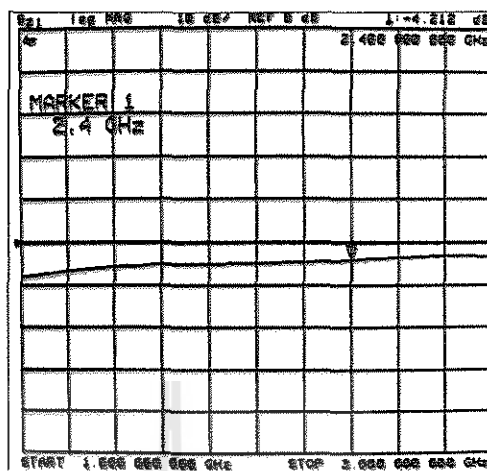
จากกราฟพารามิเตอร์ S36 มีค่าการส่งผ่านของพลังงานเท่ากับ -3.915 dB คือจะทำให้เกิดการส่งผ่านของพลังงานเท่ากับ 40.59% คำนวณได้จากสมการ

$$\% \frac{\text{output Power}}{\text{input Power}} = \left(10^{\frac{\text{gain dB}}{10}} \right) \times 100\%$$

$$\% \frac{\text{output Power}}{\text{input Power}} = \left(10^{\frac{-3.915 \text{ dB}}{10}} \right) \times 100\%$$

$$\% \frac{\text{output Power}}{\text{input Power}} = 40.59\%$$

ซึ่งค่าการส่งผ่านของพลังงานที่วัดได้คือ -3.915 dB นั้น มีค่าใกล้เคียงกับ -3 dB ซึ่งเป็นครั้งหนึ่งของพลังงานเข้า



รูปที่ 4.34 กราฟแสดงค่าการส่งผ่านของพลังงานของพารามิเตอร์ S56

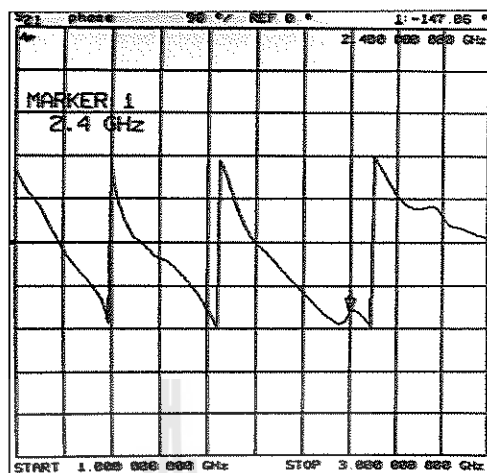
จากราฟพารามิเตอร์ S56 มีค่าการส่งผ่านของพลังงานเท่ากับ -4.212 dB คือจะทำให้เกิดการส่งผ่านของพลังงานเท่ากับ 37.91% คำนวณได้จากสมการ

$$\% \frac{\text{output Power}}{\text{input Power}} = \left(10^{\frac{\text{gain dB}}{10}} \right) \times 100\%$$

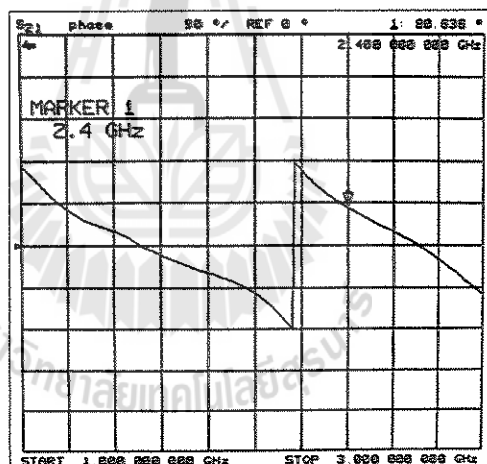
$$\% \frac{\text{output Power}}{\text{input Power}} = \left(10^{\frac{-4.212\text{dB}}{10}} \right) \times 100\%$$

$$\% \frac{\text{output Power}}{\text{input Power}} = 37.91\%$$

ซึ่งค่าการส่งผ่านของพลังงานที่วัดได้คือ -4.212 dB นั้น มีค่าใกล้เคียงกับ -3 dB ซึ่งเป็นครั้งหนึ่งของพลังงานขาเข้า

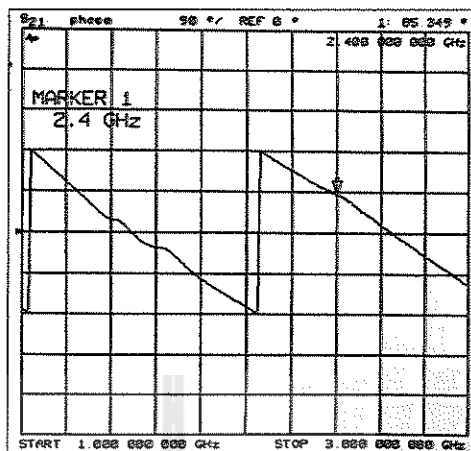


รูปที่ 4.35 กราฟแสดงค่ามุนเพสของพารามิเตอร์ $S31$

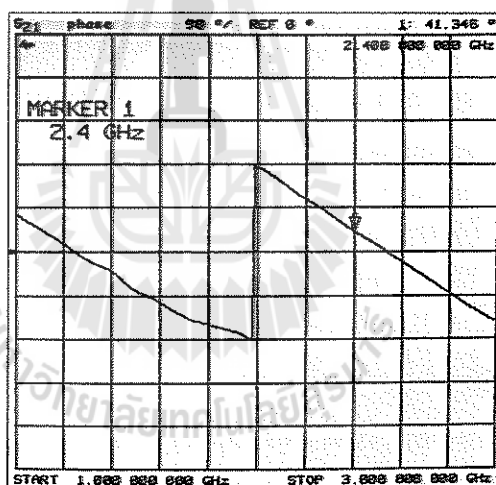


รูปที่ 4.36 กราฟแสดงค่ามุนเพสของพารามิเตอร์ $S51$

จากรูปที่ 4.35 และรูปที่ 4.36 นั้น พารามิเตอร์ $S31$ มีมุนเพสเท่ากับ -147.06 องศา ส่วน พารามิเตอร์ $S51$ มีมุนเพสเท่ากับ 88.636 องศา มุนเพสต่างกันคือ 227.696 องศา ซึ่งเป็นค่าที่ใช้ได้ เนื่องจากมีค่าใกล้เคียงกับผลจากการออกแบบด้วยโปรแกรม CST MICROWAVE STUDIO ในบทที่ 3



รูปที่ 4.37 กราฟแสดงค่ามุมเฟสของพารามิเตอร์ S36



รูปที่ 4.38 กราฟแสดงค่ามุมเฟสของพารามิเตอร์ S56

จากรูปที่ 4.37 และรูปที่ 4.38 นั้น พารามิเตอร์ S36 มีมุมเฟสเท่ากับ 85.349 องศา ต่อหน้า พารามิเตอร์ S56 มีมุมเฟสเท่ากับ 41.346 องศา มุมเฟสต่างกันคือ 44 องศา ซึ่งเป็นค่าที่ใช้ได้เนื่องจากมีค่าใกล้เคียงกับผลจากการออกแบบด้วยโปรแกรม CST MICROWAVE STUDIO ในบทที่ 3

ตารางที่ 4.4 แสดงพารามิเตอร์ต่างๆของไอบริดจ์คัปเปลอร์แบบ 90 องศาเมื่อจ่ายไฟให้ไอดิโอดค์ตัวที่ 2 และ 4 ทำงาน

| พารามิเตอร์ | ขนาด (dB) | | เฟส (degree) | | ความต่างเฟส (degree) |
|-------------|-----------|--------|--------------|--------|-------------------------|
| | S3 | S5 | S3 | S5 | |
| S1 | -3.069 | -4.173 | -147.06 | 80.636 | 227.696 |
| S6 | -3.915 | -4.212 | 85.349 | 41.346 | 44 |

จาก ตารางที่ 4.4 แสดงพารามิเตอร์ต่างๆของไอบริดจ์คัปเปลอร์แบบ 90 องศาเมื่อจ่ายไฟให้ไอดิโอดค์ตัวที่ 3 และ 4 ทำงาน จะเห็นได้ว่าขนาดของ S31, S51, S36 และ S56 มีค่าต่ำกว่า -3 dB ซึ่งแสดงว่ามีการส่งผ่านพลังงานน้อยกว่าครึ่งหนึ่งของพลังงานขาเข้า และเมื่อเปรียบเทียบค่าเฟสของพารามิเตอร์ S31 และ S51 จะได้ความต่างเฟสเท่ากับ 227.696 องศา หรือประมาณ 225 องศา และเมื่อเปรียบเทียบค่าเฟสของพารามิเตอร์ S36 และ S56 จะได้ความต่างเฟสเท่ากับ 44 องศา หรือประมาณ 45 องศาซึ่งเป็นค่าที่ใช้ได้นีองจากมีค่าใกล้เคียงกับผลจากการออกแบบด้วยโปรแกรม โปรแกรม CST MICROWAVE STUDIO ในบทที่ 3

4.4 ข้อสรุปท้ายบท

หลังจากที่ได้นำตัวไอบริดจ์คัปเปลอร์แบบ 90 องศาที่สามารถเลือกเลือกค่าความต่างเฟสของเอาท์พุตได้หลายค่า โดยใช้ไอดิโอดเป็นตัวสวิชต์เลือกความยาวของเส้นในโครงสร้างทางตอนประสาทที่ภาพการทำงาน โดยใช้งานในย่านความถี่ 2.4 GHz จะพบว่าไอบริดจ์คัปเปลอร์แบบ 90 องศา ดังกล่าวจะสามารถให้สัญญาณเอาท์พุตมีค่าความต่างเฟสที่แตกต่างกัน คือ 0, 45, 180, 135, 225 องศา

บทที่ 5

ข้อสรุปของโครงการ

5.1 บทนำ

เนื้อหาในบทนี้เป็นการกล่าวถึงบทสรุปของโครงการ การออกแบบและสร้างวงจรสลับสาย (switch line) ที่ต่อเข้ากับวงจรไฮบริดจ์คัปเพลอร์ 90 องศา ซึ่งประกอบไปด้วยปัญหาที่พบในขณะดำเนินการ วิธีการแก้ปัญหา ข้อเสนอแนะ และวิธีการพัฒนาโครงการต่อไป

5.2 ปัญหาที่พบและแนวทางในการแก้ไขปัญหา

ในการทำโครงการ การออกแบบและสร้างวงจรสลับสาย (switch line) ที่ต่อเข้ากับวงจร วงจรไฮบริดจ์คัปเพลอร์ 90 องศา ปรากฏปัญหาต่างๆดังแสดงไว้ในตารางที่ 5.1 ซึ่งประกอบไปด้วย ปัญหาที่พบ สาเหตุของปัญหาร่วมทั้งวิธีการแก้ไข

ตารางที่ 5.1 ปัญหาและสาเหตุที่พบในขณะดำเนินงานและวิธีการแก้ไข

| ปัญหาที่พบในขณะดำเนินงาน | สาเหตุและวิธีการแก้ปัญหา |
|---|--|
| ความล่าช้าในการใช้โปรแกรม CST MICROWAVE STUDIO ทำการออกแบบ | สาเหตุ เนื่องจากผู้ใช้โปรแกรมยังไม่มีความรู้มากพอที่จะใช้โปรแกรม CST MICROWAVE STUDIO ได้อย่างเต็มที่ วิธีการแก้ไข ผู้ใช้จะต้องหาคู่มือหนังสือการใช้โปรแกรมที่คลอบคลุมมาประกอบการใช้โปรแกรมและมั่นฝึกฝนการใช้โปรแกรมบ่อยๆ |
| การใช้งานเครื่องวิเคราะห์โครงข่าย (network analyzer) และตัว matching ในการวัดพารามิเตอร์ ต่างๆของตัวอุปกรณ์ | สาเหตุ เนื่องจากการใช้งานเครื่องวิเคราะห์โครงข่าย (network analyzer) ยังไม่มีปัญหาการวัดเนื่องจากการกำหนดค่าการ calibrate ต่างๆบางครั้งยังวัดได้ไม่ตรงตามจุดประสงค์ที่ตั้งไว้และอุปกรณ์ matching เกิดการชำรุดขึ้นหรือใช้งานไม่ได้ในขณะนั้น วิธีการแก้ไข ผู้ใช้งานจะต้องทำการ calibrate ค่าต่างๆในการวัดพารามิเตอร์ที่ต้องการทดสอบอย่างถูกวิธีตามคำแนะนำที่มีบอกในใบแนะนำการ calibrate เพื่อให้เหมาะสมกับอุปกรณ์ที่สร้างขึ้นในขณะที่ตัว matching เกิดการชำรุด จะต้องสั่งซื้ออุปกรณ์ใหม่และถ้าวัสดุค่าแล้วไม่ตรงตามที่เราออกแบบในโปรแกรม ตัว matching นั้นอาจจะใช้งานไม่ได้แล้วก็ต้องลองเปลี่ยนใช้ตัวใหม่ |

5.3 ข้อเสนอแนะ

5.3.1 ตัวโปรแกรม CST MICROWAVE STUDIO บางครั้งผู้ใช้งานท่านอาจจะยังไม่เข้าใจ เราจึงได้ทำการเขียนการใช้พื้นฐานโปรแกรมขึ้นด้านไว้แล้วในบทที่ 4 แต่ถ้าผู้สนใจการใช้งาน อาจจะซื้อคู่มือหนังสือการใช้โปรแกรมที่ครอบคลุมมาใช้งานเพื่อต่อยอดพัฒนาอุปกรณ์ต่างๆต่อไป

5.3.2 บางครั้งการใช้งานเครื่องวิเคราะห์โครงข่าย (network analyzer) ก็อาจจะเกิดปัญหา อยู่บ้าง เพราะการ calibrate ค่าต่างๆในการวัดพารามิเตอร์ที่ต้องการทดสอบต้องทำอย่างรอบครอบ และละเอียดของเห็นปัญหาที่เกิดขึ้นแต่ถ้าไม่แน่ใจอาจจะตามอาจารย์หรือรุ่นพี่ที่ชำนาญการใช้ เครื่องมาช่วยสอนวิธีการใช้งานเครื่องอย่างละเอียดและถูกต้องให้จึงจะทำให้เกิดการวัดที่มี ประสิทธิภาพมากที่สุด

5.4 แนวทางในการพัฒนาต่อไป

เนื่องจาก โครงงานออกแบบและสร้างวงจรสลับสาย (switch line) ที่ต่อเข้ากับวงจร ไอบริก็คัปเปลอร์ 90 องศา อาจจะยังพัฒนาต่อไปได้อีก โดยนำไปใช้กับระบบการสื่อสารในยุค ต่อไปเรื่อยๆ และอาจจะพัฒนาให้มีขนาดเล็กลงกว่าเดิมและมีขนาดกะทัดรัดมากกว่านี้เพื่อนำไปใช้ ให้เกิดการใช้งานที่มีประสิทธิภาพสูงสุด

5.5 บทสรุปของโครงงาน

โครงงานออกแบบและสร้างวงจรสลับสาย (switch line) ที่ต่อเข้ากับวงจร ไอบริก็คัป เปลอร์ 90 องศา มีส่วนประกอบหลักคือ ไดโอดที่ใช้ในการสลับสายซึ่งผลจากการสลับสายนี้จะทำ ให้สามารถเลือกสายนำสัญญาณที่มีความยาวตามที่ต้องการได้ ซึ่งจากเดิมวงจร ไอบริก็คัปเปลอร์ สามารถเลือกมุมในการทำงานได้แค่ 2 มุม ดังนั้นเพื่อความสะดวกในการทำงานและการเดือกนูน ได้มากขึ้น จึงทำการศึกษาพบว่า ไดโอดมีคุณสมบัติในการสวิตช์ปรับเปลี่ยนมุมเฟสได้ โดยนำ ไดโอดความถี่สูงมาต่อเข้ากับวงจร ไอบริก็คัปเปลอร์ จากเดิมที่วงจร ไอบริก็คัปเปลอร์เลือกมุมได้ 2 มุม เมื่อต่อไดโอดเข้ากับวงจร ไอบริก็คัปเปลอร์แล้ว วงจร ไอบริก็คัปเปลอร์ก็สามารถเลือกมุม ในการทำงานได้มากขึ้นตามการออกแบบ โดยทำการออกแบบด้วยโปรแกรม CST MICROWAVE STUDIO ในตอนแรกแล้วนำการออกแบบดังกล่าวมาสร้างตัวอุปกรณ์จริง โดยเน้นหลักการทำให้ อุปกรณ์จริงมีประสิทธิภาพในการทำงานในย่านความถี่ที่ต้องการคือ 2.4 GHz

เอกสารอ้างอิง

- [1] วิทยานิพนธ์การศึกษาฐานรูปแบบของสายอากาศแบบช่องเบิร์คุรับอัคเมอร์สำหรับการใช้งานในเครื่อข่ายไร้สาย ของนางเดือนใจ อารียวัฒนิช
- [2] sutir.sut.ac.th:8080/sutir/bitstream/.../1/usa_kongmuang_fulltext.pdf
- [3] kruweerajit1.blogspot.com/p/jhkhkl.html - แคช
- [4] โครงการศึกษาลักษณะการตัดมุมของแอบน์ไมโครสตริบ皮ทีมีมุมหักงอ 90 องศา เพื่อเพิ่มประสิทธิภาพของอุปกรณ์ในโครเวฟ (Characterization studyof a 90° Microstrip Bend for enhancement of microwavedevice)
- [5] วิทยานิพนธ์วงจรสมดุลยูเอช โดยใช้ไดโอดแบบสมดุลเดี่ยวสำหรับเพิ่มและลดความถี่ย่านໄອ เอสเอ็ม ความถี่ 2.4 กิกะเฮิรต ของนายจักรพันธ์ ใจเย็น วิศวกรรมไฟฟ้า สถาบันเทคโนโลยีพระจอมเกล้าพระนครเหนือ
- [6] www.thaitelecomkm.org/TTE/topic/attach/...of.../index.php
www.getdd.net/programming/55-functionvalue.html - แคช
- [7] web.ku.ac.th/schoolnet/snet7/diode.htm
- [8] http://www.cpe.ku.ac.th/~yuen/204471/device/diode_transistor/diode.htm
- [9] <http://www.geocities.ws/dononline2000/do.html>
- [10] <http://www.tce2day.com/phpbb/viewtopic.php?t=529>

ประวัติผู้เขียน

นางสาวศรีพร จุ้ยหมื่น ໄวย เกิดวันที่ 13 พฤษภาคม พ.ศ. 2533 ภูมิลำเนาเดิมอยู่บ้านเลขที่ 1 ถนนเทศบาล 11 ตำบล อำเภอเมือง จังหวัดนราธิวาส จบทศึกษาระดับชั้นมัธยมศึกษาตอนต้นและตอนปลายจากโรงเรียนสุวนาราชวิทยา ปีการศึกษา 2550 ปัจจุบันกำลังศึกษาอยู่ชั้นปีที่ 4 สาขาวิชา วิศวกรรมโทรคมนาคม มหาวิทยาลัยเทคโนโลยีสุรนารี จังหวัดนราธิวาส

นางสาวจิตติมา ดีสวน เกิดวันที่ 22 ธันวาคม พ.ศ. 2532 ภูมิลำเนาเดิมอยู่บ้านเลขที่ 15/1 ตำบลหนองไผ่ อำเภอเมือง จังหวัดอุดรธานี จบทศึกษาระดับชั้นมัธยมศึกษาตอนต้นและตอนปลายจากโรงเรียนอุดรพัฒนาการ ปีการศึกษา 2550 ปัจจุบันกำลังศึกษาอยู่ชั้นปีที่ 4 สาขาวิชา วิศวกรรมโทรคมนาคม มหาวิทยาลัยเทคโนโลยีสุรนารี จังหวัดนราธิวาส

นางสาวกรรณิกา ขามโนนวัด เกิดวันที่ 1 มกราคม พ.ศ. 2533 ภูมิลำเนาเดิมอยู่บ้านเลขที่ 82 ตำบลโนนเตึง อำเภอคง จังหวัดนราธิวาส จบทศึกษาระดับชั้นมัธยมศึกษาตอนต้นและตอนปลายจากโรงเรียนเมืองคง ปีการศึกษา 2550 ปัจจุบันกำลังศึกษาอยู่ชั้นปีที่ 4 สาขาวิชา วิศวกรรมโทรคมนาคม มหาวิทยาลัยเทคโนโลยีสุรนารี จังหวัดนราธิวาส

